

สำนักหอสมุดกลาง พระจอมเกล้าลาดกระบัง

รถบังคับด้วยรีโมทอินฟราเรด

CAR CONTROL WITH REMOTE INFRARED



เลขหมู่.....

เลขทะเบียน...50248

วัน,เดือน,ปี.28 เม.ย. 2547

b.....
i.....

ปฏิญานี้เป็นส่วนหนึ่งของการศึกษาตามหลักสูตรปริญญาวิศวกรรมศาสตรบัณฑิต

สาขาวิชาวิศวกรรมการวัดคุม

ภาควิชาวิศวกรรมการวัดคุม คณะวิศวกรรมศาสตร์

สถาบันเทคโนโลยีพระจอมเกล้าเจ้าคุณทหารลาดกระบัง

เอกสารนี้เป็นเอกสารที่สงวนไว้สำหรับการใช้...ปีการศึกษา 2545...ไม่อนุญาตให้นำไปใช้ประโยชน์ด้านการค้า...ไม่ว่ากรณีใดๆ ทั้งสิ้น อีกทั้งห้ามมิให้ดัดแปลงเนื้อหาและต้องอ้างอิงถึงเจ้าของเอกสารทุกครั้งที่มีการนำไปใช้

17594

CAR CONTROL WITH REMOTE INFRARED



A THESIS SUBMITTED IN PARTIAL FULFILLMENT
OF THE REQUIREMENT FOR THE DEGREE OF
BACHELOR OF ENGINEERING IN INSTRUMENTATION ENGINEERING
DEPARTMENT OF INSTRUMENTATION ENGINEERING
FACULTY OF ENGINEERING
KING MONGKUT'S INSTITUTE OF TECHNOLOGY LADKRABANG

เอกสารนี้เป็นเอกสารที่สงวนไว้สำหรับการใช้งานเพื่อการศึกษาเท่านั้น ไม่อนุญาตให้นำไปใช้ประโยชน์ด้านการค้า
ไม่ว่ากรณีใดๆ ทั้งสิ้น อีกทั้งห้ามมิให้ดัดแปลงเนื้อหาและต้องอ้างอิงถึงเจ้าของเอกสารทุกครั้งที่มีการนำไปใช้

ภาควิชาวิศวกรรมการวัดคุม
คณะวิศวกรรมศาสตร์
สถาบันเทคโนโลยีพระจอมเกล้าเจ้าคุณทหารลาดกระบัง
ใบรับรองปริญญาโท

หัวข้อปริญญาโท รถบังคับด้วยรีโมทอินฟราเรด
CAR CONTROL WITH REMOTE INFRARED
นักศึกษาผู้จัดทำ นายฉัตร โกรธกล้า รหัสประจำตัว 43015558
นายอุทหนา ชุมวงศ์ รหัสประจำตัว 43015580
ปริญญา วิศวกรรมศาสตรบัณฑิต
สาขา วิศวกรรมการวัดคุม
ปีการศึกษา 2545

| อาจารย์ผู้ควบคุมปริญญาโท | ลายมือชื่อ |
|--------------------------|---|
| ผศ.ทรงชัย วีระทวิมาศ |  |

วัน/เดือน/ปีที่สอบ วันอังคารที่ 25 มีนาคม พศ.2546
สถานที่สอบ ณ ห้องสอบปริญญาโท ภาควิชาวิศวกรรมการวัดคุม

ภาควิชารับรองแล้ว



(ผศ. ประสิทธิ์ จุลเสรีวงศ์)

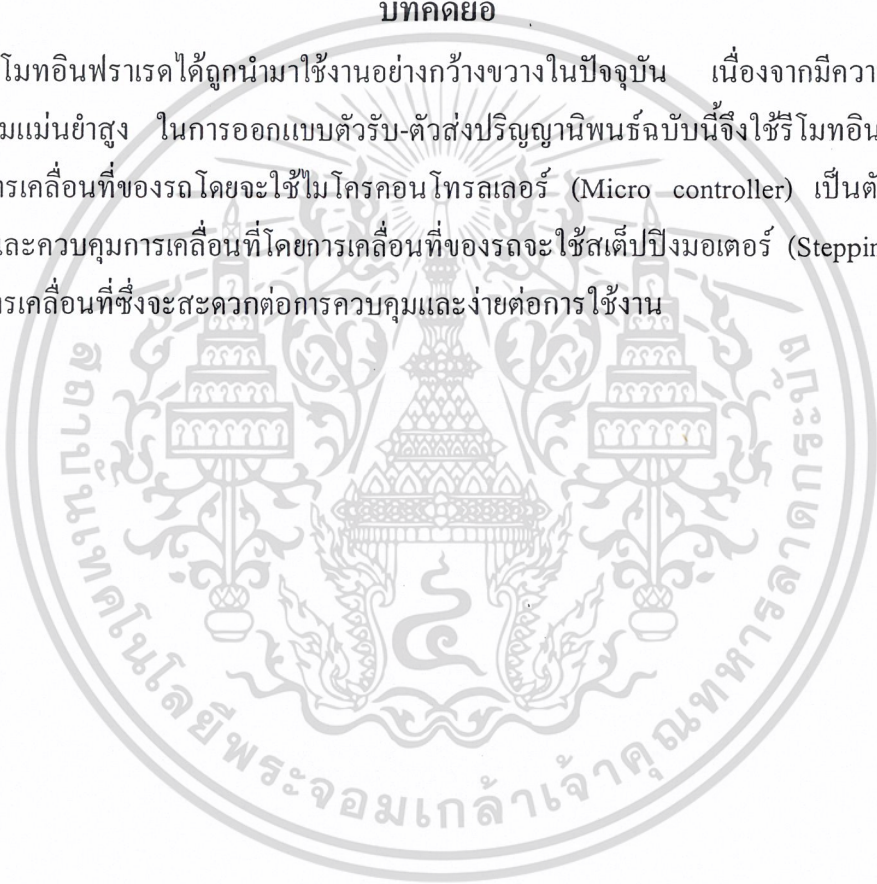
หัวหน้าภาควิชาวิศวกรรมการวัดคุม

เอกสารนี้เป็นเอกสารที่สงวนไว้สำหรับการใช้งานเพื่อการศึกษาเท่านั้น ไม่อนุญาตให้นำไปใช้ประโยชน์ด้านการค้า
ไม่ว่ากรณีใดๆ ทั้งสิ้น อีกทั้งห้ามมิให้ดัดแปลงเนื้อหาและต้องอ้างอิงถึงเจ้าของเอกสารทุกครั้งที่มีการนำไปใช้

| | |
|--------------------|--|
| หัวข้อปริญญานิพนธ์ | รถบังคับด้วยรีโมทอินฟราเรด CAR CONTROL WITH REMOTE INFRARED |
| นักศึกษาผู้จัดทำ | นายฉัตร โกรธกล้า นายยุทธนา ชุมวงศ์ |
| อาจารย์ที่ปรึกษา | ผศ.ทรงชัย วีระทวิมาศ |
| ปีการศึกษา | 2545 |

บทคัดย่อ

รีโมทอินฟราเรดได้ถูกนำมาใช้งานอย่างกว้างขวางในปัจจุบัน เนื่องจากมีความเที่ยงตรง และมีความแม่นยำสูง ในการออกแบบตัวรับ-ตัวส่งปริญญานิพนธ์ฉบับนี้จึงใช้รีโมทอินฟราเรดมาควบคุมการเคลื่อนที่ของรถโดยจะใช้ไมโครคอนโทรลเลอร์ (Micro controller) เป็นตัวถอดรหัสสัญญาณและควบคุมการเคลื่อนที่โดยการเคลื่อนที่ของรถจะใช้สเต็ปมอเตอร์ (Stepping Moter) 2 ตัวในการเคลื่อนที่ซึ่งจะสะดวกต่อการควบคุมและง่ายต่อการใช้งาน

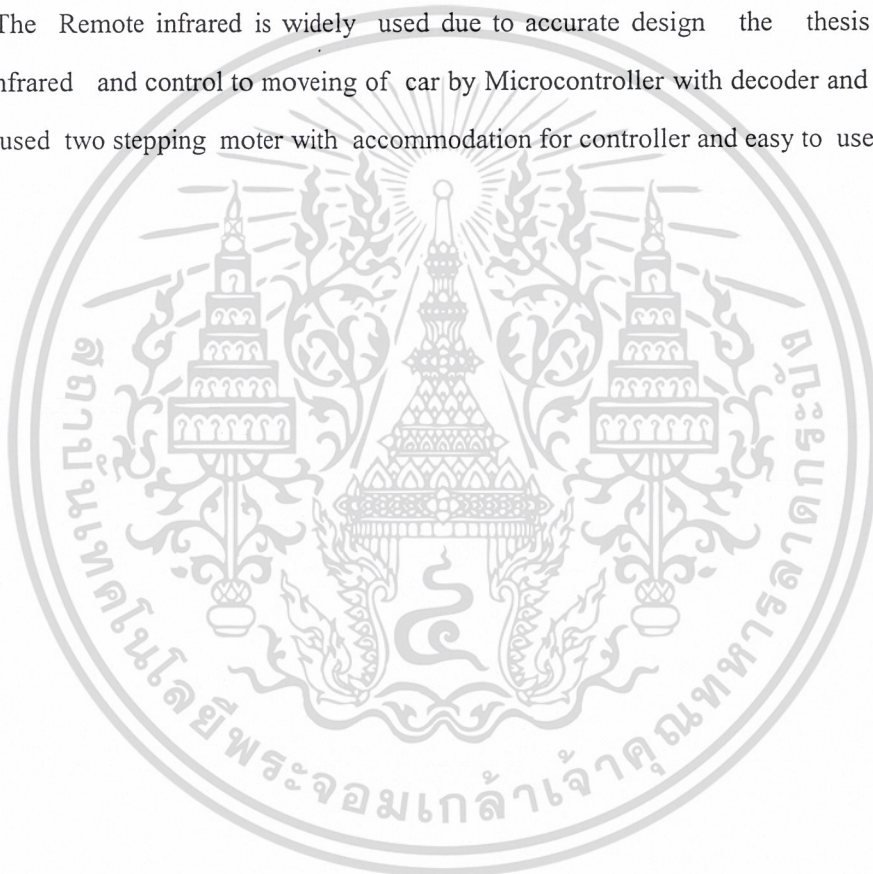


เอกสารนี้เป็นเอกสารที่สงวนไว้สำหรับการใช้งานเพื่อการศึกษาเท่านั้น ไม่อนุญาตให้นำไปใช้ประโยชน์ด้านการค้า
ไม่ว่ากรณีใดๆ ทั้งสิ้น อีกทั้งห้ามมิให้ดัดแปลงเนื้อหาและต้องอ้างอิงถึงเจ้าของเอกสารทุกครั้งที่มีการนำไปใช้

Thesis Title Car Control with Remote Infrared
Authors Mr. Chut Krotkra
Mr. Yuttana Chomwong
Thesis Advisor Asst.Prof.Trongchai Weerataweemas
Year 2002

ABSTRACT

The Remote infrared is widely used due to accurate design the thesis will used remote infrared and control to moving of car by Microcontroller with decoder and control the moving used two stepping moter with accommodation for controller and easy to used



เอกสารนี้เป็นเอกสารที่สงวนไว้สำหรับการใช้งานเพื่อการศึกษาเท่านั้น ไม่อนุญาตให้นำไปใช้ประโยชน์ด้านการค้า
ไม่ว่ากรณีใดๆ ทั้งสิ้น อีกทั้งห้ามมิให้ดัดแปลงเนื้อหาและต้องอ้างอิงถึงเจ้าของเอกสารทุกครั้งที่มีการนำไปใช้

กิตติกรรมประกาศ

ปริญญาบัตรฉบับนี้สำเร็จลุล่วงได้ด้วยดีเพราะได้รับความเมตตาจาก ผู้ช่วยศาสตราจารย์
ทรงชัย วีระทิวมาศ ที่ได้ให้คำแนะนำแก่ผู้วิจัยตลอดมา อีกทั้งยังเอื้อเฟื้ออุปการณ และเครื่องมือ
ต่างๆ ในการทำปริญญาบัตรนี้ ผู้วิจัยรู้สึกซาบซึ้งและขอกราบขอบพระคุณเป็นอย่างสูง

ขอขอบพระคุณ อาจารย์ภาควิชาวิศวกรรมการวัดคุมทุกท่าน ที่ได้ให้คำแนะนำอันเป็น
ประโยชน์ต่อการทำปริญญาบัตรฉบับนี้

และที่ลืมิเสียมิได้ขอกราบขอบพระคุณ คุณพ่อและคุณแม่อันเป็นที่รักยิ่งที่ให้การสนับสนุน
และเป็นแรงบันดาลใจในการทำปริญญาบัตรครั้งนี้

คุณค่าและประโยชน์อันพึงมีจากปริญญาบัตรฉบับนี้ ผู้วิจัยขอมอบแด่ผู้มีพระคุณทุกท่าน



คณะผู้จัดทำ

เอกสารนี้เป็นเอกสารที่สงวนไว้สำหรับการใช้งานเพื่อการศึกษาเท่านั้น ไม่อนุญาตให้นำไปใช้ประโยชน์ด้านการค้า
ไม่ว่ากรณีใดๆ ทั้งสิ้น อีกทั้งห้ามมิให้ดัดแปลงเนื้อหาและต้องอ้างอิงถึงเจ้าของเอกสารทุกครั้งที่มีการนำไปใช้

สารบัญ

| | หน้า |
|--|----------|
| บทคัดย่อภาษาอังกฤษ..... | I |
| กิตติกรรมประกาศ..... | II |
| สารบัญ..... | IV |
| สารบัญตาราง..... | VII |
| สารบัญภาพ..... | VIII |
| บทที่ 1 บทนำ..... | 1 |
| 1.1 ความเป็นไปและเหตุจูงใจของการวิจัย..... | 1 |
| 1.2 วัตถุประสงค์ของปริญญานิพนธ์..... | 1 |
| 1.3 ขอบเขตของปริญญานิพนธ์..... | 1 |
| 1.4 ขั้นตอนการศึกษา..... | 1 |
| บทที่ 2 หลักการและทฤษฎีที่ใช้ในการออกแบบ..... | 2 |
| 2.1 กล่าวนำ..... | 2 |
| 2.2 ประเภทการควบคุมรีโมทคอนโทรล..... | 2 |
| 2.2.1 ระบบไร้สาย..... | 2 |
| 2.2.2 ระบบไร้สาย..... | 3 |
| 2.3 หลักการของระบบอินฟราเรด..... | 4 |
| 2.3.1 เครื่องส่งอินฟราเรด..... | 4 |
| 2.3.2 เครื่องรับแสงอินฟราเรด..... | 5 |
| 2.4 การสร้างสัญญาณควบคุม..... | 6 |
| 2.4.1 การกำหนดช่องสัญญาณ..... | 6 |
| 2.4.2 การส่งรหัสควบคุมแบบพีพีเอ็ม..... | 7 |
| 2.5 การส่งรหัสควบคุมพีพีเอ็ม..... | 7 |
| 2.5.1 พีพีเอ็ม..... | 7 |
| 2.5.2 ภาคส่งสัญญาณ..... | 8 |

เอกสารนี้เป็นเอกสารที่สงวนไว้สำหรับการใช้งานเพื่อการศึกษาเท่านั้น ไม่อนุญาตให้นำไปใช้ประโยชน์ด้านการค้า
ไม่ว่ากรณีใดๆ ทั้งสิ้น อีกทั้งห้ามมิให้ดัดแปลงเนื้อหาและต้องอ้างอิงถึงเจ้าของเอกสารทุกครั้งที่มีการนำไปใช้

สารบัญ(ต่อ)

| | หน้า |
|--|-----------|
| 2.5.3 LEDอินฟราเรด..... | 10 |
| 2.6 ภาครับสัญญาณ..... | 11 |
| 2.6.1 วงจรดีมอดูเลต..... | 12 |
| 2.6.2 วงจรถอดรหัส..... | 13 |
| 2.7 สเต็ปป์ิงมอเตอร์..... | 14 |
| 2.7.1 หลักการทำงานของสเต็ปป์ิงมอเตอร์..... | 14 |
| 2.7.2 คุณลักษณะทางสถิติ..... | 16 |
| 2.7.3 คุณลักษณะทางพลวัต..... | 17 |
| 2.8 ประเภทของสเต็ปป์ิงมอเตอร์..... | 18 |
| 2.8.1 สเต็ปป์ิงมอเตอร์แบบแม่เหล็กถาวร..... | 18 |
| 2.8.2 สเต็ปป์ิงมอเตอร์แบบแปรค่าความต้านทานของสนามแม่เหล็กได้..... | 18 |
| 2.8.3 สเต็ปป์ิงมอเตอร์แบบไฮบริดจ์..... | 19 |
| 2.8.4 การกระตุ้นและควบคุมการหมุนของสเต็ปป์ิงมอเตอร์..... | 20 |
| บทที่ 3 การออกแบบและการสร้างรบบบังคับอินฟราเรด ด้วยไมโครคอนโทรลเลอร์..... | 22 |
| 3.1 กล่าวนำ..... | 22 |
| 3.2 การออกแบบทางด้าน ฮาร์ดแวร์ของไมโครคอนโทรลเลอร์..... | 22 |
| 3.2.1 ขั้นตอนในการออกแบบการถอดรหัส..... | 22 |
| 3.2.2 ขั้นตอนในการออกแบบการปฏิบัติงาน..... | 27 |
| 3.3 การประยุกต์ใช้ไมโครคอนโทรลเลอร์กับรีโมท..... | 28 |
| บทที่ 4 การออกแบบและการสร้างรบบบังคับอินฟราเรด | 45 |
| 4.1 กล่าวนำ..... | 45 |
| 4.2 การออกแบบทางด้านระบบการขับเคลื่อนของตัวรถ..... | 45 |
| บทที่ 5 ผลการทดลอง..... | 46 |
| 5.1 กล่าวนำ..... | 46 |
| 5.2 รูปการถอดรหัสสัญญาณรีโมท..... | 46 |

เอกสารนี้เป็นเอกสารที่เตรียมไว้สำหรับการใช้งานเพื่อการศึกษเท่านั้น ไม่อนุญาตให้นำไปใช้ประโยชน์ด้านการค้า
ไม่ว่ากรณีใดๆ

สารบัญ(ต่อ)

| | หน้า |
|---|-----------|
| 5.3 รูปแสดงชิ้นงานของตัวรถ..... | 47 |
| 5.4 สรุปผลการทดลอง..... | 49 |
| บทที่ 6 สรุปผลการวิจัยและข้อเสนอแนะ..... | 50 |
| 6.1 บทสรุป..... | 50 |
| 6.2 ข้อเสนอแนะและแก้ไข..... | 50 |
| 6.3 แนวทางพัฒนา..... | 50 |
| บรรณานุกรม..... | 51 |
| ภาคผนวก..... | 52 |



เอกสารนี้เป็นเอกสารที่สงวนไว้สำหรับการใช้งานเพื่อการศึกษาเท่านั้น ไม่อนุญาตให้นำไปใช้ประโยชน์ด้านการค้า
ไม่ว่ากรณีใดๆ ทั้งสิ้น อีกทั้งห้ามมิให้ดัดแปลงเนื้อหาและต้องอ้างอิงถึงเจ้าของเอกสารทุกครั้งที่มีการนำไปใช้

สารบัญตาราง

| ตารางที่ | หน้า |
|---|------|
| 2.1 ตารางเปรียบเทียบระบบควบคุม ไร้สายโดยการควบคุมด้วยแสง กับใช้คลื่นวิทยุควบคุม..... | 3 |
| 2.2 ตัวอย่างการกำหนดรหัสช่องสัญญาณและฟังก์ชันการทำงาน..... | 7 |
| 2.3 แสดงลำดับการทำงานของขดลวดในแต่ละเฟสของมอเตอร์ เมื่อได้รับการกระตุ้นแบบ ฟูลสเต็ปหนึ่งเฟส..... | 20 |
| 2.4 แสดงลำดับการทำงานของขดลวดในแต่ละเฟสของมอเตอร์ เมื่อได้รับการกระตุ้นแบบ ฟูลสเต็ปสองเฟส..... | 21 |
| 2.5 แสดงลำดับการทำงานของขดลวดในแต่ละเฟสของมอเตอร์ เมื่อได้รับการกระตุ้นแบบ ฮาล์ฟสเต็ป..... | 21 |
| 3.1 แสดงขั้นตอนในการการปฏิบัติงาน..... | 28 |



เอกสารนี้เป็นเอกสารที่สงวนไว้สำหรับการใช้งานเพื่อการศึกษาเท่านั้น ไม่อนุญาตให้นำไปใช้ประโยชน์ด้านการค้า
ไม่ว่ากรณีใดๆ ทั้งสิ้น อีกทั้งห้ามมิให้ดัดแปลงเนื้อหาและต้องอ้างอิงถึงเจ้าของเอกสารทุกครั้งที่มีการนำไปใช้

สารบัญภาพ

| ภาพที่ | หน้า |
|--|------|
| 2.1 แสดงบล็อกไดอะแกรมของระบบควบคุมแบบอินฟราเรดโดยทั่วไป..... | 2 |
| 2.2 แสดงการส่งสัญญาณด้วยวงจรง่ายๆ..... | 4 |
| 2.3 แสดงวงจรส่งพัลส์ของแสงอินฟราเรด..... | 5 |
| 2.4 แสดงวงจรรับแสงอินฟราเรดแบบพื้นฐาน..... | 6 |
| 2.5 แสดงรูปแบบของสัญญาณพีพีเอ็ม..... | 7 |
| 2.6 แสดงวงจรใช้งานของ SL 490..... | 9 |
| 2.7 แสดงตัว IRLED แบบใส แสดงตัว IRLED แบบทึบ..... | 10 |
| 2.8 แสดงบล็อกไดอะแกรมภาครับ..... | 11 |
| 2.9 แสดงส่วนของวงจรภาครับสำหรับรับสัญญาณควบคุม 4 บิต..... | 12 |
| 2.10 แสดงโครงสร้างของ สเต็ปปีงมอเตอร์..... | 14 |
| 2.11 แสดงการหมุนเป็นสเต็ป..... | 14 |
| 2.12 แสดงการหมุนแบบต่อเนื่อง..... | 15 |
| 2.13 กราฟแสดงคุณลักษณะของแรงบิดต่อมุมสเต็ป..... | 16 |
| 2.14 กราฟแสดงคุณลักษณะของแรงบิดต่อกระแส..... | 17 |
| 2.15 แสดงโครงสร้างอย่างง่ายของ สเต็ปปีงมอเตอร์แบบยูนิโพลาร์..... | 19 |
| 3.1 แสดงโมดูลตัวรับรีโมทแบบพลาสติกและแบบตะแกรง..... | 23 |
| 3.2 แสดงชิพตัวรับ และ หัวตัดที่ออกจากชิพ (ล่าง)..... | 23 |
| 3.3 แสดง บล็อกไดอะแกรมของ PCM TSOP 4838..... | 24 |
| 3.4 แสดงบล็อกไดอะแกรมของ รหัสของรีโมท..... | 24 |
| 3.5 แสดงลักษณะของพัลส์ของรีโมทอินฟราเรดทั่วไป..... | 26 |
| 3.6 แสดงการเคลื่อนที่ของรถแบบ Auto..... | 29 |
| 3.7 แสดงวงจรสมบูรณ์ของรถบังคับรีโมทอินฟราเรด..... | 30 |
| 3.8 ไฟล์ชาร์ต และข้อส โค้ดของโปรแกรมใน MCS-5 1..... | 43 |
| 4.1 แสดงระบบการขับเคลื่อนของตัวรถ..... | 44 |
| 5.1 แสดงผลการทดลอง..... | 46 |
| 5.2 แสดงรูปชิ้นงานของตัวรถ..... | 48 |

เอกสารนี้เป็นเอกสารที่สงวนไว้สำหรับการใช้งานเพื่อการศึกษาเท่านั้น ไม่อนุญาตให้นำไปใช้ประโยชน์ด้านการค้า
ไม่ว่ากรณีใดๆ ทั้งสิ้น อีกทั้งห้ามมิให้ดัดแปลงเนื้อหาและต้องอ้างอิงถึงเจ้าของเอกสารทุกครั้งที่มีการนำไปใช้

บทที่ 1

บทนำ

1.1 ความเป็นไปและเหตุจูงใจของการวิจัย

ปัจจุบันนี้การควบคุมของรีโมทคอนโทรล ได้มีบทบาทมากขึ้นทุกวัน เนื่องจากความสะดวกสบายในการใช้งานในชีวิตประจำวัน ทางผู้จัดทำจึงคิดผลิตวงจรการควบคุมด้วยระบบอินฟราเรด เพื่อเป็นแนวทางในการนำไปประยุกต์ใช้งาน ในการควบคุมอย่างอื่นที่จำเป็นในชีวิตประจำวัน

1.2 วัตถุประสงค์ของปริิญญาานิพนธ์

เพื่อศึกษาโครงสร้างสถาปัตยกรรมภายใน ขั้นตอนการทำงาน รวมทั้งการใช้งานกลุ่มคำสั่งต่าง ๆ ของไมโครคอนโทรลเลอร์ MCS-51

1. สามารถใช้โปรแกรมประยุกต์ ต่าง ๆ ในการควบคุมการทำงานของอุปกรณ์อินฟราเรดได้
2. เข้าใจหลักการที่จะสร้างวงจรควบคุมโดยใช้รีโมทอินฟราเรด
3. เป็นแหล่งความรู้เกี่ยวกับไมโครคอนโทรลเลอร์ MCS-51 ที่สามารถศึกษาทำความเข้าใจด้วยตัวเอง เหมาะสำหรับผู้สนใจทั่วไป

1.3 ขอบเขตของปริิญญาานิพนธ์

ทำการสร้างวงจรที่สามารถควบคุมโดยใช้รีโมทอินฟราเรดที่มีขอบเขตการทำงานดังนี้

1. สามารถที่จะเขียน โปรแกรมควบคุมการทำงานของไมโครคอนโทรลเลอร์ MCS-51 ได้
2. สามารถควบคุมรถโดยใช้รีโมทอินฟราเรด
3. สามารถนำระบบอินฟราเรดควบคุมการทำงานของอุปกรณ์ต่างๆได้
4. สามารถนำระบบอินฟราเรดไปประยุกต์ในการใช้งานด้านอื่นๆ

1.4 ขั้นตอนการศึกษา

การทำโครงการวิจัยในปริิญญาานิพนธ์ฉบับนี้มี ขั้นตอนการศึกษาเริ่มจากการศึกษาการทำงาน ของตัวส่งสัญญาณอินฟราเรด (รีโมทคอนโทรล) และตัวรับสัญญาณอินฟราเรดตลอดจนการถอดรหัสอินฟราเรดเพื่อที่จะนำไปใช้ออกแบบเขียนโปรแกรมควบคุมอุปกรณ์ต่างๆ

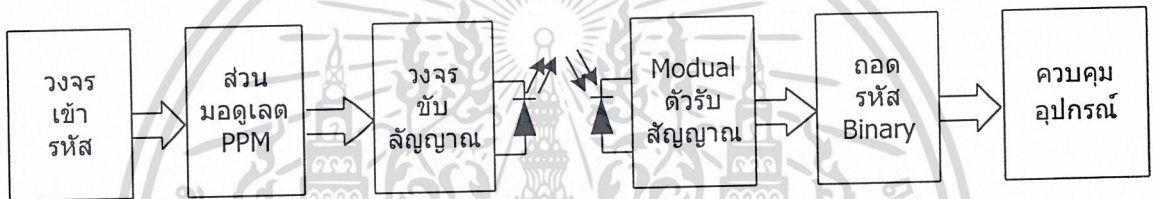
เอกสารนี้เป็นเอกสารที่สงวนไว้สำหรับการใช้งานเพื่อการศึกษาเท่านั้น ไม่อนุญาตให้นำไปใช้ประโยชน์ด้านการค้า
ไม่ว่ากรณีใดๆ ทั้งสิ้น อีกทั้งห้ามมิให้ดัดแปลงเนื้อหาและต้องอ้างอิงถึงเจ้าของเอกสารทุกครั้งที่มีการนำไปใช้

บทที่ 2

หลักการและทฤษฎีที่ใช้ในการออกแบบ

2.1 กล่าวนำ

โดยทั่วไปเป้าหมายของการรับส่งสัญญาณแบบไร้สาย คือ ต้องการลดปัญหาการรบกวนจากคลื่นสัญญาณภายนอก การใช้แสงอินฟราเรดเป็นสัญญาณควบคุมรีโมทคอนโทรล สามารถตัดปัญหาการรบกวนของแสงภายนอกอย่างอื่น (ที่มองเห็น) ลงไปได้ ยิ่งไปกว่านั้นวงจรใช้งานของระบบอินฟราเรดยังเป็นวงจรที่ง่ายและไม่ซับซ้อนแถมยังมีความเชื่อถือได้สูง ใ้ในการใช้งานอีกด้วย



ภาพที่ 2.1 แสดงบล็อกไดอะแกรมของระบบควบคุมแบบอินฟราเรดโดยทั่วไป

2.2 ประเภทการควบคุมรีโมทคอนโทรล

2.2.1 ระบบใช้สาย

เป็นระบบควบคุมที่ต้องมีอุปกรณ์นำสัญญาณจากตัวส่ง (สถานีส่ง) ไปยังตัวรับ (สถานีรับ) อุปกรณ์การนำสัญญาณนั้นขึ้นอยู่กับชนิดของสัญญาณพาหะ ซึ่งอาจได้แก่สัญญาณไฟฟ้าและสัญญาณแสงเป็นต้น ในกรณีของสัญญาณควบคุมที่เป็นสัญญาณไฟฟ้า อุปกรณ์นำสัญญาณอาจได้แก่ สายไฟ, สายโทรศัพท์, สายโคแอกเซียล ฯลฯ แต่ถ้าในกรณีของสัญญาณควบคุมที่เป็นสัญญาณแสง อุปกรณ์นำสัญญาณจะเป็นเส้นใยแก้วนำแสง หรือ ไฟเบอร์ออปติก ตัวอย่างของรีโมทคอนโทรลแบบใช้สายไฟจะเห็นได้จากเครื่องใช้ไฟฟ้ารุ่นเก่า เช่น เครื่องเล่นวีดีโอแอร์ ที่มีสายไฟเสียบต่อกับรีโมทคอนโทรลออกมาภายนอกเครื่อง ทำให้ไม่มีความสะดวกในการทำงาน ปัจจุบันจึงไม่ค่อยเป็นที่นิยมอีกแล้ว จะมีแต่งานบางประเภทเท่านั้นในส่วนของรีโมทคอนโทรลที่ใช้ไฟเบอร์ออปติก อาจจะไม่ค่อยได้เห็นกันบ่อยนักเนื่องจากไม่ได้ใช้งานควบคุม แต่ใช้ในการส่งสัญญาณในลักษณะการสื่อสารข้อมูลที่ไม่เกี่ยวกับการควบคุมในทางปลายทางแทนสายส่งสัญญาณแบบธรรมดา เพื่อหลีกเลี่ยงปัญหาที่เกิดขึ้นกับระบบสายไฟธรรมดา ในหลายๆ ด้าน

เอกสารนี้เป็นเอกสารสงวนลิขสิทธิ์สำหรับการใช้งานเพื่อการศึกษาเท่านั้น ไม่อนุญาตให้นำไปใช้ประโยชน์ด้านการค้า
ไม่ว่ากรณีใดๆ ทั้งสิ้น อีกทั้งห้ามมิให้ดัดแปลงเนื้อหาและต้องอ้างอิงถึงเจ้าของเอกสารทุกครั้งที่มีการนำไปใช้

2.2.2 ระบบไร้สาย

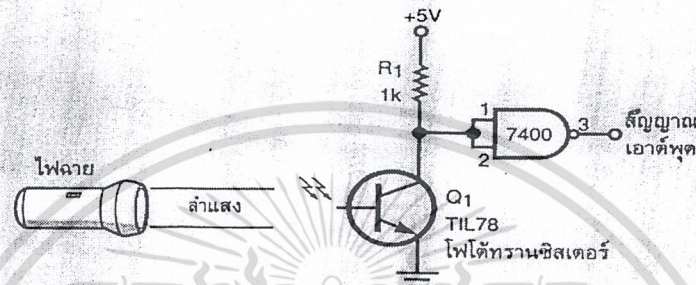
เป็นระบบควบคุมที่ไม่ต้องมีอุปกรณ์ใดๆ เป็นตัวนำสัญญาณ โดยสัญญาณควบคุมจะเดินทางผ่านไปสู่อากาศ ชนิดของสัญญาณควบคุมที่เดินทางผ่านไปสู่อากาศได้ อาจอยู่ในรูปของสัญญาณเสียงสัญญาณแสง และคลื่นวิทยุ การใช้สัญญาณเสียงเป็นตัวส่งสัญญาณควบคุมได้กล่าวไว้แล้วในตอนแรก ในส่วนของการใช้สัญญาณแสงกำลังเป็นที่นิยมกัน ในการนำมาเพื่อใช้ควบคุมเครื่องใช้ไฟฟ้าตามบ้านเรือน สำหรับกรณีของการควบคุมด้วยการใช้คลื่นวิทยุนั้น นิยมใช้กับเครื่องเล่นประเภทวิทยุบังคับ เช่น เครื่องบินเล็ก, เรือเร็ว, รถเด็กเล่น เป็นต้น (แต่ก็มีช่างที่ขาดจรรยาบรรณ ใช้ไปในทางที่ผิดต่อกฎหมาย) ทั้งนี้ก็เพราะรัศมีทำการของระบบวิทยุบังคับ มีรัศมีการควบคุมที่ไกลมากขึ้นอยู่กับกำลังการส่งสัญญาณออกอากาศและใช้ได้แม้ในพื้นที่คับแคบ, อดเคี้ยว วนเวียน แต่รัศมีทำการอาจจะแคบเข้ามาด้วย เพราะคลื่นวิทยุสามารถทะลุผ่านสิ่งกีดขวางได้ สัญญาณควบคุมของระบบวิทยุอาจถูกกำหนดและเข้ารหัสด้วยวิธีเดียวกับระบบรีโมทคอนโทรลทั่วไป เพียงแต่จะถูกนำมามอดูเลต (modulate) กับคลื่นวิทยุที่ภาคส่งก่อน การมอดูเลตสัญญาณใช้หลักการของการมอดูเลตแบบเอเอ็ม เอฟเอ็ม เป็นต้น

ตารางที่ 2.1 ตารางเปรียบเทียบระบบควบคุมไร้สายโดยการควบคุมด้วยแสง กับใช้คลื่นวิทยุควบคุม

| ข้อเปรียบเทียบ | ควบคุมด้วยแสง | ควบคุมด้วยคลื่นวิทยุ |
|--------------------|---|--|
| ● ส่วนของวงจร | วงจรไม่ซับซ้อนออกแบบง่าย | วงจรค่อนข้างซับซ้อน การออกแบบวงจรค่อนข้างพิถีพิถัน |
| ● รัศมีทำการควบคุม | ไกล แต่เหมาะกับห้องที่มีฝ้าผนัง เพราะมีการสะท้อนได้ดี | ไกลตามกำลังส่ง มีอำนาจทะลุทะลวงสิ่งกีดขวาง เหมาะกับการใช้งานกลางแจ้ง |
| ● ปัญหาสัญญาณรบกวน | ไม่มี หรือน้อยมาก | อาจสร้างสัญญาณรบกวนให้กับเครื่องใช้ไฟฟ้าอื่นได้ง่าย และถูกรบกวนได้ง่ายเช่นกัน |
| ● ปัญหาด้านกฎหมาย | ไม่มีกฎหมายควบคุม | ต้องขออนุญาตจากทางการเพื่อขอใช้คลื่นวิทยุ |
| ● ราคา | ราคาถูก-ปานกลาง | ราคาปานกลาง-แพง |
| ● ขนาดรูปร่าง | สามารถปรับปรุงให้มีขนาดเล็กลงได้ | ไม่สามารถลดขนาดให้เล็กได้มากเท่าที่ควรเนื่องจากเหตุผลทางด้านกำลังส่งและอุปกรณ์ประกอบ |

เอกสารนี้เป็นเอกสารที่สงวนไว้สำหรับการใช้งานเพื่อการศึกษาเท่านั้น ไม่อนุญาตให้นำไปใช้ประโยชน์ด้านการค้า
ไม่ว่ากรณีใดๆ ทั้งสิ้น อีกทั้งห้ามมิให้ตัดแปลงเนื้อหาและต้องอ้างอิงถึงเจ้าของเอกสารทุกครั้งที่มีการนำไปใช้

ในระบบของแสงที่มองเห็นได้ ความเข้มแสงที่ใช้รับและส่งถือเป็นสิ่งที่สำคัญ เพราะไม่เช่นนั้นแสงทั่วไปอาจส่งผลกระทบต่อวงจรภาครับได้ง่ายดังนั้นในกรณีของรีโมทคอนโทรลทิศทางของแสงควบคุมอาจต้องทำการกำหนดให้แน่นอน ตัวอย่างของตัวส่งและรับแสงที่เห็นโดยทั่วไป ได้แก่ตัวส่งสัญญาณที่เป็นไฟฉายธรรมดา และส่วนของตัวรับที่เป็นอุปกรณ์รับแสง ที่ทำหน้าที่แปลงสัญญาณแสงให้เป็นสัญญาณไฟฟ้า เช่น โฟโตทรานซิสเตอร์หรือโฟโตไดโอดต่อกันเป็นวงจรอย่างง่าย ดังรูป



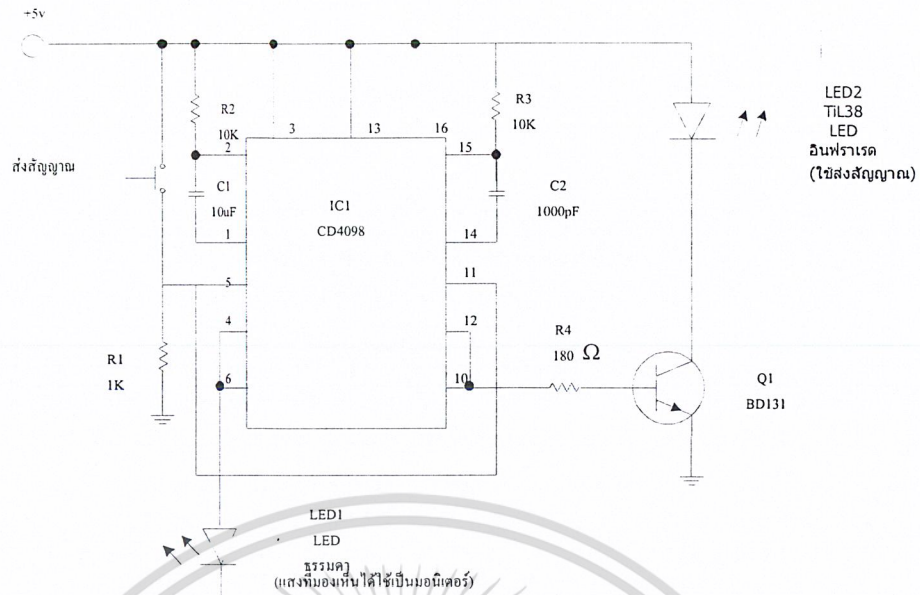
ภาพที่ 2.2 การส่งสัญญาณด้วยวงจรอย่างง่าย

2.3 หลักการของระบบอินฟราเรด

2.3.1 เครื่องส่งอินฟราเรด

การเพิ่มระยะทางการทำงานของแสงอินฟราเรด นอกเหนือจากการเพิ่มจำนวน LED แล้ว อาจทำได้ด้วยวิธีอื่นอีก ถึงแม้ว่าจะใช้ LED เพียงตัวเดียวก็ตาม นั่นคือการเพิ่มกระแสขับ LED ให้สูงขึ้น โดยที่ LED ไม่เสียหาย ซึ่งสามารถกระทำได้โดยจำกัดช่วงเวลาทำงานของ LED ให้สั้นลง ด้วยการใช้สัญญาณพัลส์เป็นตัวขับกระแสให้ LED

เอกสารนี้เป็นเอกสารที่สงวนไว้สำหรับการใช้งานเพื่อการศึกษาเท่านั้น ไม่อนุญาตให้นำไปใช้ประโยชน์ด้านการค้า ไม่ว่ากรณีใดๆ ทั้งสิ้น อีกทั้งห้ามมิให้ดัดแปลงเนื้อหาและต้องอ้างอิงถึงเจ้าของเอกสารทุกครั้งที่มีการนำไปใช้



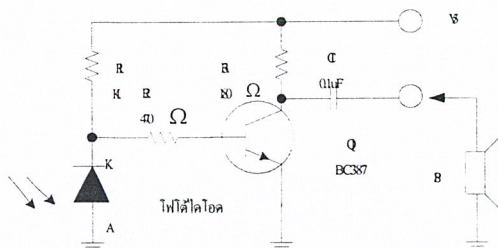
ภาพที่ 2.3 วงจรส่งพัลส์ของแสงอินฟราเรด

วงจรในภาพที่ 2.3 ใช้สำหรับสร้างพัลส์ขนาดเวลา 10 ไมโครวินาทีให้กับ LED โดยมีทรานซิสเตอร์ Q_1 เป็นตัวขับกระแส สัญญาณควบคุมทรานซิสเตอร์มาจากวงจรโมโนสเตเบิล IC1 ที่ใช้ไอซีเบอร์ CD4098 เป็นตัวสร้างสัญญาณการใช้สวิทช์ธรรมดาต่อรวมกันกับวงจรโมโนสเตเบิลในรูปบางครั้งอาจก่อให้เกิดปัญหาในการส่งสัญญาณได้เพราะตัวสวิทช์เองอาจมีปัญหาด้านกลไกในตัวมัน เมื่อมีการกดสวิทช์ ระบบหน้าสัมผัสภายในอาจเกิดการสั่นหรือสัมผัสกันมากกว่าหนึ่งครั้งทำให้สัญญาณที่ได้เสมือน เปิด/ปิด ตีๆกันหลายครั้งส่ง ผลให้สัญญาณเอาต์พุตของวงจรโมโนสเตเบิลมีการผิดพลาดได้ การแก้ไขอาจทำได้โดยการเพิ่มเกตแบบชmittต์ทริกเกอร์เข้าไป เพื่อตัดปัญหาของสวิทช์ดังกล่าว

2.3.2 เครื่องรับแสงอินฟราเรด

ส่วนของวงจรภาครับ การรับแสงสัญญาณแสงอินฟราเรดด้วยวงจรพื้นฐานดังแสดงภาพที่ 2.4 ซึ่งประกอบด้วยส่วนของตัวรับแสง ที่ใช้โฟโตไดโอดทำหน้าที่แปลงสัญญาณแสงเป็นสัญญาณไฟฟ้า ในการติดตั้งโฟโตไดโอดเพื่อรับแสง ควรมีแผ่นกรองแสงหรือฟิลเตอร์ชนิดที่รับแสงอินฟราเรดผ่านได้ (เช่น แผ่นพลาสติกในสีแดงเข้ม) วางไว้ด้านหน้า เพื่อป้องกันการรบกวนของคลื่นแสงตัวอื่นที่อาจกระทบเข้ามา

เอกสารนี้เป็นเอกสารที่สงวนไว้สำหรับการใช้งานเพื่อการศึกษาเท่านั้น ไม่อนุญาตให้นำไปใช้ประโยชน์ด้านการค้า ไม่ว่ากรณีใดๆ ทั้งสิ้น อีกทั้งห้ามมิให้ดัดแปลงเนื้อหาและต้องอ้างอิงถึงเจ้าของเอกสารทุกครั้งที่มีการนำไปใช้



ภาพที่ 2.4 วงจรรับแสงอินฟราเรดแบบพื้นฐาน

กระแสที่ไหลผ่านโฟโอดีโอดและตัวต้านทาน R_1 จะมีค่ามากขึ้นตามความเข้มของแสงที่รับได้ การออกแบบระบบรีโมทคอนโทรล วิธีการสร้างสัญญาณควบคุมการเข้ารหัสและถอดรหัส ซึ่งถือว่าเป็นหัวใจของการตั้งการในรีโมทคอนโทรล

2.4 การสร้างสัญญาณควบคุม

การส่งงานด้วยรีโมทคอนโทรลสัญญาณควบคุมจะถูกสร้างขึ้นมาให้มีลักษณะที่เหมือนกันของทางด้านการส่งและการรับเพื่อความสามารถในการควบคุมได้

โดยทั่วไปการสร้างสัญญาณควบคุมพอจะแบ่งออกได้เป็น 2 ประเภท คือ การควบคุมแบบจัดลำดับก่อนหลังหรือ *แบบอนุกรม* ที่มีรูปแบบวงจรที่ง่ายไม่ซับซ้อน และสามารถใช้กับวงจรส่งที่มีสัญญาณรูปแบบเดียวได้ อีกประเภทหนึ่งเป็นการควบคุมโดยใช้การเข้ารหัส วิธีนี้ทั้งวงจรส่งและวงจรับต้องมีส่วนของการเข้ารหัสและถอดรหัสที่สัมพันธ์กัน

การส่งสัญญาณควบคุมแบบจัดลำดับอนุกรม โดยใช้สัญญาณที่ออกก็ลร่วมกับวงจรับจะมีข้อเสียตรงที่การทำงานของส่วนควบคุมไม่สามารถข้ามขั้นตอนได้ หากเราต้องการควบคุมอุปกรณ์ให้มีฟังก์ชันการทำงานที่เป็นอิสระต่อกัน คือสั่งให้ส่วนไหนทำงานก่อนก็ได้ ต้องใช้วิธีการเข้ารหัสและจัดช่องสัญญาณแทน โดยต้องสามารถเลือกรหัสหรือช่องสัญญาณใด ๆ ได้ตามต้องการ ไม่มีลำดับก่อนหลัง

2.4.1 การกำหนดช่องสัญญาณ

ในการกำหนดรหัสเฉพาะเพื่อใช้ควบคุมช่องสัญญาณ มักใช้รหัสที่เป็นสัญญาณดิจิทัลของเลขไบนารี โดยจำนวนช่องสัญญาณหรือจำนวนฟังก์ชันการทำงานที่สามารถเลือกควบคุมได้ขึ้นอยู่กับจำนวนบิตที่ใช้ กล่าวคือ หากกำหนดให้สัญญาณควบคุมมีขนาด 8 บิตจะสามารถสร้าง

สัญญาณควบคุมได้ถึง 2^8 หรือ 256 ช่อง เลขที่เดียว โดยที่การทำงานของวงจรับในแต่ละช่องสัญญาณ

เอกสารนี้เป็นเอกสารสงวนไว้สำหรับการใช้งานเพื่อการศึกษาเท่านั้น ไม่นอนุญาตให้นำไปใช้ประโยชน์ด้านการค้า
ยังมีหลักการในการทำงานเหมือนกันทุกประการ
ไม่ว่ากรณีใดๆ ทั้งสิ้น อีกทั้งห้ามมีเหตุดัดแปลงเนื้อหาและต้องอ้างอิงถึงเจ้าของเอกสารทุกครั้งที่มีการนำไปใช้

ตารางที่ 2.2 ตัวอย่างการกำหนดรหัสของสัญญาณและฟังก์ชันการทำงาน

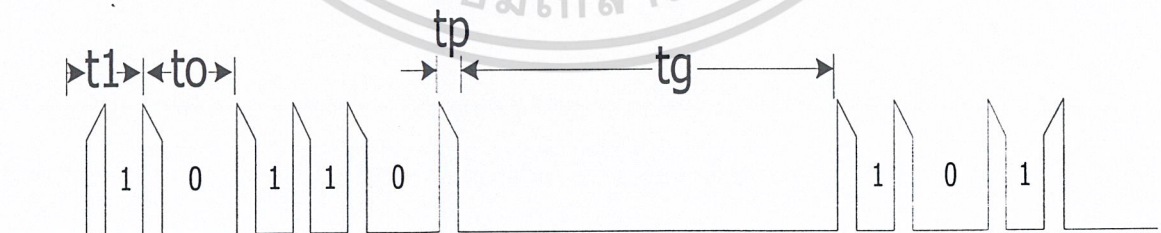
| รหัสการควบคุม | ฟังก์ชันควบคุม |
|---------------|----------------------|
| 0000 | เปิดโทรททัศน์ |
| 0001 | ปิดโทรททัศน์ |
| 0010 | เปลี่ยนช่องโทรททัศน์ |
| 0011 | เปลี่ยนช่องโทรททัศน์ |
| - | - |
| - | - |
| 1111 | เพิ่มความดังเสียง |

2.5 การส่งรหัสควบคุมแบบพีพีเอ็ม (PPM)

นอกจากการส่งสัญญาณควบคุมในรูปแบบทางดิจิทัลที่ได้กล่าวมาแล้ว ยังมีอีกรูปแบบของการส่งรหัสควบคุมแบบดิจิทัลที่ค่อนข้างเป็นที่นิยมกันมาก คือ ระบบพีพีเอ็มหรือพัลส์โพสิชันมอดูเลชัน

2.5.1 พีพีเอ็ม

รูปแบบสัญญาณชนิดพีพีเอ็ม (PPM: Pulse Position Modulation) เกิดจากการมอดูเลตสัญญาณในลักษณะของตำแหน่งพัลส์ กล่าวคือขนาดความกว้างของสัญญาณพัลส์จะมีค่าเท่ากันตลอดและไม่มีความสำคัญในการบ่งบอกชนิดของข้อมูลเลย แต่จะใช้คาบเวลาหรือพีเรียด (period) ของพัลส์แต่ละลูกเป็นตัวกำหนดชนิดของข้อมูล เช่น ข้อมูลที่เป็น “1” แทนด้วยพัลส์ที่มีคาบเวลาคงที่ค่าหนึ่ง ซึ่งแตกต่างจากคาบเวลาของพัลส์ที่แสดงข้อมูลที่เป็น “0” ดังแสดงในรูป



ภาพที่ 2.5 รูปแบบของสัญญาณพีพีเอ็ม

เอกสารนี้เป็นเอกสารที่สงวนไว้สำหรับการใช้งานเพื่อการศึกษาเท่านั้น ไม่อนุญาตให้นำไปใช้ประโยชน์ด้านการค้าไม่ว่ากรณีใดๆ ทั้งสิ้น อีกทั้งห้ามมิให้ดัดแปลงเนื้อหาและต้องอ้างอิงถึงเจ้าของเอกสารทุกครั้งที่มีการนำไปใช้

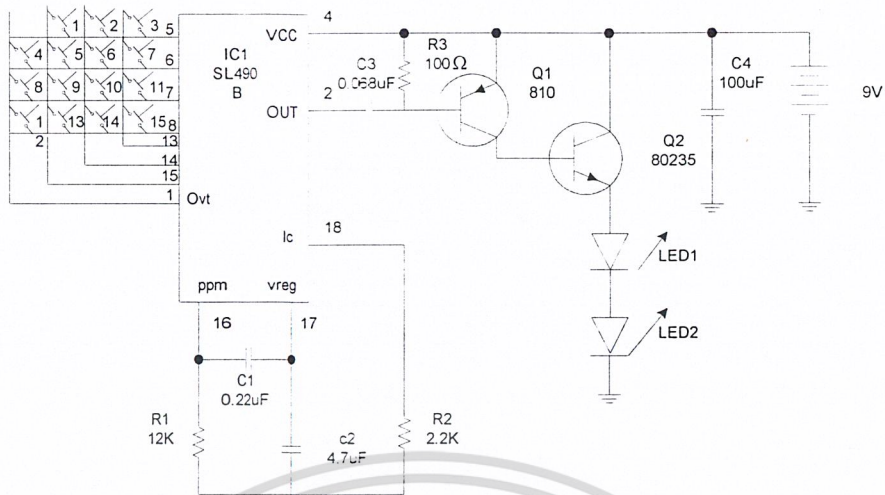
โดยหลักการแล้วการมอดูเลตสัญญาณแบบ พีพีเอ็ม จะใช้การแบ่งช่วงสัญญาณด้วยคาบเวลาที่เท่ากัน แต่จุดเวลาที่แสดงสัญญาณพัลส์ต่างกันเช่น หากสัญญาณเป็นศูนย์สัญญาณพัลส์จะปรากฏ ณ ตำแหน่งกึ่งกลางของคาบเวลาที่กำหนด ถ้าหากสัญญาณแอมพลิจูดเป็นสัญญาณพัลส์ จะปรากฏในตำแหน่งที่ล้าไปทางขวาของจุดกึ่งกลางคาบเวลา โดยมีระยะห่างขึ้นอยู่กับการค่าของแอมพลิจูดในลักษณะเป็นสัดส่วนกัน ในทำนองกลับกัน หากสัญญาณมีแอมพลิจูดเป็นลบสัญญาณพัลส์จะปรากฏอยู่ในครึ่งช่วงแรกคาบเวลา ดังนั้นการมอดูเลตแบบพีพีเอ็มจึงสามารถใช้ได้ทั้งสัญญาณที่เป็นอะนาลอกและดิจิตอล เพียงแต่ในสัญญาณแบบดิจิตอลเราจะเห็นระยะห่างของพัลส์ได้แน่นอนกว่า เพราะมีขนาดสัญญาณเพียงสองระดับ จึงดูเหมือนว่าคาบเวลาของพัลส์เป็นตัวกำหนดชนิดของข้อมูล

2.5.2 ภาคส่งสัญญาณ

ภาคส่งสัญญาณควบคุมที่ใช้แสง ซึ่งประกอบด้วย วงจรเข้ารหัสทำหน้าที่จัดรูปแบบของรหัสควบคุมตามที่กำหนด จากนั้นทำการมอดูเลตให้เป็นสัญญาณพีพีเอ็มก่อนส่งไปยังวงจรขับสัญญาณ เพื่อแปลงให้เป็นแสงสำหรับส่งออกไป

ในทางปฏิบัติเราสามารถใช้อิซีสำเร็จรูปที่ผลิตมาใช้เพื่อรีโมท โดยเฉพาะเพื่อประหยัดต้นทุน เช่น เบอร์ D1621 ของ NEC หรือ RTV1 ของ บริษัทเมอร์คิวรี เป็นต้น ซึ่งทำหน้าที่เข้ารหัสและมอดูเลตแบบพีพีเอ็มไปพร้อมกันได้เลย เช่น ไอซีเบอร์ SL490 ซึ่งจะช่วยให้วงจรมีขนาดเล็กลง และลดความยุ่งยากซับซ้อนของวงจรลงได้ ไอซี SL490 เป็นไอซีที่ถูกรออกแบบสำหรับระบบรีโมทคอนโทรลโดยเฉพาะ โดยกินกระแสไฟเพียง 6 ไมโครแอมป์

ข้อดีของการใช้อิซีตัวนี้ ก็คือสามารถตัดปัญหาสัญญาณรบกวนจากภายนอกที่ไม่เกี่ยวข้องได้เป็นอย่างดี วงจรใช้งานของไอซี SL486 แสดงดังภาพที่ 2.6



ภาพที่ 2.6 วงจรใช้งานของ SL 490

การส่งสัญญาณควบคุมแบบโทนเบิร์ต สามารถทำได้จากวงจรใช้งานในภาพที่ 2.6 โดยการกำหนดค่าของ R_1 และ C_1 จากสมการ

$$f = \frac{1}{C_1 R_1}$$

เมื่อ f เป็นความถี่ในหน่วยของเฮิรตซ์ C_1 และ R_1 มีหน่วยเป็นฟารัดและโอห์มตามลำดับตัวต้านทาน R_1 ควรเลือกค่าระหว่าง 20-80 กิโลโอห์มและค่าความถี่ที่ออกแบบไม่ควรสูงกว่า 200 กิโลเฮิรตซ์ในกรณีที่ต้องการส่งสัญญาณควบคุมใด ๆ ไม่มีคลื่นพาร์ร่วมไปด้วย ให้ถอด C_1 ออก แล้วเลือกใช้ตัวต้านทานขนาด 2.2 กิโลโอห์ม ต่อแทน R_1

คาบเวลาที่ใช้สำหรับส่งข้อมูลที่เป็น “0” หรือ t_0 กำหนดด้วยค่าของ C_2 และ R_2 จากสมการ

$$t_0 = 1.4 C_2 R_2$$

เมื่อ t_0 มีหน่วยเป็นวินาที C_2 และ R_2 มีหน่วยเป็นฟารัดและโอห์มตามลำดับ สำหรับคาบเวลาของข้อมูลที่เป็น “1” จะถูกกำหนดอย่างอัตโนมัติให้มีค่าประมาณ 2 ใน 3 ของเวลา t_0 และในกรณีที่ชุดข้อมูลถูกส่งออกมาติด ๆ กัน (ซึ่งอาจเกิดจากการกดสวิทช์ค้างนานเกินไป) จะมีการสร้างช่วงเวลาซิงโครนัส (S) ขึ้นไว้ระหว่างชุดรหัสข้อมูล โดยคาบเวลาซิงโครนัสนี้จะมีค่าเป็น 2 เท่าของ t_0 โดยปกติค่าของ t_0 ควรออกแบบให้มีค่าอยู่ระหว่าง 0.1 มิลลิวินาที ถึง 1 วินาทีและ ค่าของตัวต้านทาน R_2 ควรอยู่ระหว่าง 15-100 กิโลโอห์ม

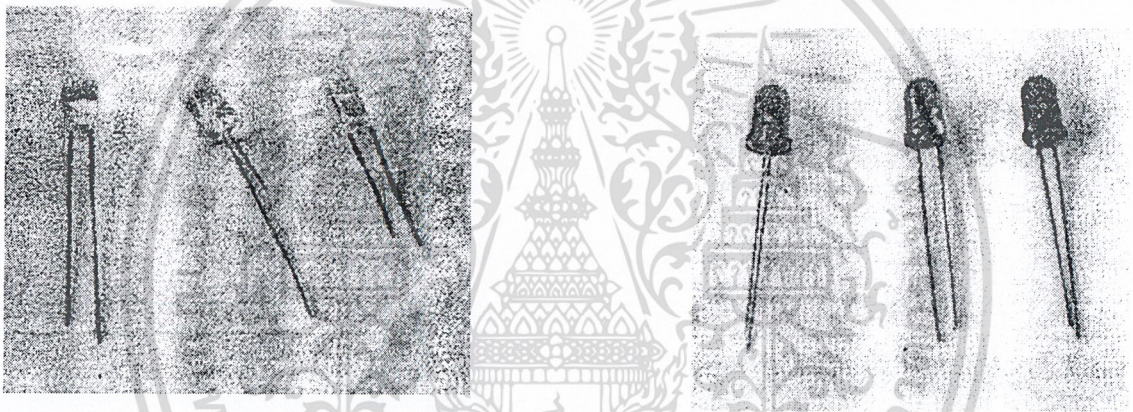
ข้อดีประการหนึ่งของไอซีเบอร์ SL490 ก็คือขณะทำการกดสวิทช์ส่งสัญญาณ ชุดข้อมูลจะ

เอกสารนี้เป็นเอกสารที่สงวนไว้สำหรับการใช้งานเพื่อการศึกษาเท่านั้น ไม่อนุญาตให้นำไปใช้ประโยชน์ด้านการค้า ถูกสร้างขึ้นตามรหัสบาร์ EDCBA แล้วส่งออก หากส่งไปหมดแล้วแต่สวิทช์ยังคงถูกกดค้าง ไม่ว่าจะกรณีใดๆ ทั้งสิ้น อีกทั้งห้ามมิให้ดัดแปลงเนื้อหาและต้องอ้างอิงถึงเจ้าของเอกสารทุกครั้งที่มีการนำไปใช้

อยู่ข้อมูลชุดเดิมจะถูกสร้างขึ้นมาใหม่แล้วส่งออกไปอีกเรื่อย ๆ โดยมีช่วงเวลาซิงโครไนส์ S เป็นตัวแยกชุดข้อมูลไว้ และ หากมีการปล่อยสวิตช์ ข้อมูลในบิตที่เหลือก็ยังคงถูกส่งออกไปจนหมดวงจรจับสัญญาณ

2.5.3 LED อินฟราเรด

LED อินฟราเรดสามารถนำไปประยุกต์ใช้งานอย่างกว้างขวาง ทั้งในโรงงานอุตสาหกรรม และระบบตรวจจับสมัยใหม่นั้นซึ่งเป็นเซนเซอร์ตัวแกงอีกตัวหนึ่งทีเดียว แต่ในการใช้งานจริงจะใช้ภาคส่งสำเร็จรูปเพื่อสะดวกในเรื่องกล่อง และ สวิตช์ที่ทำให้สวยงามยาก การใช้ภาคส่งจากรีโมทสำเร็จรูปจะสะดวกกว่า อย่างไรก็ตามผู้เขียนก็จะมีตัวอย่างการทำงานของวงจรภาคส่งไว้ให้เพื่อใช้ในการศึกษาเรียนรู้



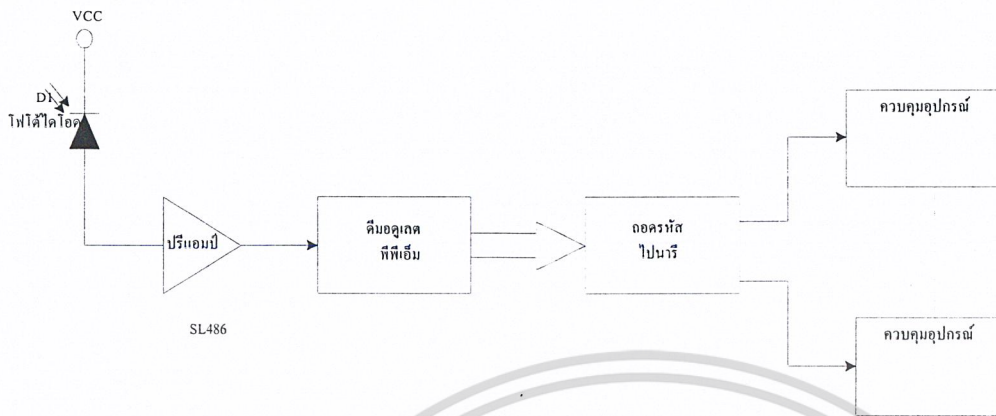
ภาพที่ 2.7

ตัว IRLED แบบปโต

ตัว IRLED แบบทึบ

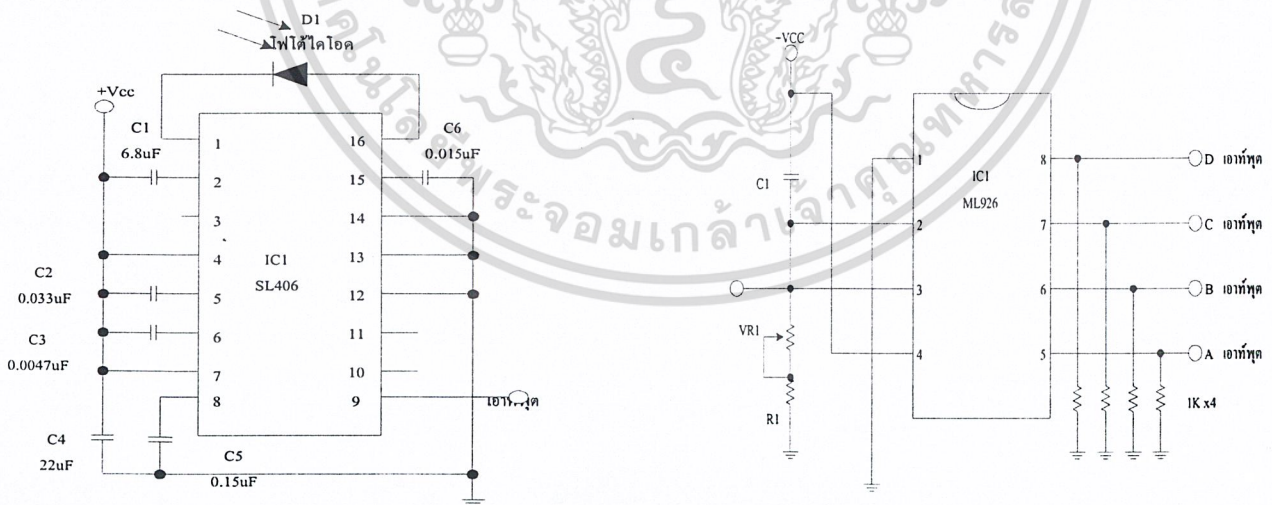
เอกสารนี้เป็นเอกสารที่สงวนไว้สำหรับการใช้งานเพื่อการศึกษาเท่านั้น ไม่อนุญาตให้นำไปใช้ประโยชน์ด้านการค้าไม่ว่ากรณีใดๆ ทั้งสิ้น อีกทั้งห้ามมิให้ดัดแปลงเนื้อหาและต้องอ้างอิงถึงเจ้าของเอกสารทุกครั้งที่มีการนำไปใช้

2.6 ภาครับสัญญาณ



ภาพที่ 2.8 บล็อกไดอะแกรมภาครับ

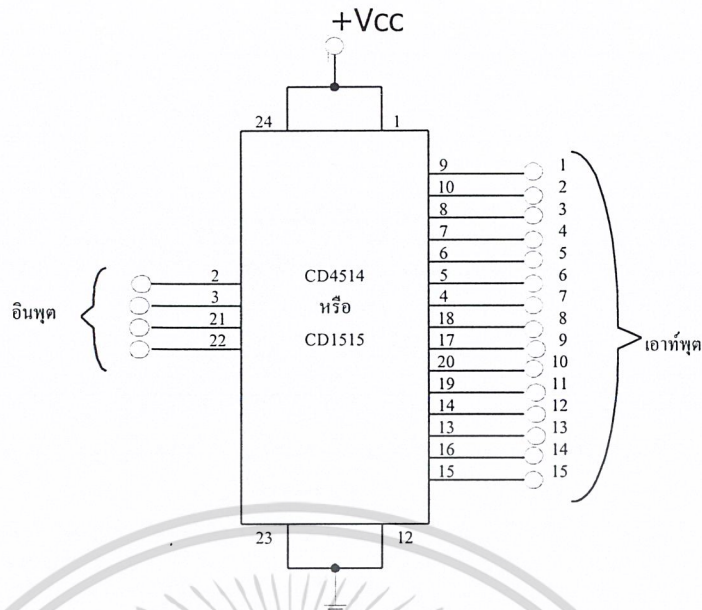
ภาพที่ 2.8 เป็นบล็อกไดอะแกรมของภาครับสัญญาณ เริ่มจากโฟโต้ไดโอด D_1 ทำหน้าที่เปลี่ยนสัญญาณแสงเป็นสัญญาณไฟฟ้า แล้ว ทำการขยายสัญญาณ ด้วยวงจร ปรีแอมป์ก่อน ถูกดีมอดูเลตออกเป็นรหัสทางไปนารี จากนั้นทำการถอรหัสสำหรับควบคุมอุปกรณ์ไฟฟ้าต่าง ๆ ต่อไป



ก

ข

เอกสารนี้เป็นเอกสารที่สงวนไว้สำหรับการใช้งานเพื่อการศึกษาเท่านั้น ไม่อนุญาตให้นำไปใช้ประโยชน์ด้านการค้า
ไม่ว่ากรณีใดๆ ทั้งสิ้น อีกทั้งห้ามมิให้ดัดแปลงเนื้อหาและต้องอ้างอิงถึงเจ้าของเอกสารทุกครั้งที่มีการนำไปใช้



ภาพที่ 2.9 ส่วนของวงจรภาครับสำหรับรับสัญญาณควบคุม 4 บิต

(ก) ส่วนรับสัญญาณแสง (ข) ส่วนดีมอดคูเลต (ค) ส่วนถอดรหัสไบนารี

2.6.1 วงจรดีมอดคูเลต

การดีมอดคูเลตสัญญาณพีซีเอ็มที่ได้จากขาเอาต์พุตของไอซี SL486 สามารถทำได้ด้วยไอซีสำเร็จในตระกูล ML920 เช่น ML920, ML922, ML926 และ ML927 เป็นต้น ในกรณีที่ต้องการใช้ฟังก์ชันควบคุมครบ 32 ช่องสัญญาณ จากวงจรส่งสามารถใช้ไอซีเบอร์ ML922 ได้เพียงตัวเดียว หรือจะใช้ไอซี ML926 ร่วมกับ ML927 ซึ่งไอซีแต่ละตัวจะดีมอดคูเลตสัญญาณออกมาได้ 16 ช่องสัญญาณเท่านั้น โดย ML926 จะทำงานเมื่อบิต E เป็น 0 และ ML927 ทำงานเมื่อบิต E เป็น 1

การทำงานของไอซี ML926 จากวงจรในภาพที่ 2.10 (ข) ถูกกำหนดด้วยสัญญาณนาฬิกาภายในที่มีค่าความถี่ที่หาได้จากสมการต่อไปนี้

$$f = \frac{1}{0.15 C_1 (VR_1 + R_1)}$$

เมื่อค่าของตัวต้านทานและตัวเก็บประจุมีหน่วยเป็น โอห์มและฟารัดตามลำดับ และค่าของความต้านทาน VR_1 รวมกับ R_1 ควรมีค่าอยู่ระหว่าง 2-200 กิโลโอห์ม

ค่าความถี่ f ของวงจรมันนี้ ต้องมีความสัมพันธ์กับความถี่ในวงจรส่ง โดยกำหนดจาก

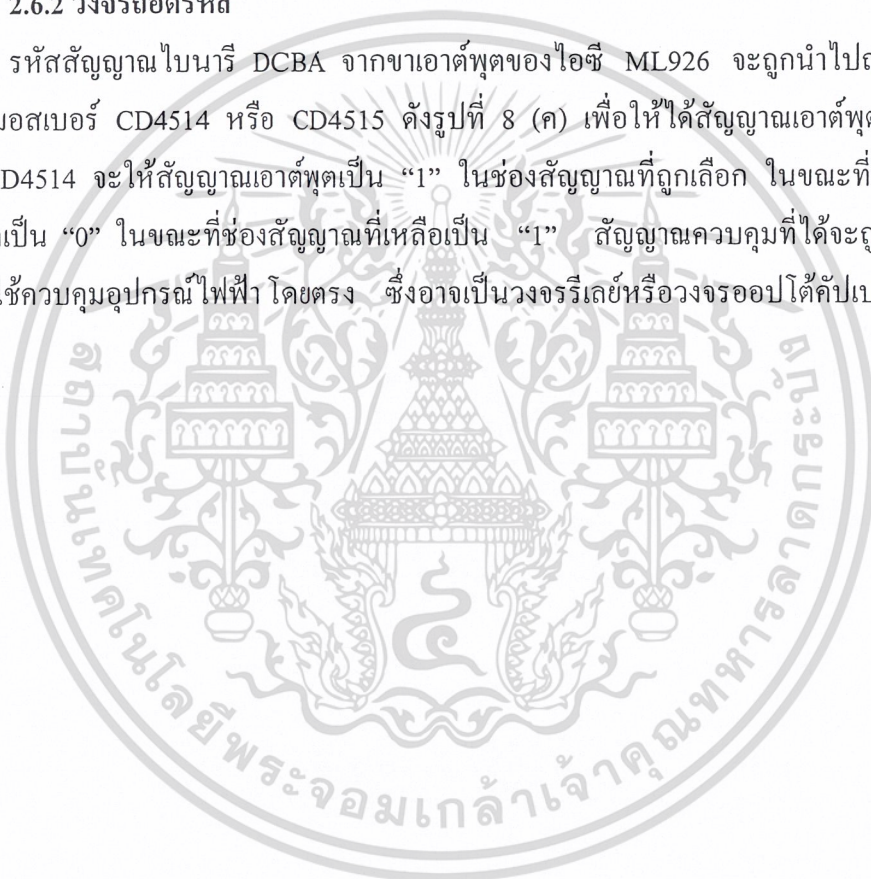
เอกสารนี้เป็นเอกสารที่สงวนไว้สำหรับการใช้งานเพื่อการศึกษาเท่านั้น ไม่อนุญาตให้นำไปใช้ประโยชน์ด้านการค้า ไม่ว่าจะกรณีใดๆ ทั้งสิ้น อีกทั้งห้ามมิให้ดัดแปลงเนื้อหาและต้องอ้างอิงถึงเจ้าของเอกสารทุกครั้งที่มีการนำไปใช้

$$f = \frac{40}{t_0}$$

เมื่อ เป็นคาบเวลาข้อมูลบิตที่เป็น “0” ในสัญญาณพีพีเอ็มจากภาคส่งตั้งได้กล่าวมาแล้ว จากวงจรตัวอย่างที่ออกแบบสำหรับรหัสควบคุม 4 บิต สัญญาณไบนารีที่ถูกคิมอคูเลตแล้วจะถูกส่งออกมาที่ขา 8, 7, 6, 5 เป็นบิต DCBA ตามลำดับ ข้อสังเกตในการออกแบบวงจรภาคส่งเพื่อใช้กับ ML926 ที่ภาครับ ก็คือต้องกำหนดให้บิต E เป็น “0” เท่านั้น ซึ่งเหมาะสมกับการควบคุมที่จำนวนช่องสัญญาณสูงสุดไม่เกิน 16 ช่อง

2.6.2 วงจรถอดรหัส

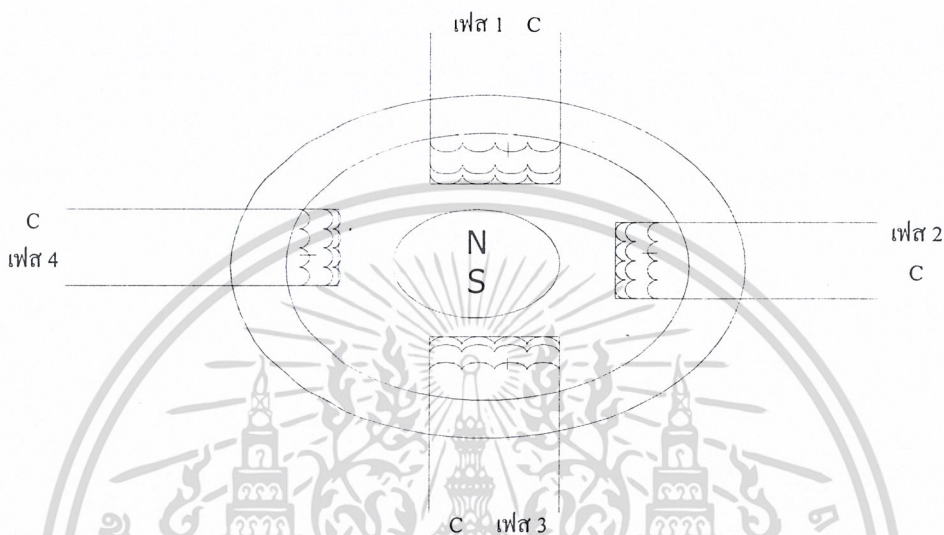
รหัสสัญญาณไบนารี DCBA จากขาเอาต์พุตของไอซี ML926 จะถูกนำไปถอดรหัสด้วย ไอซี ซีมอสเบอร์ CD4514 หรือ CD4515 ดังรูปที่ 8 (ค) เพื่อให้ได้สัญญาณเอาต์พุตออกมา โดย ไอซี CD4514 จะให้สัญญาณเอาต์พุตเป็น “1” ในช่องสัญญาณที่ถูกเลือก ในขณะที่ช่องสัญญาณเอาต์พุตเป็น “0” ในขณะที่ช่องสัญญาณที่เหลือเป็น “1” สัญญาณควบคุมที่ได้จะถูกป้อนไปยังวงจรที่ใช้ควบคุมอุปกรณ์ไฟฟ้าโดยตรง ซึ่งอาจเป็นวงจรรีเลย์หรือวงจรรอบไต่คัปเปอร์ก็ได้



เอกสารนี้เป็นเอกสารที่สงวนไว้สำหรับการใช้งานเพื่อการศึกษาเท่านั้น ไม่อนุญาตให้นำไปใช้ประโยชน์ด้านการค้า ไม่ว่ากรณีใดๆ ทั้งสิ้น อีกทั้งห้ามมิให้ดัดแปลงเนื้อหาและต้องอ้างอิงถึงเจ้าของเอกสารทุกครั้งที่มีการนำไปใช้

2.7 สเต็ปิ่งมอเตอร์

สเต็ปิ่งมอเตอร์เป็นมอเตอร์ไฟฟ้ากระแสสลับที่มีโรเตอร์เป็นแม่เหล็กถาวร และใช้งาน กระตุ้นด้วยแม่เหล็กไฟฟ้าจากขดลวดที่สเตเตอร์ โดยแบ่งขดลวดที่สเตเตอร์ออกเป็นเฟสต่างๆ ตามภาพ



ภาพที่ 2.10 โครงสร้างของ สเต็ปิ่งมอเตอร์

การขับสเต็ปิ่งมอเตอร์ต้องใช้วงจรควบคุมการจ่ายกระแสไฟฟ้าให้กับขดลวดตัวนำใน แต่ละเฟสเพื่อสร้างสนามแม่เหล็กไฟฟ้า ให้สอดคล้องกับการหมุนของโรเตอร์ที่เป็นแม่เหล็กถาวร

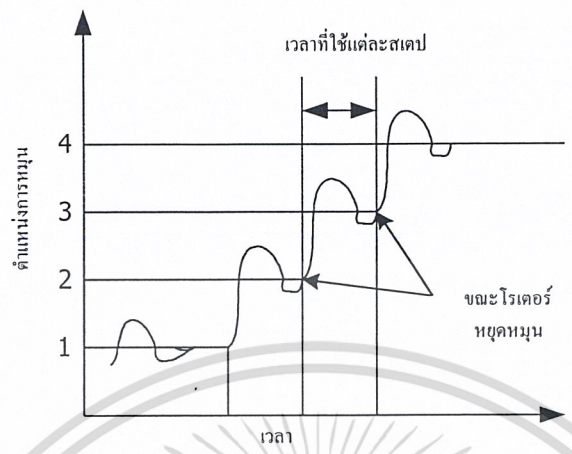
2.7.1 หลักการทำงานของสเต็ปิ่งมอเตอร์

สเต็ปิ่งมอเตอร์เป็นมอเตอร์ไฟฟ้ากระแสสลับชนิดที่เปลี่ยนสัญญาณสลับดิจิทัลเป็นการ เคลื่อนที่ทางกล จึงเหมาะ สำหรับการ เชื่อมต่อ อุปกรณ์ ดิจิตอล หรือ คอมพิวเตอร์ การทำงานของ สเต็ปิ่งมอเตอร์โดยส่วนใหญ่จะขึ้นอยู่กับสัญญาณพัลส์ (Pulse) กระตุ้นที่ป้อนให้กับขดลวดเฟส ของมอเตอร์ในลำดับที่ถูกต้องด้วยวงจรจัดลำดับลอจิกและกระแสที่พอเพียงด้วยวงจรขับ

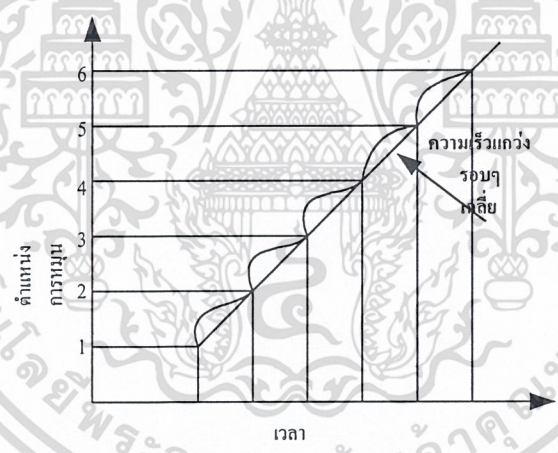
การทำงานของสเต็ปิ่งมอเตอร์ตามอัตราเร็วของแต่ละสเต็ป จะแบ่งออกเป็น 2 โหมด การทำงานคือ

- โหมดของการหมุนเป็นสเต็ป (Discrete Mode)
- โหมดของการหมุนแบบต่อเนื่อง (Slewing Mode)

เอกสารนี้เป็นเอกสารลิขสิทธิ์ของโรงเรียนเพื่อการศึกษาเท่านั้น ไม่อนุญาตให้นำไปใช้ประโยชน์ด้านการค้า ไม่ว่ากรณีใดๆ ทั้งสิ้น อีกทั้งห้ามมิให้ดัดแปลงเนื้อหาและต้องอ้างอิงถึงเจ้าของเอกสารทุกครั้งที่มีการนำไปใช้



ภาพที่ 2.11 แสดงการหมุนเป็นสเต็ป



ภาพที่ 2.12 แสดงการหมุนแบบต่อเนื่อง

ลักษณะการหมุนแบบสเต็ปจะมีช่วงเวลาหยุดนิ่งของโรเตอร์ก่อน ที่จะเปลี่ยนสเต็ปถัดไป ดังนั้นหากมีการเพิ่มอัตราเร็ว ในแต่ละสเต็ปให้เร็วขึ้นและเป็นไปอย่างต่อเนื่อง การหมุนของ สเต็ปปีงมอเตอร์ก็จะเปลี่ยนเป็นการหมุนแบบต่อเนื่อง

การนำสเต็ปไปใช้งาน ไม่ว่าจะป็นโหมดการทำงานแบบใดหรือเป็นสเต็ปปีงมอเตอร์ แบบไหน ควรมีลักษณะต่างๆ เช่น แรงบิด การตอบสนองต่อความถี่สูงสุดและความสัมพันธ์

เอกสารระหว่างการเปลี่ยนแปลงแรงบิดกับค่ากระแสการศึกษานี้ เพื่อให้สามารถควบคุมการทำงานของราคา ไม่ว่าจะกรณีใดๆ ทั้งสิ้น อีกทั้งห้ามมิให้ดัดแปลงเนื้อหาและต้องอ้างอิงถึงเจ้าของเอกสารทุกครั้งที่มีการนำไปใช้

สแต็ปปิงมอเตอร์ได้อย่างมีประสิทธิภาพมากที่สุดซึ่งคุณลักษณะเหล่านี้สามารถแบ่ง ได้ออกเป็น 2 ลักษณะคือ

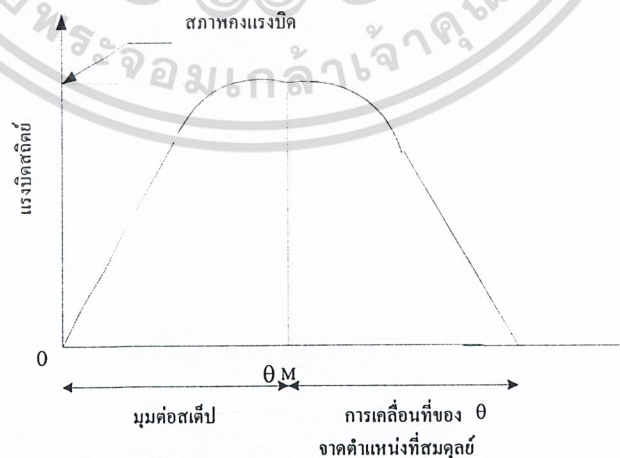
- 1.คุณลักษณะทางสถิตย์ (Static Characteristics)
- 2.คุณลักษณะทางพลวัต (Dynamic Characteristics)

2.7.2 คุณลักษณะทางสถิตย์ (Static Characteristics)

คุณลักษณะทางสถิตย์หมายถึงคุณลักษณะในสภาวะที่มอเตอร์หยุดนิ่งไม่มีการเคลื่อนไหว ซึ่งเป็นตำแหน่งที่มีความสมดุลของการหมุนมากที่สุด กล่าวคือเป็นตำแหน่งที่ซี่ฟันของโรเตอร์มีความสัมพันธ์กันอยู่ในแนวเดียวกัน และยังคงอยู่ในตำแหน่งนี้จนกว่าจะมีการกระตุ้นอีกครั้ง โดยที่ตำแหน่งสมดุลของโรเตอร์จะมีค่าแรงบิดเท่ากับศูนย์ ซึ่งถ้าโรเตอร์มีการเคลื่อนที่ไปในทิศทางใดทิศทางหนึ่ง มอเตอร์จะทำการสร้างสมดุลให้กับโหลดโดยการสร้างแรงบิดขึ้นมาในทิศทางตรงกันข้ามกับทิศทางการเคลื่อนที่ ผลของแรงบิดกับการเคลื่อนที่จะมีลักษณะคล้ายกับรูปคลื่นไซน์

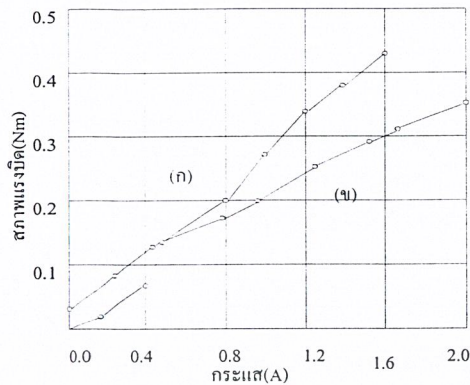
แรงบิดสูงสุดที่เกิดขึ้น จะขึ้นอยู่กับกระแสที่จ่ายให้เฟสต่างๆ โดยที่แรงบิดนี้ เรียกว่า สภาพคงแรงบิด (Holding Torque) หรือแรงบิดสถิตย์ (Static Torque) และลักษณะความสัมพันธ์ที่เกิดขึ้นระหว่างค่าของแรงบิดกับกระแสที่เปลี่ยนแปลงไปจะเป็นลักษณะเชิงเส้น แต่ก็จะมีขีดจำกัดอยู่ที่จุดอิ่มตัวคือจุดที่ไม่มีการเพิ่มของกระแสเฟสก็ตาม

- คุณลักษณะทางสถิตย์จะแสดงความสัมพันธ์ดังต่อไปนี้
1. คุณลักษณะ ของแรงบิดกับมุมสแต็ป
 2. คุณลักษณะของแรงบิดกับกระแส



ภาพที่ 2.13 กราฟคุณลักษณะของแรงบิดต่อมุมสแต็ป

เอกสารนี้เป็นเอกสารที่สงวนไว้สำหรับใช้เพื่อการศึกษาเท่านั้น ไม่อนุญาตให้นำไปใช้ประโยชน์ด้านการค้าไม่ว่ากรณีใดๆ ทั้งสิ้น อีกทั้งห้ามมิให้ดัดแปลงเนื้อหาและต้องอ้างอิงถึงเจ้าของเอกสารทุกครั้งที่มีการนำไปใช้



ภาพที่ 2.14 กราฟคุณลักษณะของแรงบิดต่อกระแส

2.7.3 คุณลักษณะทางพลวัต

ในการพิจารณาคุณลักษณะสถิตย์ของแรงบิดของสเต็ปิ่งมอเตอร์ จะพิจารณาก็คือต่อเมื่อไม่มีการเคลื่อนที่ของโรเตอร์ แต่การพิจารณาคุณลักษณะทางพลวัตของสเต็ปิ่งมอเตอร์นั้นจะมองถึงความสามารถในการสร้างแรงบิดที่สัมพันธ์กับความเร็ว โดยสามารถศึกษาได้จากคู่มือ (Data Sheet) ของบริษัทผู้ผลิต

คุณลักษณะของแรงบิด ดึงเข้า (Pull-out-Torque) เป็นคุณลักษณะเริ่มต้น และจะอ้างอิงกับย่านของแรงบิดที่เกิดจากแรงเสียดทานของโหลดที่ซึ่งมอเตอร์สามารถเคลื่อนที่และหยุดได้โดยปราศจากการสูญเสียในสเต็ป สำหรับย่านความถี่ต่างๆที่ใช้ในการทดสอบจะอยู่ในช่วง 100 เฮิรตซ์ หรือ ไกล่เคียง

คุณลักษณะของแรงบิด ดึงออก (Pull - Out Torque) สำหรับพิจารณาคุณลักษณะในการเคลื่อนที่หลังจากที่ได้ทำการทดลอง ที่ได้จากการทดสอบมอเตอร์ ให้เกิดการเคลื่อนที่โดยใช้วงจรขับเคลื่อนลักษณะพิเศษ ในกรณีของการกระตุ้นในย่านของการเคลื่อนที่ด้วยตัวเอง (Self Starting Range) ความถี่ของพัลส์จะค่อยๆเพิ่มขึ้นจนกระทั่งมอเตอร์เกิดการเคลื่อนที่โดยปราศจากการเข้าจังหวะ ความสัมพันธ์ระหว่างแรงบิดที่เกิดจากแรงเสียดทานของโหลดกับความถี่ของพัลส์สูงสุด จะทำให้มอเตอร์สามารถเคลื่อนที่ได้โดยมีการเข้าจังหวะ ซึ่งเรียกว่าคุณลักษณะดึงออก

ความถี่สูงสุดที่ใช้ในการเคลื่อนที่ (Maximum Starting Frequency) เป็นการกำหนดการควบคุมความถี่สูงสุดให้มอเตอร์เคลื่อนที่และหยุดได้ในขณะที่ไม่มีโหลดโดยปราศจากการสูญเสียทางสเต็ป

ระดับสูงสุดของอัตราการดึงออก (Maximum Pull-Out Rate) เป็นการกำหนดค่าความถี่สูงสุดในขณะที่มอเตอร์สามารถเคลื่อนที่ได้เมื่อไม่มีโหลดโดยปราศจากการสูญเสียทางสเต็ป

แรงบิดสูงสุดที่เกิดจากการเคลื่อนที่ (Maximum Starting Torque) เรียงแรงบิดดึงสูงสุดและเป็นการกำหนดค่าของแรงบิดที่เกิดจากแรงเสียดทานสูงสุดของโหลด

2.8 ประเภทของสเต็ปปีงมอเตอร์

สเต็ปปีงมอเตอร์สามารถแบ่งออกเป็นประเภทต่างๆดังนี้

1. สเต็ปปีงมอเตอร์แบบแม่เหล็กถาวร
2. สเต็ปปีงมอเตอร์แบบแปรค่าความต้านทานของสนามแม่เหล็กได้
3. สเต็ปปีงมอเตอร์แบบไฮบริดจ์

2.8.1 สเต็ปปีงมอเตอร์แบบแม่เหล็กถาวร (Permanent Magnet Stepping Motor)

สเต็ปปีงมอเตอร์ชนิดนี้จะใช้แม่เหล็กถาวรเป็นโรเตอร์ โดยที่โรเตอร์มีรูปร่างเป็นทรงกระบอก และสเตเตอร์จะถูกแบ่งออกเป็นซี่ หรือที่เรียกว่า เฟส ล้อมรอบ ตามรูป โดยที่แต่ละซี่จะมีขดลวดพันโดยรอบเพื่อทำให้เกิดการกระตุ้นในการสร้างสนามแม่เหล็กทำให้สเต็ปปีงมอเตอร์แบบแม่เหล็กถาวรมีขนาดมุมสเต็ป (Step) เล็กลง สามารถทำได้การเพิ่มจำนวนขั้วแม่เหล็กของโรเตอร์และหรือจำนวนซี่ฟันของมอเตอร์

แต่การเพิ่มความละเอียดของสเต็ป ก็มีขีดจำกัดในการเพิ่มจำนวนขั้วแม่เหล็กของโรเตอร์ ทั้งนี้เนื่องจากการสร้างแม่เหล็กถาวรให้มีโครงสร้างแบบมีขั้วแม่เหล็กหลายๆชั้นนั้นทำได้ยากจึงทำให้สเต็ปปีงมอเตอร์มีข้อเสีย

มีขนาดมุมสเต็ป ใหญ่ ทำให้มีความละเอียดของสเต็ปต่อรอบน้อยมาก เนื่องจากว่าโครงสร้างของโรเตอร์เป็นแม่เหล็กถาวร

สเต็ปปีงมอเตอร์แบบแม่เหล็กถาวรส่วนใหญ่จะมีโครงสร้างขนาดเล็กทำให้ค่าแรงบิดที่ได้ต่อหน่วยปริมาตรมีค่าต่ำ ถ้าต้องการปรับปรุงประสิทธิภาพในเรื่องแรงบิด แม่เหล็กถาวรที่ใช้จะต้องทำมาจากสารแม่เหล็กที่มีสภาพความเป็นแม่เหล็กสูง

2.8.2 สเต็ปปีงมอเตอร์แบบแปรค่าความต้านทานของสนามแม่เหล็กได้

(Variable Reluctance Stepping Motor)

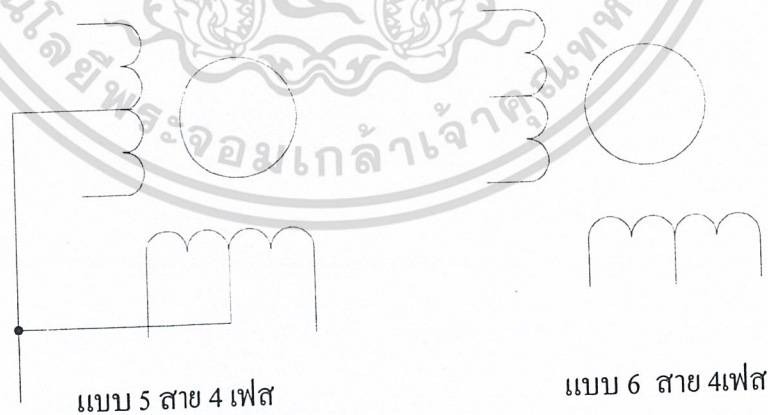
สเต็ปปีงมอเตอร์ชนิดนี้เรียกอีกอย่างหนึ่งว่า วีอาร์สเต็ปปีงมอเตอร์ (VR Stepping Motor) โครงสร้างมีโรเตอร์และสเตเตอร์ที่ทำจากโลหะซิลิกอน (Silicon) ซึ่งเป็นสารแม่เหล็กที่มีสภาพซึมซาบทางแม่เหล็ก (Permeability) สูงและสามารถให้เส้นแรงแม่เหล็กไหลผ่านได้มา

เอกสารนี้เป็นเอกสารที่สงวนไว้สำหรับการใช้งานเพื่อการศึกษาเท่านั้น ไม่อนุญาตให้นำไปใช้ประโยชน์ด้านการค้า
ไม่ว่ากรณีใดๆ ทั้งสิ้น อีกทั้งห้ามมิให้ดัดแปลงเนื้อหาและต้องอ้างอิงถึงเจ้าของเอกสารทุกครั้งที่มีการนำไปใช้

2.8.3 สเต็ปป์มอเตอร์แบบไฮบริดจ์

สเต็ปป์มอเตอร์ที่มีโรเตอร์เป็นแม่เหล็กถาวร การใช้ชื่อว่าไฮบริดจ์ได้มาจากการรวมหลักสำคัญของมอเตอร์แบบแม่เหล็กถาวรและแบบแปรค่าความต้านทานได้เข้าด้วยกัน สเต็ปป์มอเตอร์แบบไฮบริดจ์จะมีโครงสร้างของสเตเตอร์คล้ายกับโครงสร้างของสเต็ปป์มอเตอร์แบบแปรค่าความต้านทานแม่เหล็กได้ ซึ่งจะมีขดลวดอยู่ 2 ขด และขดลวดทั้ง 2 จะพันอยู่ที่ขั้วเดียวกัน ในลักษณะของ 2 ภาวะขั้ว (Bipolar) ซึ่งจะทำให้ขั้วแม่เหล็กมีความต่างกันขณะที่มีการกระตุ้นแต่ละครั้ง ลักษณะที่สำคัญอีกประการหนึ่งของสเต็ปป์มอเตอร์แบบไฮบริดจ์ก็คือ ตัวโรเตอร์จะเป็นแม่เหล็กถาวร รูปร่างทรงกระบอกตามยาวอยู่ในแกนเหล็กของโรเตอร์ เพื่อใช้สร้างสนามแม่เหล็กขั้วเดียวกันและแต่ละขั้วของแม่เหล็กจะถูกล้อมรอบรอบด้วยฟันเหล็กอ่อน โดยที่ฟันของโรเตอร์กับสเตเตอร์อยู่ในตำแหน่งที่เหลื่อมกันอยู่ 90 องศา

หลักการทำงานของสเต็ปป์มอเตอร์แบบไฮบริดจ์ที่แตกต่างจากสเต็ปป์มอเตอร์แบบแปรค่าความต้านทานของสนามแม่เหล็กจะไม่ขึ้นอยู่กับกระแสที่ไหลผ่านขดลวดเพียงอย่างเดียว แต่จะขึ้นอยู่กับโครงสร้างของซี่ฟันด้วยและ ข้อดี ของสเต็ปป์มอเตอร์แบบไฮบริดจ์คือ มีขนาดของ สเต็ป เล็ก ทำให้มีความละเอียดของสเต็ปต่อรอบสูง นอกจากนี้ยังมีค่าของแรงบิดสูงกว่า สเต็ปป์มอเตอร์แบบแปรค่าความต้านทานของสนามแม่เหล็กได้ แต่สเต็ปป์มอเตอร์แบบแปรค่าความต้านทานของสนามแม่เหล็กได้จะมีแรงเฉื่อยทางกล ใกนน้อยกว่า สเต็ปป์มอเตอร์ได้รับการพัฒนาอย่างต่อเนื่อง จนในปัจจุบันสเต็ปป์มอเตอร์ที่เป็นที่นิยมใช้กันอย่างแพร่หลายมากที่สุดและหาง่ายคือสเต็ปป์มอเตอร์แบบยูนิโพลาร์ (UniPolar stepper motor) มีลักษณะการพันขดลวดของมอเตอร์แสดงในภาพที่ 2.15



ภาพที่ 2.15 โครงสร้างอย่างง่ายของ สเต็ปป์มอเตอร์แบบยูนิโพลาร์

เอกสารนี้เป็นเอกสารที่สงวนไว้สำหรับการใช้งานเพื่อการศึกษาเท่านั้น ไม่อนุญาตให้นำไปใช้ประโยชน์ด้านการค้า ไม่ว่ากรณีใดๆ ทั้งสิ้น อีกทั้งห้ามมิให้ดัดแปลงเนื้อหาและต้องอ้างอิงถึงเจ้าของเอกสารทุกครั้งที่มีการนำไปใช้

สเต็ปป์มอเตอร์แบบนี้มีมีการพันขดลวด 2 ขดบนแต่ละ ขั้ว แม่เหล็กแต่ละขดแบ่งเป็น 2 เฟส รวมมอเตอร์ทั้ง 4 ตัวจะมี 4 เฟสคือเฟส 1, 2, 3 และ 4 มีการต่อสายออกมาจากขดลวดแต่ละขดเพื่อจ่ายไฟเลี้ยง ทำให้สเต็ปป์มอเตอร์แบบนี้มีทั้งแบบ 5 สายและ 6 สายจะเป็นการนำสายไฟเลี้ยงของขดลวดทั้งสองมาต่อรวมกันเป็นสายเดียว

2.8.4 การกระตุ้นและควบคุมการหมุนของสเต็ปป์มอเตอร์

การกระตุ้นและควบคุมการหมุนของมอเตอร์ให้เคลื่อนที่ไปแต่ละสเต็ปทำได้โดยการจ่ายกำลังไปยังขดลวดแต่ละขดบนสเตเตอร์ ซึ่งต้องป้อนเป็นแบบซีแควนเชียลในรูปแบบที่ถูกต้องด้วย สามารถแบ่งได้เป็น 3 รูปแบบคือ แบบฟูลสเต็ป 1 เฟส แบบฟูลสเต็ป 2 เฟส และ แบบฮาล์ฟสเต็ป (half step)

แบบฟูลสเต็ปหนึ่งเฟส (full step) เป็นการกระตุ้นที่มีรูปแบบง่ายที่สุด โดยทำการกระตุ้นขดลวดที่ละขดในเวลาหนึ่งไล่เรียงถัดกันไป เช่น เริ่มต้นที่ขดที่ 1, 2, 3, และ 4 แล้ววนกลับมาขดที่ 1 วนไปเรื่อยๆ หรือเริ่มที่ขดที่ 1 แล้วย้อนไปยังขดที่ 4, 3, 2 แล้วกลับมาขดที่ 1 อีกครั้ง ซึ่งทิศทางการหมุนสวนกัน ในการกระตุ้นรูปแบบนี้จึงมีขดลวดเพียงขดเดียวในเวลาหนึ่งที่ถูกกระตุ้นเท่านั้น วงจรกระตุ้นแบบเวฟจึงมีราคาถูกและง่าย ขั้นตอนการทำงานต่างๆ แสดงดังตารางที่ 2.3

ตารางที่ 2.3 แสดงลำดับการทำงานของขดลวดในแต่ละเฟสของมอเตอร์ เมื่อได้รับการกระตุ้นแบบฟูลสเต็ปหนึ่งเฟส

| สเต็ปที่ | เฟสที่ 1 | เฟสที่ 2 | เฟสที่ 3 | เฟสที่ 4 |
|----------|----------|----------|----------|----------|
| 1 | ทำงาน | - | - | - |
| 2 | - | ทำงาน | - | - |
| 3 | - | - | ทำงาน | - |
| 4 | - | - | - | ทำงาน |

แบบฟูลสเต็ปสองเฟสเป็นการกระตุ้นซึ่งคล้ายกับแบบหนึ่งเฟส แต่การกระตุ้นแบบจะทำการกระตุ้นโดยจ่ายกำลังไฟฟ้าไปที่ขดลวด 2 ขดที่อยู่ใกล้กันในเวลาเดียวกัน และเรียงถัดกันไปเช่นเดียวกับแบบหนึ่งเฟสดังตัวอย่างขดลวดชุดแรกที่กระตุ้นจะเป็นขดที่ 1 และขดที่ 2 ตามด้วยการกระตุ้นของขดที่ 2 และ 3 ต่อไปเป็นขดที่ 3 และ 4 ถัดไปเป็นขดที่ 4 และ 1 แล้ววนกลับมาเป็นขดที่ 2 และ 2 วนกลับไปตามลำดับหรือเริ่มที่ขดที่ 1 และ 4 ตามด้วยขดที่ 4 และ 3 ถัดไปเป็นขดที่ 3 และ 2 ต่อไปเป็นขดที่ 2 และ 1 แล้ววนกลับมาที่ขดที่ 1 และ 4 ทิศทางการหมุนจะสวนทางกัน การกระตุ้นสเต็ปป์มอเตอร์แบบนี้ต้องใช้กำลังไฟฟ้ามักขึ้นขึ้นขั้นตอนการทำงานดังตาราง

ตารางที่ 2.4 แสดงลำดับการทำงานของขดลวดในแต่ละเฟสของมอเตอร์ เมื่อได้รับการกระตุ้นแบบฟูลสเต็ปสองเฟส

| สเต็ปที่ | เฟสที่1 | เฟสที่2 | เฟสที่3 | เฟสที่4 |
|----------|---------|---------|---------|---------|
| 1 | ทำงาน | ทำงาน | - | - |
| 2 | - | ทำงาน | ทำงาน | - |
| 3 | - | - | ทำงาน | ทำงาน |
| 4 | ทำงาน | - | - | ทำงาน |

แบบฮาล์ฟสเต็ปเป็นรูปแบบที่ผสมผสานระหว่างการกระตุ้นแบบฟูลสเต็ปหนึ่งเฟส และ 2 เฟสเพื่อเพิ่มจำนวนของสเต็ปต่อรอบอีกเท่าตัวหนึ่งในระบบนี้จะทำการกระตุ้นขดลวดเรียงกันไปเป็นลำดับ ดังนี้เริ่มจากขดลวดที่ 1,1 และ 2,2 และ 3,3,3 และ 4,4,4 และ 1 แล้ววนกลับมายังขดลวด ที่1 แรงบิดที่ได้จากการกระตุ้นแบบนี้จะเพิ่มมากขึ้นอีกเพราะช่วงสเต็ปมีระยะสั้นลง แต่ละสเต็ปเกิดแรงบิดแรงดึงจากขดลวดที่ 2 ขดที่ถูกกระตุ้นพร้อมกันความถูกต้องของตำแหน่งมีเพิ่มมากขึ้นแต่ต้องพึงระวังไว้อีกประการหนึ่งเมื่อกระตุ้นให้ทำงานในรูปแบบนี้จะต้องทำการหมุนถึง 2 สเต็ปจึงจะได้ระยะเท่ากับระยะ 1 สเต็ปเต็มของการควบคุมใน 2 แบบแรก สำหรับแหล่งจ่ายกำลังไฟฟ้าต้องใช้ขนาดเท่ากับ 2 เฟสเป็นอย่างน้อยจึงจะเพียงพอ

ตารางที่ 2.5 แสดงลำดับการทำงานของขดลวดในแต่ละเฟสของมอเตอร์ เมื่อได้รับการกระตุ้นแบบฮาล์ฟสเต็ป

| สเต็ปที่ | เฟสที่1 | เฟสที่2 | เฟสที่3 | เฟสที่4 |
|----------|---------|---------|---------|---------|
| 1 | ทำงาน | - | - | - |
| 2 | ทำงาน | ทำงาน | - | - |
| 3 | - | ทำงาน | - | - |
| 4 | - | ทำงาน | ทำงาน | - |
| 5 | - | - | ทำงาน | - |
| 6 | - | - | ทำงาน | ทำงาน |
| 7 | - | - | - | ทำงาน |
| 8 | ทำงาน | - | - | ทำงาน |

เอกสารนี้เป็นเอกสารที่สงวนไว้สำหรับการใช้งานเพื่อการศึกษาเท่านั้น ไม่อนุญาตให้นำไปใช้ประโยชน์ด้านการค้าไม่ว่ากรณีใดๆ ทั้งสิ้น อีกทั้งห้ามมิให้ดัดแปลงเนื้อหาและต้องอ้างอิงถึงเจ้าของเอกสารทุกครั้งที่มีการนำไปใช้

บทที่ 3

การออกแบบและการสร้างรถบังคับอินฟราเรด ด้วยไมโครคอนโทรลเลอร์

3.1 กล่าวนำ

การที่จะควบคุมกระบวนการต่าง ๆ ได้ต้องอาศัย ตัวไมโครคอนโทรลเลอร์ซึ่งเป็นชื่อของ อุปกรณ์อิเล็กทรอนิกส์ ที่รวมเอา หน่วยประมวลผล หน่วยคำนวณทางคณิตศาสตร์ และ ลอจิก วงจรรับสัญญาณอินพุต วงจรขับสัญญาณเอาต์พุต หน่วยความจำวงจรกำเนิดสัญญาณนาฬิกา ไว้ด้วยกัน สามารถทำให้นำไปใช้งานแทนวงจรอิเล็กทรอนิกส์ที่ซับซ้อน ได้เป็นอย่างดี เบอร์ไมโครคอนโทรลเลอร์ที่ใช้คือ AT890C51 ในการสั่งงานต่าง ๆ

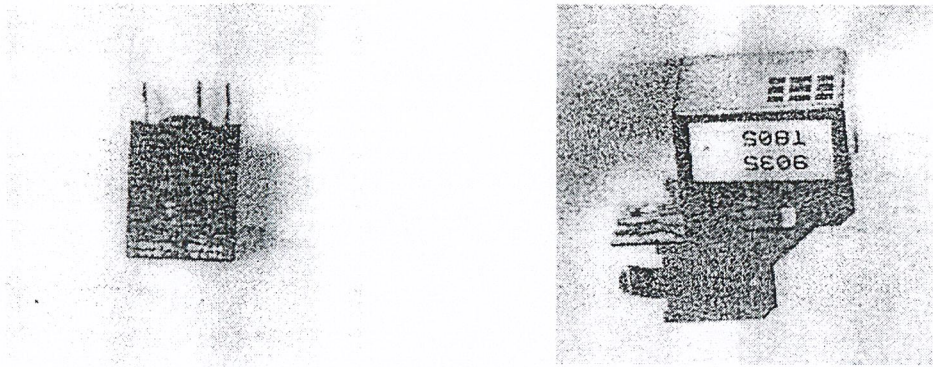
3.2 การออกแบบทางด้าน ฮาร์ดแวร์ของไมโครคอนโทรลเลอร์

3.2.1 ขั้นตอนในการออกแบบการถอดรหัส

หลักการงานและออกแบบรีโมทคอนโทรลแบบทุกชนิดล้วนมีพื้นฐานในการทำงานเดียวกันทั้งสิ้น ไม่ว่าจะเป็นการควบคุม โดยตรงด้วยสายไฟการควบคุมแบบไร้สายที่ใช้คลื่นวิทยุ หรือคลื่นแสงตลอดจนการควบคุมผ่านทางสายไฟฟ้าภายในบ้าน เพียงแต่ใช้ชุดวงจรรับส่งสัญญาณควบคุมหรือคลื่นพาห้ที่แตกต่างกันเท่านั้น ในการออกแบบระบบจริงไว้ใช้งาน ควรกำหนดรูปแบบของระบบคร่าว ๆ ไว้ก่อน เช่น ต้องการควบคุมฟังก์ชันการทำงานของอุปกรณ์อะไรบ้าง สัญญาณควบคุมเป็นแบบไหน (ดิจิตอล, อะนาลอก, พัลส์เดียว ฯลฯ) ตัวกลางที่ใช้ในการนำสัญญาณเป็นอะไร (มีสาย, ไร้สาย, อินฟราเรด ฯลฯ) และ รูปแบบของรหัสสัญญาณ (อนุกรมพัลส์, พีพีเอ็ม ฯลฯ) เหล่านี้เป็นต้น

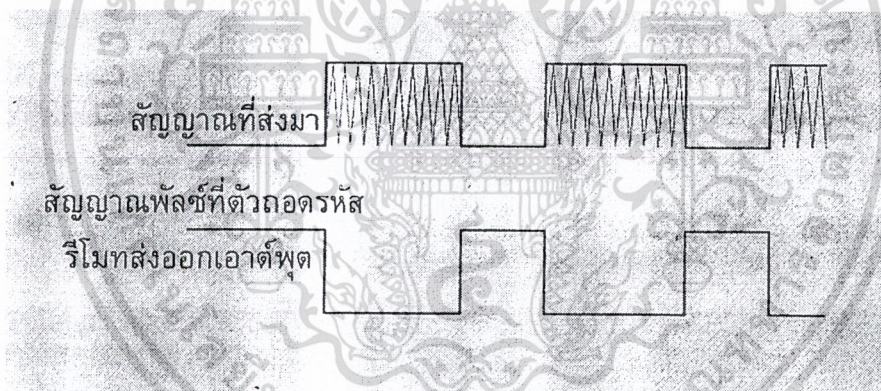
โดยมีโฟโต้ไดโอดเป็นตัวทำหน้าที่เปลี่ยนสัญญาณเพื่อส่งต่อให้ภาคซีมอดูเลต PPM เพื่อตัดคลื่นพาห้ 38 กิโลเฮิรตซ์ออก ในปัจจุบันตัวโฟโต้ไดโอด และปริแอมป์ จะถูกบรรจุอยู่ในโมดูลเดียวกันเพื่อป้องกันการรบกวน จากคลื่นภายนอกอุปกรณ์ที่สำคัญคือ ตัวรับสัญญาณจากรีโมทคอนโทรลที่เป็นชิพ ไอ ซีสำเร็จรูปซึ่งอยู่ในรูปของ IC1 เป็นตัวที่จะรับสัญญาณจากตัวส่งรีโมทคอนโทรลเข้ามาโดยตัวโมดูลไอซีแบบนี้จะใช้เบอร์ KT19 หรือ KT40 ซึ่งเป็นแบบตัวถังพลาสติก หรือจะใช้แบบตะแกรงโลหะก็ได้ แล้วแต่ความสะดวก ดังรูป

เอกสารนี้เป็นเอกสารที่สงวนไว้สำหรับการใช้งานเพื่อการศึกษาเท่านั้น ไม่อนุญาตให้นำไปใช้ประโยชน์ด้านการค้า
ไม่ว่ากรณีใดๆ ทั้งสิ้น อีกทั้งห้ามมิให้ดัดแปลงเนื้อหาและต้องอ้างอิงถึงเจ้าของเอกสารทุกครั้งที่มีการนำไปใช้



ภาพที่ 3.1 โมดูลตัวรับรีโมทแบบพลาสติกและแบบตะแกรง

ภาพที่ 3.2 รูปสัญญาณที่ปรากฏต่างๆ ของวงจร โดยรูปบนสุดคือสัญญาณที่ส่งมา รูปถัดมาด้านล่าง คือสัญญาณที่ตัวรับถอดรหัสออกมาแล้ว และรูปสุดท้าย (ล่างสุด) คือสัญญาณส่งออกไปยังตัว IR LED



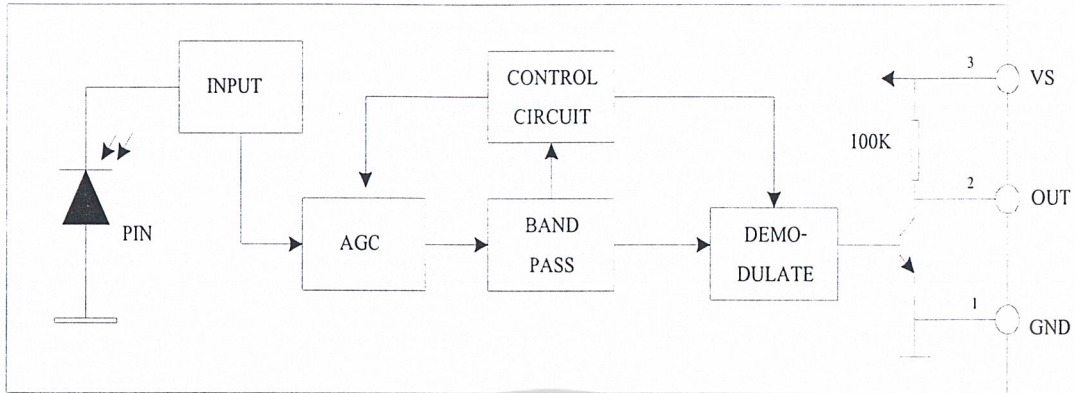
ภาพที่ 3.2 อินพุต (บน) ที่ส่งมายังชิพตัวรับ และ เอาต์พุตที่ออกจากชิพ (ล่าง)

3.2.1.1 การถอดรหัสของวงจร

การถอดรหัสรีโมทคอนโทรล (Remote Control) โดยใช้โมดูลแบบโฟโต้ สำหรับโค้ดแบบ PCM (Pulse Code Modulate) โมดูลที่ใช้ก็คือ TSOP 4838 ของ Temic เซมิคอนดักเตอร์ เป็นอุปกรณ์ถอดรหัสแบบสำเร็จรูป 3 ขา เอาท์พุตที่ได้เป็น พัลส์ ที่ถูกกรองคลื่นพาห์ ออกเรียบร้อยแล้ว

เอกสารนี้เป็นเอกสารที่สงวนไว้สำหรับการใช้งานเพื่อการศึกษาเท่านั้น ไม่อนุญาตให้นำไปใช้ประโยชน์ด้านการค้าไม่ว่ากรณีใดๆ ทั้งสิ้น อีกทั้งห้ามมิให้ดัดแปลงเนื้อหาและต้องอ้างอิงถึงเจ้าของเอกสารทุกครั้งที่มีการนำไปใช้

เราสามารถนำมาต่อกับไมโครคอนโทรลเลอร์ได้เลย

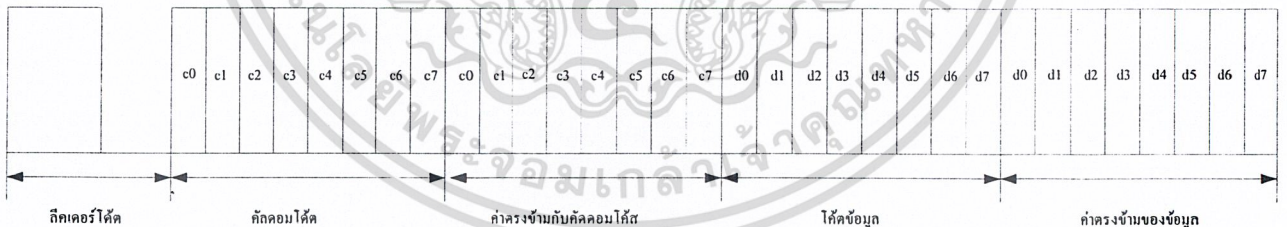


ภาพที่ 3.3 บล็อกไดอะแกรมของ PCM TSOP 4838

โดยปกติขา เอ๊าท์พุท ของตัวถอดรหัส PCM TSOP 4838 ในขณะที่ยังมีสัญญาณรีโมทเข้ามาจะมีระดับไฟอยู่ที่ 5 โวลต์

3.2.1.2 รหัสของรีโมทคอนโทรล (Transmission Code)

รหัสของรีโมทจะประกอบด้วย ลีดเดอร์โค้ด (Leader Code) , คัสตอมโค้ดแบบ 16 บิต (16 bits Custom Code), โค้ดข้อมูลอีก 8 บิต (8 bits Data Code) และ ตามด้วยค่าตรงข้ามของโค้ด ข้อมูลอีก 8 บิต ดังรูป เป็นเฟรมของการรับรหัสรีโมทคอนโทรล



ภาพที่ 3.4 บล็อกไดอะแกรมของ รหัสของรีโมท

จากรูปลีดเดอร์โค้ด จะมีความยาวประมาณ 13.5 ms เป็นพัลส์บวก 9 ms และพัลส์ลบ 4.5 ms หลังจากนั้นจะเป็นรหัสคัสตอมโค้ด 16 บิต และข้อมูลอีก 16 บิต ซึ่งสามารถเขียนโปรแกรมถอดรหัสได้ด้วยไมโครคอนโทรลเลอร์ ซึ่งเราสามารถสร้างภาพความ

แตกต่าง ระหว่างโค้ดที่เป็น “1” และ “0” ได้จากความสัมพันธ์ทางเวลาของพัลส์ คือความกว้าง และ คาบของพัลส์ เราเรียกว่าเป็น รหัสแบบ ppm (การผสมสัญญาณแบบความกว้างของพัลส์) ไม่ว่ากรณีใดๆ ทั้งสิ้น อีกทั้งห้ามมิให้ดัดแปลงเนื้อหาและต้องอ้างอิงถึงเจ้าของเอกสารทุกครั้งที่มีการนำไปใช้

ในรหัส 1 ชุดจะประกอบด้วย ข้อมูลขนาด 8 บิต พร้อมกับค่าตรงกันข้ามกับมันอีก 8 บิต ซึ่งนำมาใช้ป้องกันความผิดพลาด ที่เกิดขึ้นจากการรับข้อมูลได้

3.2.1.3 ลักษณะของพัลส์ (Remote Output Waveforms)

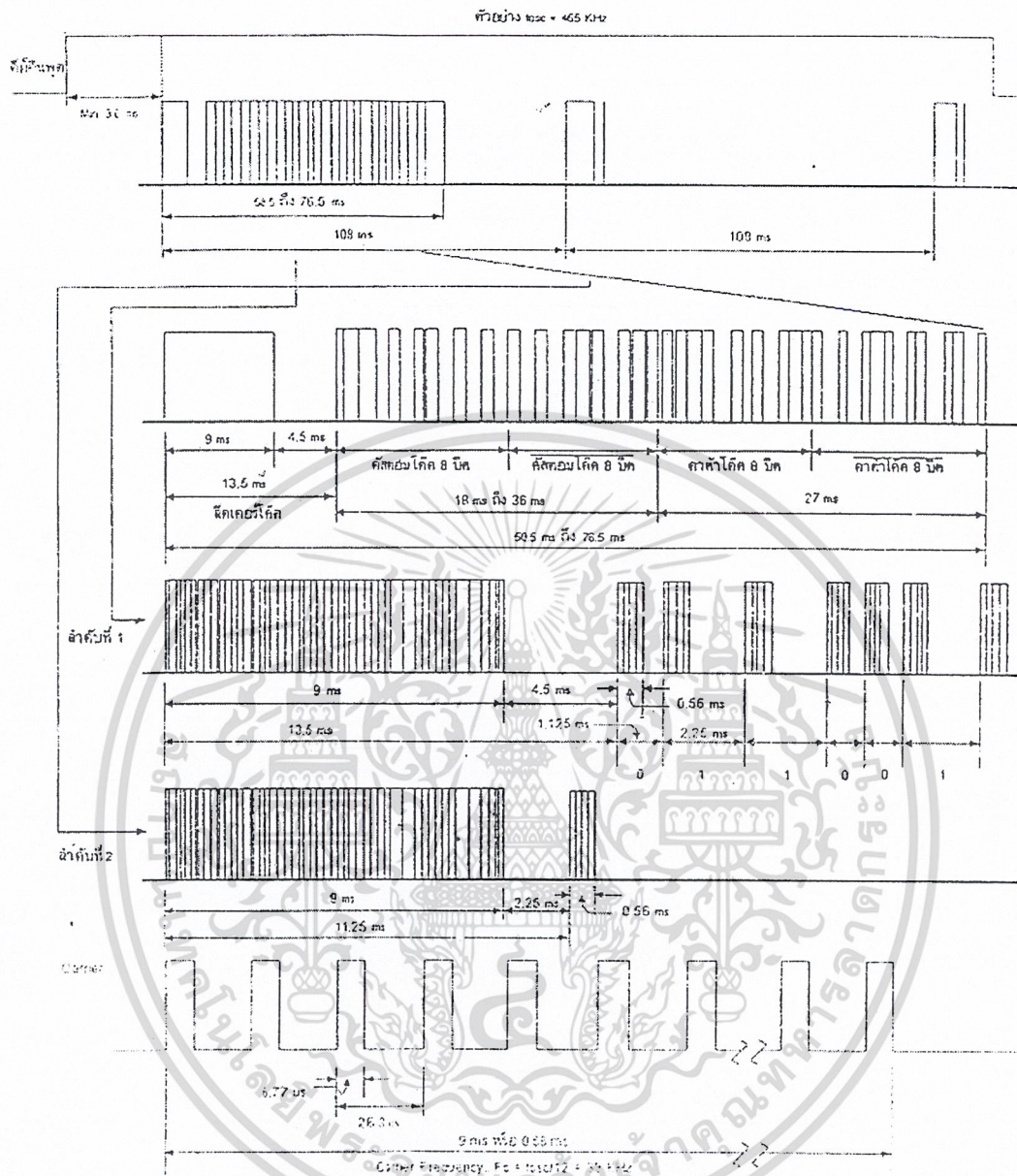
จากรูปด้านล่างเมื่อเรากดรีโมท 1 ครั้ง จะทำให้เราได้รีโมท ที่มีความยาวโดยรวมของพัลส์ อยู่ในช่วง 58.5 ถึง 76.5 us ขึ้นอยู่กับว่า มีโค้ดที่เป็น “1” และ “0” 1 ขบวน และ มีความยาวมากน้อยเพียงใด

เราสามารถแยกความแตกต่าง ระหว่างโค้ดที่เป็น “1” และ “0” ได้จากความกว้างของพัลส์คือ

-ถ้าเป็น “0” จะมีความกว้างของพัลส์ เท่ากับ $1.125 - 0.56 \text{ us} = 0.565 \text{ us}$

-ถ้าเป็น “1” จะมีความกว้างของพัลส์ เท่ากับ $2.25 - 0.56 \text{ us} = 1.69 \text{ us}$

ความเหมือนกันของโค้ด “1” และ “0” จะถูกนำหน้าด้วยพัลส์ บวกขนาดความกว้าง 0.56 us เสมอ และพัลส์ลบจะแสดงถึงความเป็นรหัส “1” หรือ “0” ฉะนั้นเมื่อเราได้ข้อมูลทั้งหมดข้างต้น จะทำให้เราสามารถเขียนโปรแกรมถอดรหัสรีโมทคอนโทรล และนำไปควบคุมอุปกรณ์ชนิดต่าง ๆ ต่อไป



ภาพที่ 3.5 ลักษณะของพัลส์ของรีโมทอินฟราเรดทั่วไป

เอกสารนี้เป็นเอกสารที่สงวนไว้สำหรับการใช้งานเพื่อการศึกษาเท่านั้น ไม่อนุญาตให้นำไปใช้ประโยชน์ด้านการค้า ไม่ว่ากรณีใดๆ ทั้งสิ้น อีกทั้งห้ามมิให้ดัดแปลงเนื้อหาและต้องอ้างอิงถึงเจ้าของเอกสารทุกครั้งที่มีการนำไปใช้

3.2.2 ขั้นตอนในออกแบบการปฏิบัติงาน

3.2.2.1 ขั้นการศึกษาข้อมูล

เริ่มจากการศึกษาข้อมูลของตัวส่งสัญญาณและตัวรับสัญญาณที่ใช้ว่ามีคุณสมบัติการทำงานเป็นอย่างไรรูปแบบของสัญญาณ Output ตลอดจนถึงการต่อกับอุปกรณ์ต่างๆ ว่ามีคุณสมบัติเป็นอย่างไร ใช้ร่วมกันได้หรือไม่

3.2.2.2 ขั้นการออกแบบวงจร

เป็นการร่างรูปแบบของวงจรให้มีความสอดคล้องกัน การทดลองอุปกรณ์ในแต่ละส่วน โดยเริ่มจากการส่งสัญญาณ Input ของอุปกรณ์ส่งสัญญาณว่าสัญญาณ Output มีลักษณะเป็นอย่างไร

3.2.2.3 ขั้นการลงอุปกรณ์ บนแผ่นปริ้น

คือ เป็นการเชื่อมต่อวงจรของภาคต่างๆเข้าด้วยกัน รวมทั้งจัดหาอุปกรณ์ต่างๆที่ต้องใช้ในวงจร

3.2.2.4 เป็นการจัดซื้ออุปกรณ์ต่างๆที่ต้องใช้ในวงจร

เมื่อทำการออกแบบวงจรได้แล้วก็ทำการจัดซื้ออุปกรณ์

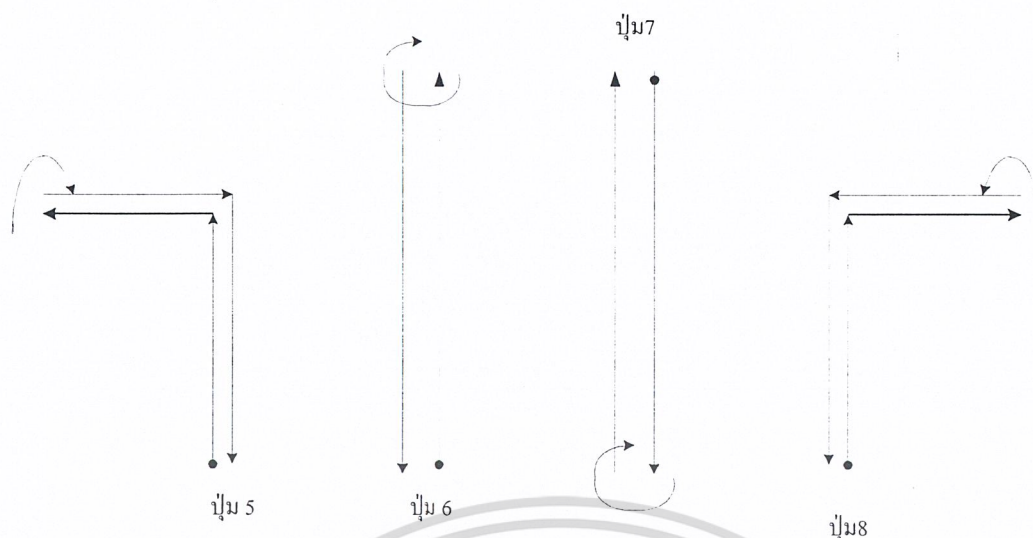
3.2.2.5 ขั้นการ Burn โปรแกรม

เป็นการนำโปรแกรมที่เขียนตามการออกแบบลงไปสู่ตัว CPU เพื่อ จะทำให้โปรแกรมที่เขียน ไม่มีการสูญหาย เมื่อเลิกจ่ายไฟให้วงจร

3.2.2.6 ขั้นการจัดทำปริญญานิพนธ์

เป็นการเขียนข้อมูลต่างๆ รวมถึงรายละเอียดในการปฏิบัติงาน

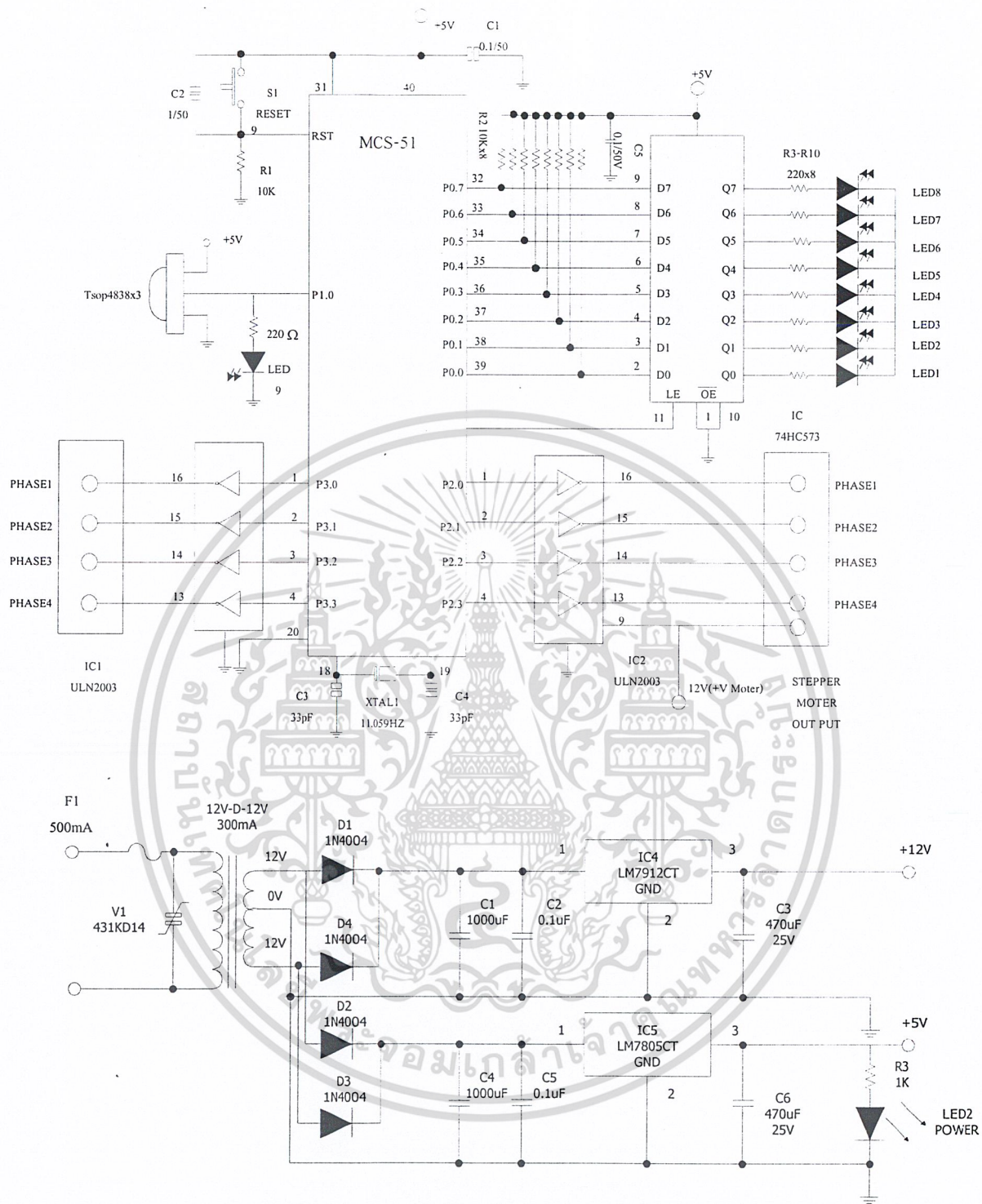
เอกสารนี้เป็นเอกสารที่สงวนไว้สำหรับการใช้งานเพื่อการศึกษาเท่านั้น ไม่อนุญาตให้นำไปใช้ประโยชน์ด้านการค้าไม่ว่ากรณีใดๆ ทั้งสิ้น อีกทั้งห้ามมิให้ดัดแปลงเนื้อหาและต้องอ้างอิงถึงเจ้าของเอกสารทุกครั้งที่มีการนำไปใช้



ภาพที่ 3.6 การเคลื่อนที่ของรถแบบ Auto

- ปุ่ม Volume+,- เป็นปุ่มที่ใช้ในการเพิ่มความเร็วหรือลดความเร็วของรถ
 - ปุ่ม Stop เป็นปุ่มที่ใช้ในการหยุดการเคลื่อนที่ของรถ
 - ปุ่ม Play เป็นปุ่มที่ใช้ในการเริ่ม Start
 - ปุ่ม CH+ ,CH- เป็นปุ่มที่ใช้ในการเปิดปิดการเลี้ยวของรถซึ่งปุ่ม CH+ ใช้ในการเลี้ยวขวา ปุ่ม CH- ใช้ในการเลี้ยวซ้าย
 - ปุ่ม Rew เป็นปุ่มที่ใช้ในการควบคุมการเปลี่ยนทิศทางจากการเคลื่อนที่ไปข้างหน้าเป็นการเคลื่อนที่ถอยหลังหรือจากการเคลื่อนที่ถอยหลังเปลี่ยนเป็นเคลื่อนที่ไปข้างหน้า
 - ปุ่ม FF.WD เป็นปุ่มที่ใช้ในการเคลื่อนที่ไปข้างหน้า
- ในส่วนของการต่อวงจรใช้งานจะใช้ไอซี ULN2003 ต่อจาก Port MCS-51 เพื่อที่จะจะไปขับ มอเตอร์สเต็ปिंग ทั้งสองข้าง

เอกสารนี้เป็นเอกสารที่สงวนไว้สำหรับการใช้งานเพื่อการศึกษาเท่านั้น ไม่อนุญาตให้นำไปใช้ประโยชน์ด้านการค้า
ไม่ว่ากรณีใดๆ ทั้งสิ้น อีกทั้งห้ามมิให้ดัดแปลงเนื้อหาและต้องอ้างอิงถึงเจ้าของเอกสารทุกครั้งที่มีการนำไปใช้



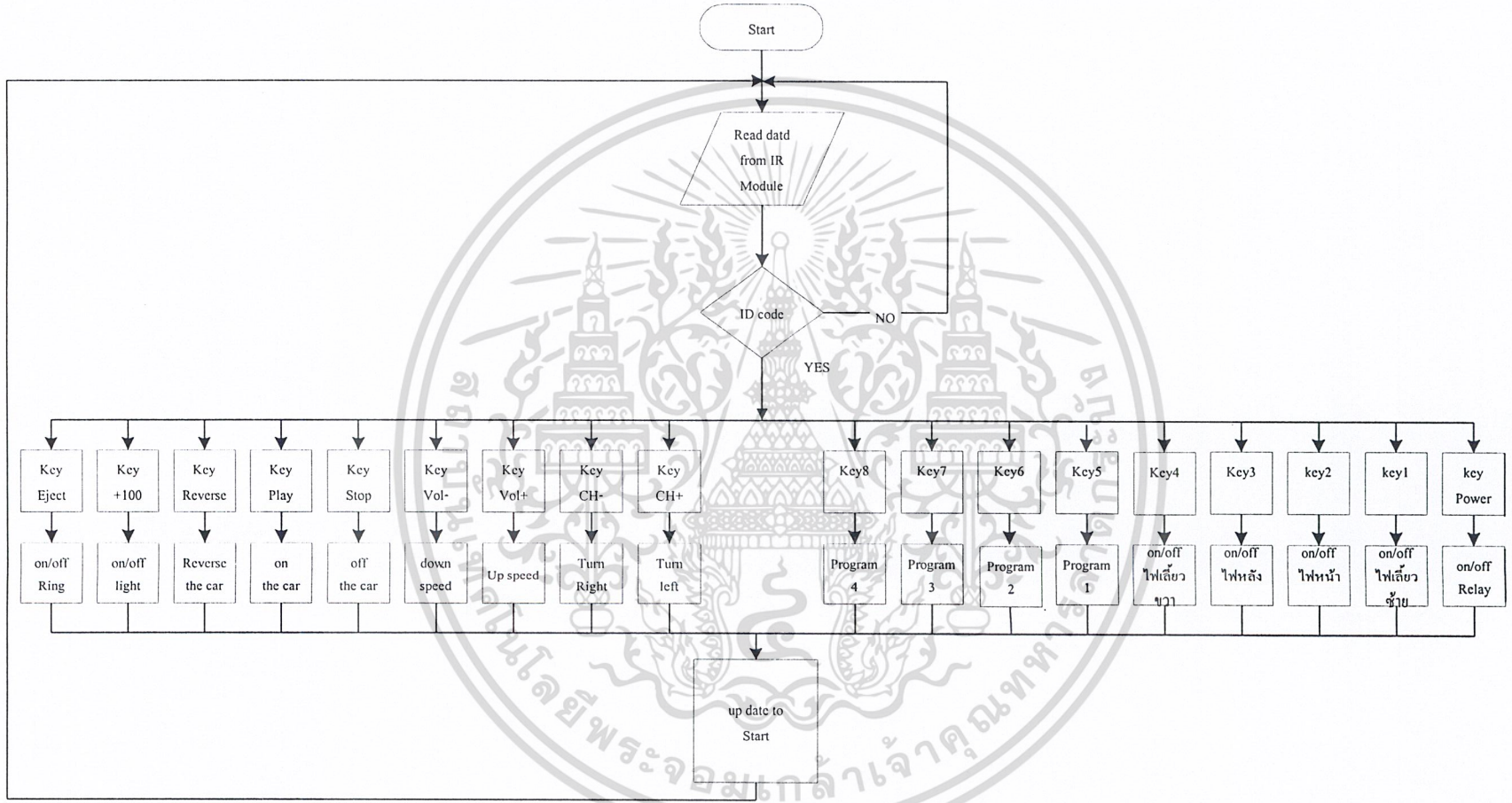
ภาพที่ 3.7 วงจรสมบูรณ์ของรถบังคับรีโมทอินฟราเรด

เอกสารนี้เป็นเอกสารที่สงวนไว้สำหรับการใช้งานเพื่อการศึกษาเท่านั้น ไม่อนุญาตให้นำไปใช้ประโยชน์ด้านการค้า
ไม่ว่ากรณีใดๆ ทั้งสิ้น อีกทั้งห้ามมิให้ดัดแปลงเนื้อหาและต้องอ้างอิงถึงเจ้าของเอกสารทุกครั้งที่มีการนำไปใช้

ในส่วนภาครับสัญญาณอินฟราเรด หัวใจสำคัญ คือ โมดูล IC2 ซึ่งเป็นเซนเซอร์ รับสัญญาณอินฟราเรด ที่ภายในบรรจุไว้ด้วย วงจร แอมพลิไฟร์ , วงจรกรองความถี่แบนด์พาส และ วงจรดีมอดูเลต ความถี่พาหะ 38 กิโลเฮิร์ตซ์ IC2 จะรับหน้าที่จัดการกับสัญญาณที่รีโมทคอนโทรลส่งเข้ามา ซึ่งเป็นสัญญาณที่เกิดจากการมอดูเลต ระหว่างข้อมูลที่รีโมทคอนโทรลต้องการส่ง กับความถี่พาหะ โดย IC2 จะทำการปรับขยายรูปสัญญาณ ให้มีขนาดที่เหมาะสม ก่อนจากนั้นดีมอดูเลตเอาส่วนที่เป็นความถี่ พาหะออกและ ให้เอาต์พุตเฉพาะ ส่วนที่เป็นรหัสข้อมูล เท่านั้นออกมา เนื่องจากโครงสร้างวงจร ขั้วเอาต์พุต ของ IC2 เป็นวงจรอินเวอร์เตอร์ เอาต์พุต ที่จ่ายออกมาจึงมีเฟสที่ต่างไปจากข้อมูลจริง อยู่ 180 องศา

สัญญาณที่ผ่านการดีมอดูเลตแล้ว จากเอาต์พุต IC2 จะถูกป้อนให้กับ IC1 จะตรวจหาบิตเริ่มต้นของข้อมูล ที่ถูกส่งเข้ามาก่อน จากนั้นทำการแซมปลิง หรือการสุ่มเก็บค่าข้อมูล ในทุก ๆ ช่วงเวลา 1.8 มิลลิวินาที เพื่อเป็นการอ่านและเก็บค่าข้อมูล ที่ได้รับมาไว้ในหน่วยความจำ ในขณะที่เดียวกันข้อมูลที่อ่านได้ก็จะถูกส่งออกไปยัง ขาหลอด แอลอีดี (LED9) ซึ่งใช้แสดงว่าในขณะที่นั้น IC1 ได้รับข้อมูลและ อ่านค่ามาเก็บไว้เรียบร้อยแล้ว

ข้อมูลจากรีโมทคอนโทรล ที่ IC1 อ่านค่าได้จะถูกนำไปเทียบกับข้อมูลอ้างอิง ที่บันทึกอยู่ใน IC1 อันได้แก่ รหัสคำสั่งของปุ่มต่าง ๆ บนรีโมทคอนโทรล และรหัสแอดเดรสของอุปกรณ์ไฟฟ้า เมื่อผู้ใช้ กดที่ปุ่มใดปุ่มหนึ่ง บนรีโมท บิตเริ่มต้น (start bits) ซึ่งจะมีสถานะ เปลี่ยนไปทุกครั้งที่มีการกดปุ่มซ้ำเดิม แต่ในกรณีที่ปุ่มถูกกดค้างเอาไว้รีโมทคอนโทรล จะทำการส่งข้อมูลอย่างซ้ำ ๆ ภายในคาบเวลา 113.778 มิลลิวินาที



ภาพที่ 3.8 แสดง ฟอร์ดวาร์ต

```

*****
,*
,*          PROGRAM REMOTE CONTROL CAR (PROJECT 2)          *
,*          HardWare and Sofeware by                          *
,*          Mr.Chut Krotkla                                    *
,*          Mr.Yuttana Chomwong                               *
,*          Complier : TURBO 51                               *
*****

```

```

          ORG 0000H          MOV P0,#0FFH
          LJMP SUIT          MOV P1,#0FFH
          ORG 0100H          MOV P2,#00H
SUIT:    MOV 30H,#2H          MOV P3,#00H
          MOV 31H,#2H
          MOV 32H,#2H          MUIN:  MOV P2,41H
          MOV 33H,#2H          MOV P3,45H
          MOV 34H,#2H          LCALL DELAY_2
          MOV 35H,#2H          MOV P3,42H
          MOV 36H,#2H          MOV P2,46H
          MOV 37H,#2H          LCALL DELAY_2
          MOV 38H,#2H          MOV P2,43H
          MOV 39H,#2H          MOV P3,47H
          MOV 40H,#2H
          SETB P1.6          LCALL DELAY_2
          SETB P1.7          MOV P3,44H
          MOV R6,#57H          MOV P2,48H
          MOV 41H,#00H          LCALL DELAY_2
          MOV 42H,#00H          SJMP MUIN
          MOV 43H,#00H
          MOV 44H,#00H          A_TO:  MOV P2,41H
          MOV 45H,#00H          MOV P3,45H
          MOV 46H,#00H          LCALL DELAY_1
          MOV 47H,#00H          MOV P3,42H
          MOV 48H,#00H          MOV P2,46H

```

เอกสารนี้เป็นเอกสารที่ให้บริการใช้งานเพื่อการศึกษาเท่านั้น
 ไม่ว่าการใด ๆ หนึ่งที่มีให้ดัดแปลงเนื้อหาและต้องอ้างอิง

```

LCALL DELAY_1                                DJNZ R0,PO_6
MOV P2,43H                                    LJMP STOP
MOV P3,47H
LCALL DELAY_1                                BUTTON_6: MOV R0,#6CH ;9 LOOP
MOV P3,44H                                    (1.5 M)
MOV P2,48H                                    LCALL PLAY_A
LCALL DELAY_1                                PO_7:    LCALL A_TO
RET                                            DJNZ R0,PO_7
                                                MOV R0,#6CH
BUTTON_5: MOV R0,#24H                        LCALL REVERSE_A
        LCALL PLAY_A                        PO_8:    LCALL A_TO
PO_1:   LCALL A_TO                          DJNZ R0,PO_8
        DJNZ R0,PO_1                        LJMP STOP
        MOV R0,#6H
        LCALL LEFT_A                        BUTTON_7: MOV R0,#48H ;6 LOOP(1
PO_2:   LCALL A_TO                          M)
        DJNZ R0,PO_2                        LCALL REVERSE_A
        MOV R0,#18H                        PO_9:    LCALL A_TO
        LCALL PLAY_A                        DJNZ R0,PO_9
PO_3:   LCALL A_TO                          MOV R0,#48H
        DJNZ R0,PO_3                        LCALL PLAY_A
        MOV R0,#18H                        PO_10:   LCALL A_TO
        LCALL REVERSE_A                    DJNZ R0,PO_10
PO_4:   LCALL A_TO                          LJMP STOP
        DJNZ R0,PO_4
        MOV R0,#6H                        BUTTON_8: MOV R0,#24H ;3,2 LOOP
        LCALL RIGTH_A                       LCALL PLAY_A
PO_5:   LCALL A_TO                        PO_11:   LCALL A_TO
        DJNZ R0,PO_5                        DJNZ R0,PO_11
        MOV R0,#24H                        MOV R0,#6H
        LCALL REVERSE_A                    LCALL RIGTH_A
PO_6:   LCALL A_TO                        PO_12:   LCALL A_TO
        DJNZ R0,PO_6                        DJNZ R0,PO_12
        MOV R0,#24H                        LCALL A_TO

```

เอกสารนี้เป็นเอกสารการใช้งานเพื่อการศึกษาเท่านั้น ไม่สามารถนำไปใช้ประโยชน์ด้านการค้า
 ไม่สามารถได้ลิขสิทธิ์ถ้ามีให้ดัดแปลงเนื้อหาและตัดไปใช้จริงถึง LCALL A_TO ทุกครั้งที่มีการนำไปใช้

```

        DJNZ R0,PO_12                                SETB P0.3
        MOV R0,#18H                                  SETB P0.4
        LCALL PLAY_A                                  LJMP RCA
PO_13:  LCALL A_TO
        DJNZ R0,PO_13                                FAST:   CJNE R6,#03H,BAW
        MOV R0,#18H                                  LJMP RCA
        LCALL REVERSE_A                              BAW:   DEC R6
PO_14:  LCALL A_TO                                  DEC R6
        DJNZ R0,PO_14                                LJMP RCA
        MOV R0,#6H
        LCALL LEFT_A                                 SLOW:  CJNE R6,#57H,BAQ
PO_15:  LCALL A_TO                                  LJMP RCA
        DJNZ R0,PO_15                                BAQ:   INC R6
        MOV R0,#24H                                  INC R6
        LCALL REVERSE_A                              LJMP RCA
PO_16:  LCALL A_TO
        DJNZ R0,PO_16                                STOP:  MOV 41H,#00H
        LJMP STOP                                    MOV 42H,#00H
                                                MOV 43H,#00H
SPOT:   JNB P1.6,SPOT_L                              MOV 44H,#00H
        JNB P1.7,SPOT_R                              MOV 45H,#00H
        RET                                           MOV 46H,#00H
SPOT_L:  MOV 47H,#00H
        CLR P0.0                                       MOV 48H,#00H
        CLR P0.7                                       MOV R6,#57H
        LCALL DELAY                                    LJMP RCA
        SETB P0.0
        SETB P0.7                                PLAY:  MOV 41H,#10010000B
        LJMP RCA                                    MOV 42H,#11000000B
SPOT_R:  CLR P0.3                                    MOV 43H,#01100000B
        CLR P0.4                                    MOV 44H,#00110000B
        LCALL DELAY                                    MOV 45H,#10010000B

```

เอกสารนี้เป็นเอกสารที่สงวนลิขสิทธิ์สำหรับการใช้งานเพื่อการศึกษาเท่านั้น ไม่ควรนำเอกสารนี้ไปใช้ในการค้า
 ไม่ว่ากรณีใดๆ ที่ผู้จัดทำเอกสารนี้ขอสงวนสิทธิ์ในการเปลี่ยนแปลงเนื้อหาและต้องอ้างอิงถึงที่มาของการนำไปใช้

| | |
|-------------------------------|----------------------------|
| MOV 46H,#1100000B | MOV 48H,#1100000B |
| MOV 47H,#01100000B | RET |
| MOV 48H,#00110000B | |
| LJMP RCA | LEFT: MOV 41H,#10010000B |
| | MOV 42H,#00110000B |
| PLAY_A: MOV 41H,#10010000B | MOV 43H,#01100000B |
| MOV 42H,#11000000B | MOV 44H,#11000000B |
| MOV 43H,#01100000B | MOV 45H,#10010000B |
| MOV 44H,#00110000B | MOV 46H,#11000000B |
| MOV 45H,#10010000B | MOV 47H,#01100000B |
| MOV 46H,#11000000B | MOV 48H,#00110000B |
| MOV 47H,#01100000B | LJMP RCA |
| MOV 48H,#00110000B | |
| RET | LEFT_A: MOV 41H,#10010000B |
| REVERSE: MOV 41H,#10010000B | MOV 42H,#00110000B |
| MOV 42H,#00110000B | MOV 43H,#01100000B |
| MOV 43H,#01100000B | MOV 44H,#11000000B |
| MOV 44H,#11000000B | MOV 45H,#10010000B |
| MOV 45H,#10010000B | MOV 46H,#11000000B |
| MOV 46H,#00110000B | MOV 47H,#01100000B |
| MOV 47H,#01100000B | MOV 48H,#00110000B |
| MOV 48H,#11000000B | RET |
| LJMP RCA | RIGH: MOV 41H,#10010000B |
| | MOV 42H,#11000000B |
| REVERSE_A: MOV 41H,#10010000B | MOV 43H,#01100000B |
| MOV 42H,#00110000B | MOV 44H,#00110000B |
| MOV 43H,#01100000B | MOV 45H,#10010000B |
| MOV 44H,#11000000B | MOV 46H,#00110000B |
| MOV 45H,#10010000B | MOV 47H,#01100000B |
| MOV 46H,#00110000B | MOV 48H,#11000000B |
| MOV 47H,#01100000B | LJMP RCA |
| MOV 48H,#11000000B | |

| | | |
|-----------------------------|----------------------|---------------------|
| | RCA: | RET |
| RIGTH_A: MOV 41H,#10010000B | BMAIN: | |
| MOV 42H,#11000000B | | SETB P1.0 |
| MOV 43H,#01100000B | | MOV R0,#20H |
| MOV 44H,#00110000B | MAIN: | JB P1.0,RCA |
| MOV 45H,#10010000B | A0S: | |
| MOV 46H,#00110000B | | MOV R2,#0EAH |
| MOV 47H,#01100000B | C0A: | MOV R3,#6H |
| MOV 48H,#11000000B | C0B: | DJNZ R3,C0B |
| RET | | JB P1.0,A0C |
| | | DJNZ R2,C0A |
| STILL: LJMP RCA | | LJMP RCA |
| | A0C: | ; JB P1.0,A0C ;:=1 |
| SOUND: SETB P2.3 | | MOV R2,#0EAH ; |
| LCALL DELAY | OLP: | MOV R3,#06H ; |
| CLR P2.3 | OLK: | DJNZ R3,OLK ; |
| LCALL DELAY_3 | | JNB P1.0,A0B ; |
| SETB P2.3 | | DJNZ R2,OLP ; |
| LCALL DELAY | | LJMP RCA ; |
| CLR P2.3 | A0B: | JNB P1.0,A0B |
| LJMP RCA | | MOV A,#00H |
| | | MOV R2,#78H ;;BIT 0 |
| DELAY_2: MOV 3AH,#00H | A1G: | MOV R3,#02H |
| FIY: MOV 3BH,#0CH | A1H: | DJNZ R3,A1H |
| FIO: MOV 3CH,R6 | | JNB P1.0,A10 |
| KH: DJNZ 3CH,KH | | DJNZ R2,A1G |
| | | SETB ACC.0 |
| | SETB P1.0 ;---SENSUR | A1X: R2,#0C0H |
| | MOV R0,#20H | A3B: R3,#3H |
| | JNB P1.0,A0S | A3A: JNB P1.0,A3A |
| | DJNZ 3AH,FIY | JNB P1.0,A2M |
| | LCALL SPOT | DJNZ R2,A3B |

| | | | |
|--------|---------------------|--------|---------------------|
| | LJMP COMP0 | | LJMP COMP0 |
| A10: ; | CLR ACC.0 | B20: ; | CLR ACC.2 |
| | SJMP A2M | | SJMP C2M |
| A2M: | JNB P1.0,A2M | C2M: | JNB P1.0,C2M |
| | MOV R2,#78H ;;BIT 1 | | MOV R2,#78H ;;BIT 3 |
| A2G: | MOV R3,#02H | C2G: | MOV R3,#02H |
| A2H: | DJNZ R3,A2H | C2H: | DJNZ R3,C2H |
| | JNB P1.0,A20 | | JNB P1.0,C20 |
| | DJNZ R2,A2G | | DJNZ R2,C2G |
| | SETB ACC.1 | | SETB ACC.3 |
| A2X: | MOV R2,#0C0H | C2X: | MOV R2,#0C0H |
| A3C: | MOV R3,#3H | A3G: | MOV R3,#3H |
| A3D: | DJNZ R3,A3D | A3H: | DJNZ R3,A3H |
| | JNB P1.0,B2M | | JNB P1.0,D2M |
| | DJNZ R2,A3C | | DJNZ R2,A3G |
| | LJMP COMP0 | | LJMP COMP0 |
| A20: ; | ACC.1 | C20: ; | CLR ACC.3 |
| | SJMP B2M | | SJMP D2M |
| B2M: | JNB P1.0,B2M | D2M: | JNB P1.0,D2M |
| | MOV R2,#78H ;;BIT 2 | | MOV R2,#78H ;;BIT 4 |
| B2G: | MOV R3,#02H | D2G: | MOV R3,#02H |
| B2H: | DJNZ R3,B2H | D2H: | DJNZ R3,D2H |
| | JNB P1.0,B20 | | JNB P1.0,D20 |
| | DJNZ R2,B2G | | DJNZ R2,D2G |
| | SETB ACC.2 | | SETB ACC.4 |
| B2X: | MOV R2,#0C0H | D2X: | MOV R2,#0C0H |
| A3E: | MOV R3,#3H | A3I: | MOV R3,#3H |
| A3F: | DJNZ R3,A3F | A3J: | DJNZ R3,A3J |
| | JNB P1.0,C2M | | JNB P1.0,E2M |
| | DJNZ R2,A3F | | DJNZ R2,A3I |

| | |
|---------------------|---------------------|
| LJMP COMP0 | LJMP COMP0 |
| D20: ; CLR ACC.4 | F20: ; CLR ACC.6 |
| SJMP E2M | SJMP G2M |
| E2M: JNB P1.0,E2M | G2M: JNB P1.0,G2M |
| MOV R2,#78H ;;BIT 5 | MOV R2,#78H ;;BIT 7 |
| E2G: MOV R3,#02H | G2G: MOV R3,#02H |
| E2H: DJNZ R3,E2H | G2H: DJNZ R3,G2H |
| JNB P1.0,E20 | JNB P1.0,G20 |
| DJNZ R2,E2G | DJNZ R2,G2G |
| SETB ACC.5 | SETB ACC.7 |
| E2X: MOV R2,#0C0H | G2X: MOV R2,#0C0H |
| A3K: MOV R3,#3H | A3O: MOV R3,#3H |
| A3L: DJNZ R3,A3L | A3P: DJNZ R3,A3P |
| JNB P1.0,F2M | JNB P1.0,H2C ;* |
| DJNZ R2,A3K | DJNZ R2,A3O |
| LJMP COMP0 | LJMP COMP0 |
| E20: ; CLR ACC.5 | G20: ; CLR ACC.7 |
| SJMP F2M | SJMP H2C ;* |
| F2M: JNB P1.0,F2M | H2C: MOV @R0,A |
| MOV R2,#78H ;;BIT 6 | INC R0 |
| F2G: MOV R3,#02H | LJMP A0B |
| F2H: DJNZ R3,F2H | COMP0: MOV R2,#00H |
| JNB P1.0,F20 | K0L: MOV R3,#38H |
| DJNZ R2,F2G | K2L: DJNZ R3,K2L |
| SETB ACC.6 | JNB P1.0,IOOL |
| F2X: MOV R2,#0C0H | DJNZ R2,K0L |
| A3M: MOV R3,#3H | LJMP COMP50 |
| A3N: DJNZ R3,A3N | COMP50: |
| JNB P1.0,G2M | |
| DJNZ R2,A3M | |

เอกสารนี้เป็นเอกสารที่สงวนไว้สำหรับการใช้งานเพื่อการศึกษาเท่านั้น ไม่อนุญาตให้นำไปใช้ประโยชน์ด้านการค้า
ไม่ว่ากรณีใดๆ ทั้งสิ้น หากมีให้ดัดแปลงเนื้อหาและต้องอ้างอิงถึงเจ้าของเอกสารทุกครั้งที่มีการนำไปใช้

```

MOV A,21H
MOV R1,#20H
XCHD A,@R1 ;A=01111000B
LI_0: CJNE A,#01111000B,LI_1
LJMP CP_1
LI_1: CJNE A,#00111100B,BMA
LJMP CP_2
BMA: LJMP BMAIN
IOOL: DJNZ 40H,BMA
MOV 40H,#02H
LJMP COMP50
CP_1: MOV A,20H
CJNE A,#01101010B,LP_0
MOV A,22H ;BUTTON 0
CJNE A,#01011001B,BMA
SETB P1.2
LCALL DELAY
DJNZ 30H,BMA
CLR P1.2
LCALL DELAY
MOV 30H,#2H
SJMP BMA
LP_0: CJNE A,#11100111B,LP_1
MOV A,22H ;BUTTON 1
CJNE A,#10000001B,BMA
CLR P1.6
DJNZ 31H,BMA
SETB P1.6
MOV 31H,#2H
DJNZ 34H,LP_35
SJMP BMA
LP_1: CJNE A,#01101000B,LP_2
MOV A,22H ;BUTTON 2
CJNE A,#01111001B,BMA
CLR P0.1
CLR P0.2
LCALL DELAY
DJNZ 32H,BMA
SETB P0.1
SETB P0.2
LCALL DELAY
MOV 32H,#2H
LJMP BMA
LP_2: CJNE A,#10101000B,LP_3
MOV A,22H ;BUTTON 3
CJNE A,#01110101B,BMA
CLR P0.5
CLR P0.6
LCALL DELAY
DJNZ 33H,LP_35
SETB P0.5
SETB P0.6
LCALL DELAY
MOV 33H,#2H
LJMP BMA
LP_3: CJNE A,#11101000B,LP_4
MOV A,22H ;BUTTON 4
CJNE A,#01110001B,LP_35
CLR P1.7
MOV 34H,#2H
DJNZ 34H,LP_35
SETB P1.7

```

เอกสารนี้เป็นเอกสารลิขสิทธิ์ของมหาวิทยาลัยเทคโนโลยีพระจอมเกล้าเจ้าคุณทหารลาดกระบัง
 ไม่ว่ากรณีการนำเอกสารนี้ไปใช้โดยไม่ได้รับอนุญาตจากมหาวิทยาลัยเทคโนโลยีพระจอมเกล้าเจ้าคุณทหารลาดกระบัง
 เอกสารนี้เป็นการศึกษาเพื่อใช้ในการเรียนการสอนเท่านั้น ไม่ควรนำไปใช้ประโยชน์ด้านการค้า

```

MOV 34H,#2H          MOV A,22H          ;BUTTON
LJMP BMA              POWER
                      CJNE A,#01111101B,LP_14
                      SETB P1.1
                      LCALL DELAY
LP_35: LJMP BMAIN     DJNZ 39H,LP_14
                      CLR P1.1
LP_4:  CJNE A,#00101001B,LP_5  MOV A,22H          ;BUTTON 5
                      CJNE A,#01101101B,LP_35
                      LJMP BUTTON_5
                      MOV 39H,#02H
                      LJMP BMA
LP_5:  CJNE A,#01101001B,LP_6
                      MOV A,22H          ;BUTTON 6
                      CJNE A,#01101001B,LP_35
                      LJMP BUTTON_6
LP_6:  CJNE A,#10101001B,LP_7
                      MOV A,22H          ;BUTTON 7
                      CJNE A,#01100101B,LP_35
                      LJMP BUTTON_7
LP_7:  CJNE A,#11101001B,LP_8
                      MOV A,22H          ;BUTTON 8
                      CJNE A,#01100001B,LP_14
                      LJMP BUTTON_8
LP_8:  CJNE A,#00101010B,LP_9
                      MOV A,22H          ;BUTTON 9
                      CJNE A,#01011101B,LP_14
                      MOV R3,#00000110B
                      LJMP BMA
LP_9:  CJNE A,#00101000B,LP_10
                      MOV A,22H          ;BUTTON
                      CJNE A,#01101001B,LP_14
                      LJMP PLAY
LP_10: CJNE A,#10100010B,LP_11
                      MOV A,22H          ;BUTTON PLAY
                      CJNE A,#11010101B,LP_14
                      LJMP PLAY
LP_11: CJNE A,#00100111B,LP_12
                      MOV A,22H          ;BUTTON
                      STOP
                      CJNE A,#10001101B,LP_14
                      LJMP STOP
LP_12: CJNE A,#00101100B,LP_13
                      MOV A,22H          ;BUTTON
                      VOL+
LP_13: CJNE A,#01101100B,LP_15
                      MOV A,22H          ;BUTTON
                      VOL-
                      CJNE A,#00111101B,LP_14
                      LJMP FAST
LP_14: CJNE A,#01101100B,LP_15
                      MOV A,22H          ;BUTTON

```

เอกสารนี้เป็นเอกสารที่สงวนไว้สำหรับการใช้งานเพื่อการศึกษาเท่านั้น ไม่อนุญาตให้นำไปใช้ประโยชน์ด้านการค้า
 ไม่สามารถนำข้อมูลไปเผยแพร่หรือใช้เพื่อวัตถุประสงค์อื่นได้โดยไม่ต้องแจ้งให้ทราบล่วงหน้า

```

LJMP SLOW
CJNE A,#11001101B,LP_14
LJMP REVERSE

LP_14: LJMP BMAIN

LP_15: CJNE A,#01100001B,LP_16
MOV A,22H ;BUTTON
SLEEP
CJNE A,#11101001B,LP_14
MOV R3,#00001111B
LJMP Y1M

LP_16: CJNE A,#01101111B,LP_17
MOV A,22H ;BUTTON
EJECT
CJNE A,#00001001B,LP_14
LJMP SOUND

LP_17: CJNE A,#00100100B,LP_18
MOV A,22H ;BUTTON
SET+
CJNE A,#10111101B,LP_14
LJMP RIGTH

LP_18: CJNE A,#00100010B,LP_19
MOV A,22H ;BUTTON
SET-
CJNE A,#11011101B,LP_14
LJMP LEFT

LP_19: CJNE A,#00100011B,LP_20
MOV A,22H ;BUTTON
REW

LP_20: CJNE A,#00100001B,LP_21
MOV A,22H ;BUTTON FF
CJNE A,#11101101B,LP_14
MOV R3,#0FFH
LJMP Y1M

LP_21: CJNE A,#10100110B,LP_22
MOV A,22H ;BUTTON REC
CJNE A,#10010101B,LP_14
MOV R3,#00001111B
LJMP Y1M

LP_22: CJNE A,#11100010B,LP_23
MOV A,22H ;BUTTON
STILL
CJNE A,#11010001B,LP_14
LJMP STILL

LP_23: CJNE A,#01100101B,LP_24
MOV A,22H ;BUTTON
MENU
CJNE A,#10101001B,LP_14
MOV R3,#00001111B
LJMP Y1M

LP_24: CJNE A,#10100001B,LP_25
MOV A,22H ;BUTTON
SELECT

```

```

CJNE A,#11100101B,LP_14
MOV R3,#00001111B
LJMP Y1M
MOV ACC.2,P0.2
MOV P0,A
LCALL DELAY
DJNZ 40H,WQE
LP_25: CJNE A,#11100011B,LP_26
MOV A,22H ;BUTTON
ADD
CJNE A,#111000001B,WQE
MOV R3,#0FH
LJMP Y1M
MOV A,#11111111B
MOV ACC.1,P0.1
MOV ACC.2,P0.2
MOV P0,A
LCALL DELAY
MOV 40H,#02H
LJMP WQE
LP_26: CJNE A,#00100101B,LP_27
MOV A,22H ;BUTTON
MEM
CJNE A,#10101101B,WQE
MOV R3,#0FH
LJMP Y1M
LP_29: CJNE A,#11101110B,LP_30
MOV A,22H ;BUTTON
SPEED
CJNE A,#00010001B,WQE
MOV R3,#0FH
LJMP Y1M
LP_27: CJNE A,#11101100B,CP_2
MOV A,22H ;BUTTON
MUTE
CJNE A,#00110001B,WQE
MOV R3,#0FH
LJMP Y1M
LP_30: CJNE A,#00101000B,WQE
MOV A,22H ;BUTTON
MONITER
CJNE A,#01111101B,WQE
MOV R3,#0FH
LJMP Y1M
CP_2: MOV A,20H
CJNE A,#01101111B,LP_29
MOV A,22H ;BUTTON +100
CJNE A,#00001001B,WQE
MOV A,#00000110B
MOV ACC.1,P0.1
WQE: LJMP BMAIN
MOV P0,#0FFH

```

เอกสารนี้เป็นเอกสารที่สงวนลิขสิทธิ์สำหรับการใช้งานเพื่อการศึกษาเท่านั้น ไม่อนุญาตให้นำไปใช้ประโยชน์ด้านการค้า
 Y1M: มิได้ๆ ทั้งสิ้น อีกทั้งห้ามมิให้ดัดแปลงเนื้อหาและต้องอ้างอิงถึง Y1M ทุกครั้งที่มีการนำไปใช้

```

MOV 20H,#00H          RET
MOV 21H,#00H          DELAY_1: MOV 2AH,#00H
MOV 22H,#00H          K_L:    MOV 2BH,#0BH
MOV 23H,#00H          K_J:    MOV 2CH,#08H
MOV 24H,#00H          K_O:    DJNZ 2CH,K_O
MOV 25H,#00H          DJNZ 2BH,K_J
LJMP BMAIN            DJNZ 2AH,K_L
                      RET
DELAY:  MOV 2AH,#00H  DELAY_3: MOV 2AH,#00H ;SOUND
H1G:    MOV 2BH,#0DH  VG:      MOV 2BH,#0DH
J1K:    MOV 2CH,#0AH  VK:      DJNZ 2BH,VK
K1L:    DJNZ 2CH,K1L  DJNZ 2AH,VG
          DJNZ 2BH,J1K  RET
          DJNZ 2AH,H1G  END.

```

ซึ่งโฟลว์ชาร์ตของการโปรแกรมภายใน MCS-51 แสดงไว้ในภาพที่ 3.8 ดังนั้นถ้าใช้ MCS-51 ที่ยังไม่ได้โปรแกรมจะไม่สามารถทำงานได้ตามนี้ เมื่อ MCS-51 ได้ถอดรหัสโค้ดแล้วจะส่งสัญญาณดิจิทัลไปที่ LED1-LED8 ให้ติด หรืออาจส่งสัญญาณไปขับสเต็ปมอเตอร์ หรืออาจนำสัญญาณไปควบคุม หน้าคอนแทกต์ของรีเลย์เพื่อนำไปต่อใช้ขับโหลด 220 โวลต์ อาจจะเป็นหลอดไฟ หรือ อุปกรณ์อื่นก็ได้

เอกสารนี้เป็นเอกสารที่สงวนไว้สำหรับการใช้งานเพื่อการศึกษาเท่านั้น ไม่อนุญาตให้นำไปใช้ประโยชน์ด้านการค้า ไม่ว่ากรณีใดๆ ทั้งสิ้น อีกทั้งห้ามมิให้ดัดแปลงเนื้อหาและต้องอ้างอิงถึงเจ้าของเอกสารทุกครั้งที่มีการนำไปใช้

บทที่ 4

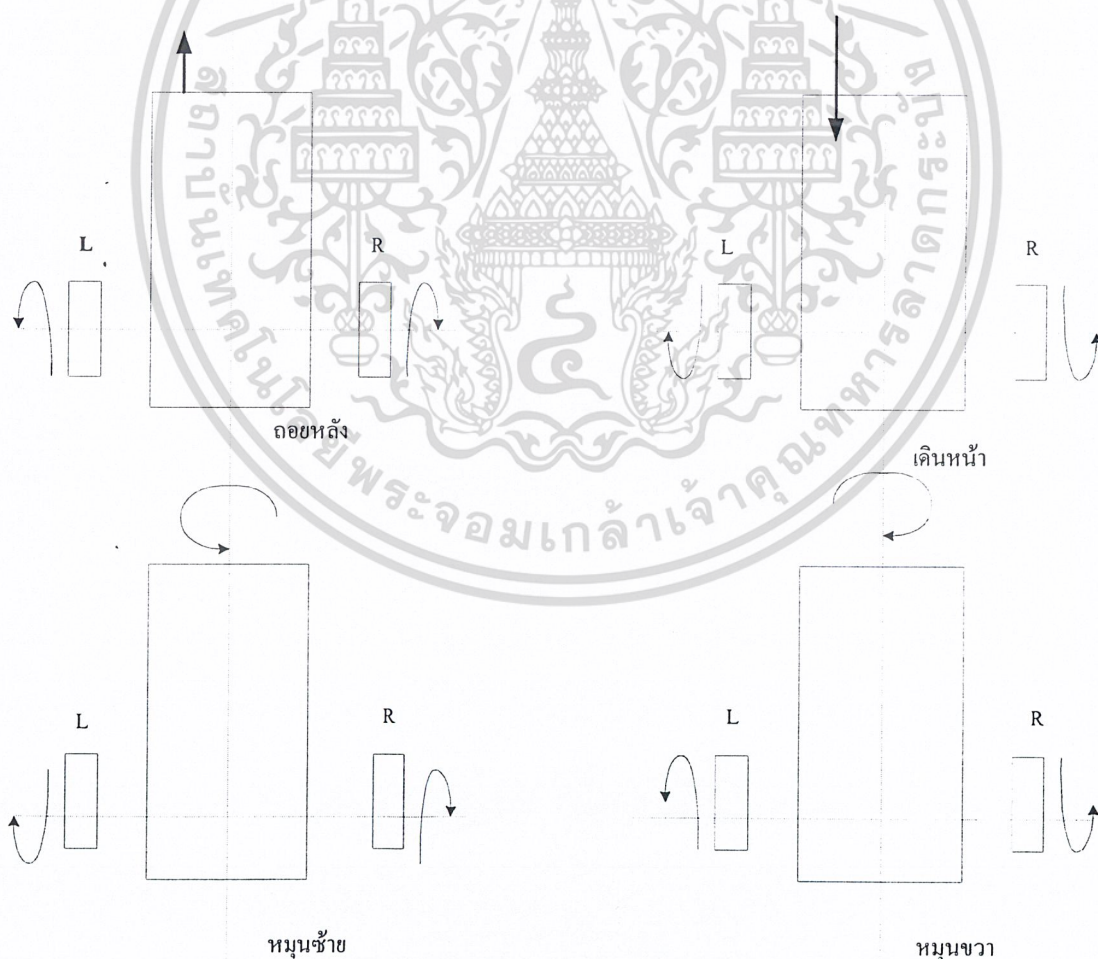
การออกแบบและการสร้างรถบังคับอินฟราเรด

4.1 กล่าวนำ

ในการออกแบบตัวรถจะใช้สแต็ปปีงมอเตอร์ เป็นตัวขับเคลื่อนตัวรถเนื่องจากสามารถใช้ไมโครคอนโทรลเลอร์ควบคุมการเคลื่อนที่ของรถได้ง่ายนอกจากนี้สแต็ปปีงมีความเที่ยงตรงในการที่จะให้รถเคลื่อนที่หรือหยุดรถและสามารถควบคุมความเร็วได้ง่าย

4.2 การออกแบบทางด้าน ระบบการขับเคลื่อนของตัวรถ

เป็นการทดลองเขียนโปรแกรม เพื่อควบคุมให้รถเคลื่อนที่ในทิศทางมาตรฐานเช่นเดินหน้า ถอยหลัง เลี้ยวซ้าย เลี้ยวขวา ถอยหลังซ้าย/ขวา หมุนตัวไปทางซ้ายหรือทางขวา และเคลื่อนที่ตามแผนที่ที่กำหนดในหน่วยความจำ



เอกสารนี้เป็นเอกสารที่สงวนไว้สำหรับครูใช้งานเพื่อการศึกษาเท่านั้น ไม่อนุญาตให้นำไปใช้ประโยชน์ด้านการค้า
ภาพที่ 4.1 ระบบการขับเคลื่อนของตัวรถ
ไม่ว่ากรณีใดๆ ทั้งสิ้น อีกทั้งห้ามมิให้ดัดแปลงเนื้อหาและต้องอ้างอิงถึงเจ้าของเอกสารทุกครั้งที่มีการนำไปใช้

บทที่ 5

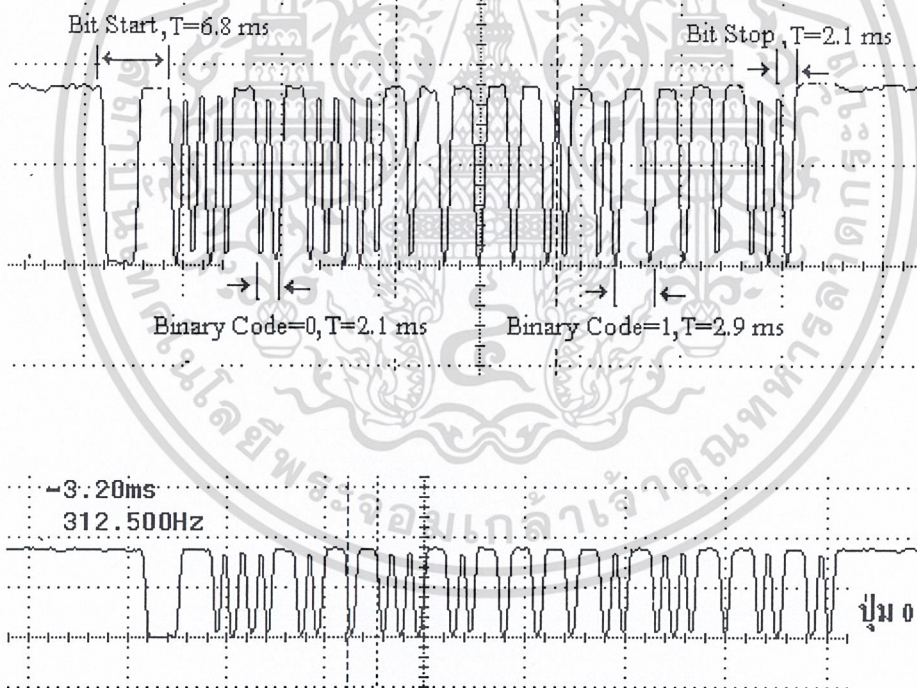
ผลการทดลอง

5.1 กล่าวนำ

ในการถอดรหัสสัญญาณจะมีข้อแตกต่างในเรื่องของรูปแบบของรูปสัญญาณจึงทำให้รหัสของสัญญาณมีความแตกต่างของสัญญาณด้วย

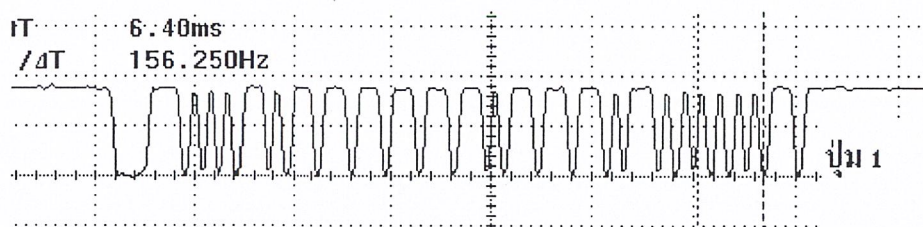
5.2 รูปการถอดรหัสสัญญาณ รีโมท

รูปสัญญาณที่ได้จากการถอดรหัสรีโมท จะมีลักษณะที่แตกต่างกันออกไป ขึ้นอยู่กับการออกแบบรหัสของตัวส่งตัวรับ แต่ในขบวนการ Binary Code จะมีรหัสที่คล้ายกันอยู่บ้าง เช่น รหัส 4 Bit นำหน้า (Leader Code) ดังรูป

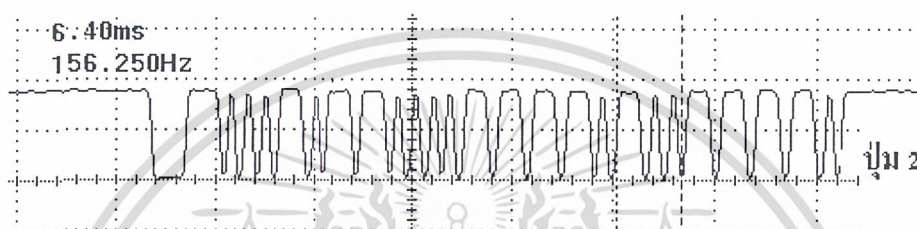


Binary Code = 00010110-01011110-10011010

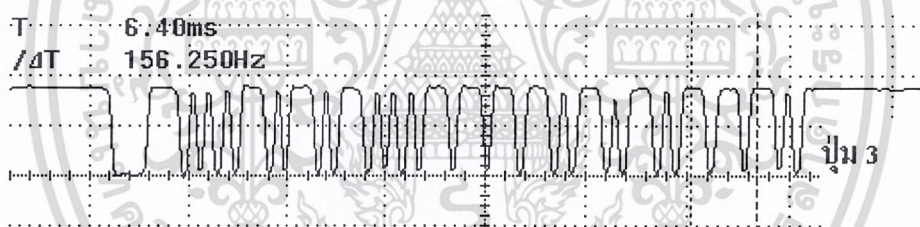
เอกสารนี้เป็นเอกสารที่สงวนไว้สำหรับการใช้งานเพื่อการศึกษาเท่านั้น ไม่อนุญาตให้นำไปใช้ประโยชน์ด้านการค้าไม่ว่ากรณีใดๆ ทั้งสิ้น อีกทั้งห้ามมิให้ดัดแปลงเนื้อหาและต้องอ้างอิงถึงเจ้าของเอกสารทุกครั้งที่มีการนำไปใช้



Binary Code = 00010111-11101110-10000001



Binary Code = 00010110-00011110-10011110



Binary Code = 00010101-00011110-10101110

ภาพที่ 5.1 แสดงผลการทดลอง

ฉะนั้นจะได้รหัส Binary ของรีโมท ทุกปุ่มที่ใช้คือ

-ปุ่ม Power Binary Code = 00010100-00011110-10111110

-ปุ่ม Eject Binary Code = 00010110-11111110-10010000

-ปุ่ม +100 Binary Code = 00110110-11111100-10010000

-ปุ่ม 0 Binary Code = 00010110-01011110-10011010

-ปุ่ม 1 Binary Code = 00010111-11101110-10000001

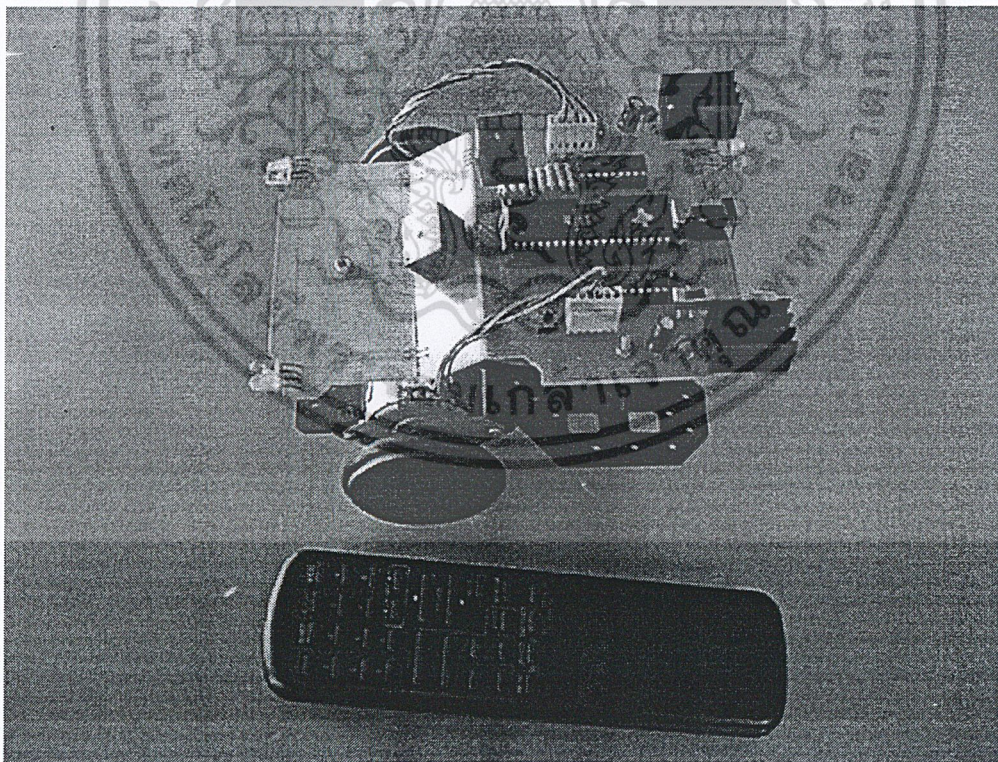
-ปุ่ม 2 Binary Code = 00010110-00011110-10011110

-ปุ่ม 3 Binary Code = 00010101-00011110-10101110

เอกสารนี้เป็นเอกสารที่สงวนลิขสิทธิ์สำหรับการใช้งานเพื่อการศึกษาเท่านั้น เมื่ออนุญาตให้นำไปใช้ประโยชน์ด้านการค้า
ไม่ว่ากรณีใดก็ตาม ผู้ใช้ต้องรับผิดชอบต่อเนื้อหาและข้อมูลของเอกสารทุกครั้งที่มีการนำไปใช้

| | |
|---------------------------|------------------------------|
| -ปุ่ม 4 Binary Code | = 00010111-00011110-10001110 |
| -ปุ่ม 5 Binary Code | = 00010100-10011110-10110110 |
| -ปุ่ม 6 Binary Code | = 00010110-10011110-10010110 |
| -ปุ่ม 7 Binary Code | = 00010101-10011110-10100110 |
| -ปุ่ม 8 Binary Code | = 00010111-10011110-10000110 |
| -ปุ่ม Volume+ Binary Code | = 00010100-00111110-10111100 |
| -ปุ่ม Volume- Binary Code | = 00010110-01111100-10011100 |
| -ปุ่ม Stop Binary Code | = 00010100-11101110-10110001 |
| -ปุ่ม Play Binary Code | = 00010101-01001110-10101011 |
| -ปุ่ม CH+ Binary Code | = 00010100-00101110-10111101 |
| -ปุ่ม CH- Binary Code | = 00010100-01001110-10111011 |
| -ปุ่ม Rew Binary Code | = 00010100-11001110-10110011 |
| -ปุ่ม FF Binary Code | = 00010100-10001110-10110111 |

5.3 แสดงชิ้นงานรูปของตัวรถ



เอกสารนี้เป็นเอกสารที่สงวนไว้สำหรับการใช้งานเพื่อการศึกษาเท่านั้น ไม่อนุญาตให้นำไปใช้ประโยชน์ด้านการค้า
 ไม่ว่ากรณีใดๆ ทั้งสิ้น อีกทั้งห้ามมิให้ดัดแปลงเนื้อหา และต้องยกย่องถึงเจ้าของเอกสารทุกครั้งที่มีการนำไปใช้

ภาพที่ 5.2 แสดงชิ้นงานสำเร็จ

5.4 สรุปผลการทดลอง

จากการทดลองถอดรหัสสัญญาณไบนารี จากริโมทอินฟราเรดทำให้ทราบถึงลักษณะของรูปสัญญาณแต่ละปุ่มโดยใน 1 รูปสัญญาณจะมีรหัสสัญญาณอยู่ 24 บิต จำนวนบิตของสัญญาณจะบ่งบอกถึงความละเอียด ความเที่ยงตรงของการส่งสัญญาณกล่าวคือถ้ามีจำนวนบิตมากจะมีความแม่นยำในการรับส่งสูงถ้ามีจำนวนบิตน้อย จะ ทำให้มีความแม่นยำในการรับส่งต่ำ ก่อนที่จะส่งรหัสไบนารีจะต้องนำสัญญาณด้วยบิต Start และสิ้นสุดการส่งสัญญาณด้วยบิต Stop ทุกปุ่ม



เอกสารนี้เป็นเอกสารที่สงวนไว้สำหรับการใช้งานเพื่อการศึกษาเท่านั้น ไม่อนุญาตให้นำไปใช้ประโยชน์ด้านการค้าไม่ว่ากรณีใดๆ ทั้งสิ้น อีกทั้งห้ามมิให้ดัดแปลงเนื้อหาและต้องอ้างอิงถึงเจ้าของเอกสารทุกครั้งที่มีการนำไปใช้

บทที่ 6

สรุปผลการวิจัยและข้อเสนอแนะ

6.1 บทสรุป

หลักการงานและออกแบบรีโมทคอนโทรลแบบทุกชนิด ล้วนมีพื้นฐานในการทำงานเดียวกันทั้งสิ้น ไม่ว่าจะเป็นการควบคุมโดยตรงด้วยสายไฟ การควบคุมโดยตรงกันทั้งสิ้น ไม่ว่าจะเป็นการควบคุมโดยตรงด้วยสายไฟ การควบคุมแบบไร้สายที่ใช้คลื่นวิทยุหรือคลื่นแสงตลอดจนการควบคุมผ่านทางสายไฟฟ้าภายในบ้าน เพียงแต่ใช้ชุดวงจรรับส่งสัญญาณควบคุมหรือคลื่นพาห้ที่แตกต่างกันเท่านั้น ในการออกแบบระบบจริงไว้ใช้งาน ควรกำหนดรูปแบบของระบบคร่าว ๆ ไว้ก่อน เช่น ต้องการควบคุมฟังก์ชันการทำงานของอุปกรณ์อะไรบ้าง สัญญาณควบคุมเป็นแบบไหน (ดิจิตอล, อนาล็อก, พัลส์เดี่ยว ฯลฯ) ตัวกลางนำสัญญาณเป็นอะไร (มีสาย, ไร้สาย, อินฟราเรด ฯลฯ) รูปแบบของรหัสสัญญาณ (อนุกรมพัลส์, พีพีเอ็ม ฯลฯ) เหล่านี้เป็นต้น

6.2 ข้อเสนอแนะและแก้ไข

ข้อแนะนำเกี่ยวกับการเลือกใช้ไอซี อาจได้แก่ไอซีเบอร์ต่างๆ ดังต่อไปนี้

วงจรเข้ารหัส : PC1373, SL 486

วงจรรับแสง : μ PC1373, SL486

วงจรถอดรหัสและควบคุม : MS8485P, ML920, ML926/7, ML922, CD4514, CD4515, CD4013, CD4028, 7477, 7422, 7415, 7425

ไอซีเหล่านี้เป็นเพียงส่วนหนึ่งของไอซีที่อาจนำมาใช้งานได้ ซึ่งต้องมีการเลือกใช้ให้เหมาะสมทั้งระบบด้วย

6.3 แนวทางพัฒนา

ในการที่จะนำระบบอินฟราเรดไปใช้งานควรทำการออกแบบตัวส่งสัญญาณโดยให้จำนวนบิตในการเข้ารหัส สูงหรือจำนวนมาก เพื่อที่จะทำให้มีความแม่นยำ ในการรับส่งสูงในส่วนของสเต็ปิงมอเตอร์ควรใช้สเต็ปิงมอเตอร์ที่มีขนาดใหญ่หรือรับกระแสได้มาก เมื่อต้องการที่จะออกแบบตัวรับให้ใหญ่ขึ้นเพื่อที่จะรับน้ำหนักได้มากขึ้น ในส่วนของวงจรขับสเต็ปิงมอเตอร์ควรจะใช้ทรานซิสเตอร์ หรือ FET แทน IC เพราะในทรานซิสเตอร์หรือ FET สามารถติด Heatzing เพื่อระบายความร้อนได้ดีกว่า IC

เอกสารนี้เป็นเอกสารที่สงวนไว้สำหรับการใช้งานเพื่อการศึกษาเท่านั้น ไม่อนุญาตให้นำไปใช้ประโยชน์ด้านการค้า ไม่ว่าจะกรณีใดๆ ทั้งสิ้น อีกทั้งห้ามมิให้ดัดแปลงเนื้อหาและต้องอ้างอิงถึงเจ้าของเอกสารทุกครั้งที่มีการนำไปใช้

บรรณานุกรม

วรพจน์ กรแก้ววัฒนกุล เรียนรู้และปฏิบัติการไมโครคอนโทรลเลอร์.
 กรุงเทพมหานคร:บริษัท อินโนเวตีฟ เอ็กเพอริเมนต์
 สมยศ จุณณะปิยะ การประยุกต์ใช้ไมโครคอนโทรลเลอร์.
 สถาบันเทคโนโลยีพระจอมเกล้าเจ้าคุณทหารลาดกระบัง:ภาควิชาวิศวกรรมโทรคมนาคม



เอกสารนี้เป็นเอกสารที่สงวนไว้สำหรับการใช้งานเพื่อการศึกษาเท่านั้น ไม่อนุญาตให้นำไปใช้ประโยชน์ด้านการค้า
 ไม่ว่ากรณีใดๆ ทั้งสิ้น อีกทั้งห้ามมิให้ดัดแปลงเนื้อหาและต้องอ้างอิงถึงเจ้าของเอกสารทุกครั้งที่มีการนำไปใช้



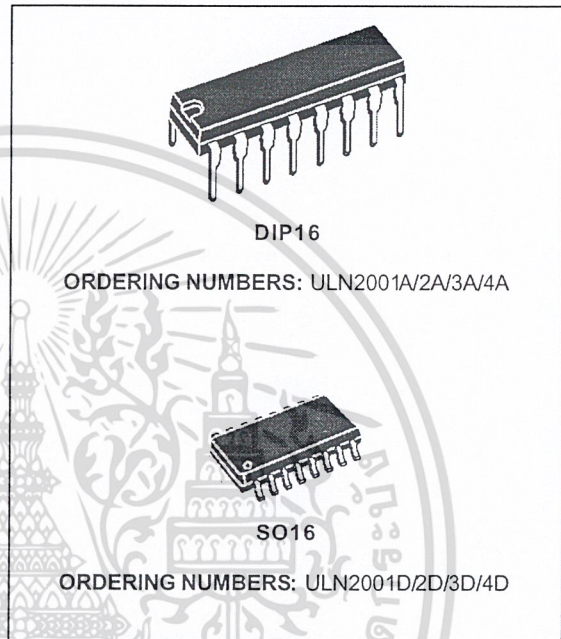
เอกสารนี้เป็นเอกสารที่สงวนไว้สำหรับการใช้งานเพื่อการศึกษาเท่านั้น ไม่อนุญาตให้นำไปใช้ประโยชน์ด้านการค้า
ไม่ว่ากรณีใดๆ ทั้งสิ้น อีกทั้งห้ามมิให้ดัดแปลงเนื้อหาและต้องอ้างอิงถึงเจ้าของเอกสารทุกครั้งที่มีการนำไปใช้



ULN2001A-ULN2002A ULN2003A-ULN2004A

SEVEN DARLINGTON ARRAYS

- SEVEN DARLINGTONS PER PACKAGE
- OUTPUT CURRENT 500mA PER DRIVER (600mA PEAK)
- OUTPUT VOLTAGE 50V
- INTEGRATED SUPPRESSION DIODES FOR INDUCTIVE LOADS
- OUTPUTS CAN BE PARALLELED FOR HIGHER CURRENT
- TTL/CMOS/PMOS/DTL COMPATIBLE INPUTS
- INPUTS PINNED OPPOSITE OUTPUTS TO SIMPLIFY LAYOUT



DESCRIPTION

The ULN2001A, ULN2002A, ULN2003 and ULN2004A are high voltage, high current darlington arrays each containing seven open collector darlington pairs with common emitters. Each channel rated at 500mA and can withstand peak currents of 600mA. Suppression diodes are included for inductive load driving and the inputs are pinned opposite the outputs to simplify board layout.

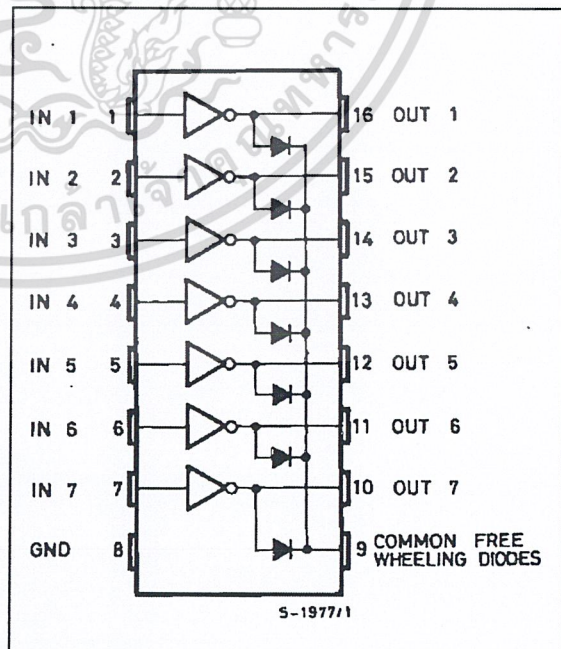
The four versions interface to all common logic families:

| | |
|----------|---------------------------------------|
| ULN2001A | General Purpose, DTL, TTL, PMOS, CMOS |
| ULN2002A | 14-25V PMOS |
| ULN2003A | 5V TTL, CMOS |
| ULN2004A | 6-15V CMOS, PMOS |

These versatile devices are useful for driving a wide range of loads including solenoids, relays DC motors, LED displays filament lamps, thermal print-heads and high power buffers.

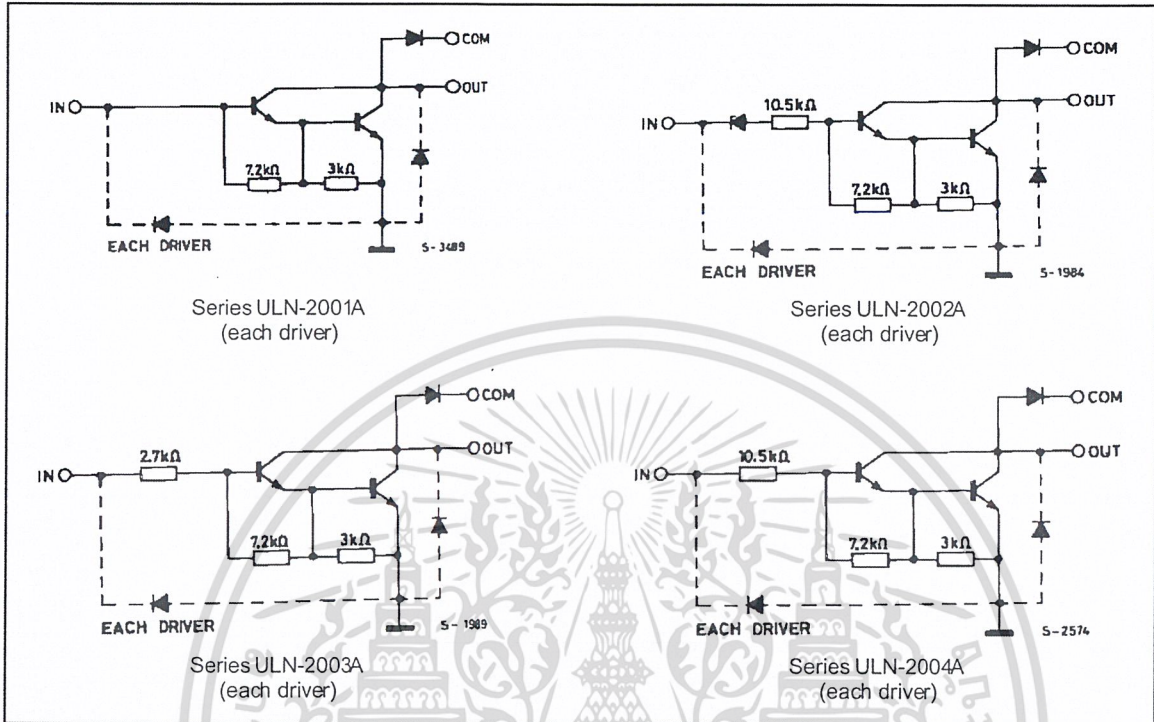
The ULN2001A/2002A/2003A and 2004A are supplied in 16 pin plastic DIP packages with a copper leadframe to reduce thermal resistance. They are available also in small outline package (SO-16) as ULN2001D/2002D/2003D/2004D.

PIN CONNECTION



ULN2001A - ULN2002A - ULN2003A - ULN2004A

SCHEMATIC DIAGRAM



ABSOLUTE MAXIMUM RATINGS

| Symbol | Parameter | Value | Unit |
|-----------|--|-------------|------|
| V_o | Output Voltage | 50 | V |
| V_{in} | Input Voltage (for ULN2002A/D - 2003A/D - 2004A/D) | 30 | V |
| I_c | Continuous Collector Current | 500 | mA |
| I_b | Continuous Base Current | 25 | mA |
| T_{amb} | Operating Ambient Temperature Range | - 20 to 85 | °C |
| T_{stg} | Storage Temperature Range | - 55 to 150 | °C |
| T_j | Junction Temperature | 150 | °C |

THERMAL DATA

| Symbol | Parameter | DIP16 | SO16 | Unit |
|----------------|-------------------------------------|---------|------|------|
| $R_{th j-amb}$ | Thermal Resistance Junction-ambient | Max. 70 | 100 | °C/W |

ULN2001A - ULN2002A - ULN2003A - ULN2004A

ELECTRICAL CHARACTERISTICS (T_{amb} = 25°C unless otherwise specified)

| Symbol | Parameter | Test Conditions | Min. | Typ. | Max. | Unit | Fig. | |
|------------------------|--------------------------------------|---|------|------|-----------|----------|----------|---|
| I _{CEX} | Output Leakage Current | V _{CE} = 50V T _{amb} = 70°C, V _{CE} = 50V | | | 50 100 | μA μA | 1a 1a | |
| | | T _{amb} = 70°C for ULN2002A V _{CE} = 50V, V _i = 6V | | | 500 | μA | 1b | |
| | | for ULN2004A V _{CE} = 50V, V _i = 1V | | | 500 | μA | 1b | |
| V _{CE(sat)} | Collector-emitter Saturation Voltage | I _C = 100mA, I _B = 250μA | | 0.9 | 1.1 | V | 2 | |
| | | I _C = 200 mA, I _B = 350μA | | 1.1 | 1.3 | V | 2 | |
| | | I _C = 350mA, I _B = 500μA | | 1.3 | 1.6 | V | 2 | |
| I _{i(on)} | Input Current | for ULN2002A, V _i = 17V | | 0.82 | 1.25 | mA | 3 | |
| | | for ULN2003A, V _i = 3.85V | | 0.93 | 1.35 | mA | 3 | |
| | | for ULN2004A, V _i = 5V | | 0.35 | 0.5 | mA | 3 | |
| | | V _i = 12V | | 1 | 1.45 | mA | 3 | |
| I _{i(off)} | Input Current | T _{amb} = 70°C, I _C = 500μA | 50 | 65 | | μA | 4 | |
| V _{i(on)} | Input Voltage | V _{CE} = 2V for ULN2002A | | | | | V | 5 |
| | | I _C = 300mA for ULN2003A | | | 13 | | | |
| | | I _C = 200mA | | | 2.4 | | | |
| | | I _C = 250mA | | | 2.7 | | | |
| | | I _C = 300mA for ULN2004A | | | 3 | | | |
| | | I _C = 125mA | | | 5 | | | |
| | | I _C = 200mA | | | 6 | | | |
| | | I _C = 275mA | | | 7 | | | |
| I _C = 350mA | | | 8 | | | | | |
| h _{FE} | DC Forward Current Gain | for ULN2001A V _{CE} = 2V, I _C = 350mA | 1000 | | | | | 2 |
| C _i | Input Capacitance | | | 15 | 25 | pF | | |
| t _{PLH} | Turn-on Delay Time | 0.5 V _i to 0.5 V _o | | 0.25 | 1 | μs | | |
| t _{PHL} | Turn-off Delay Time | 0.5 V _i to 0.5 V _o | | 0.25 | 1 | μs | | |
| I _R | Clamp Diode Leakage Current | V _R = 50V | | | 50 | μA | 6 | |
| | | T _{amb} = 70°C, V _R = 50V | | | 100 | μA | 6 | |
| V _F | Clamp Diode Forward Voltage | I _F = 350mA | | 1.7 | 2 | V | 7 | |

TEST CIRCUITS

Figure 1a.

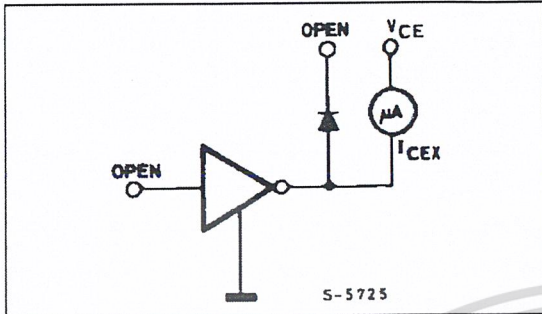


Figure 1b.

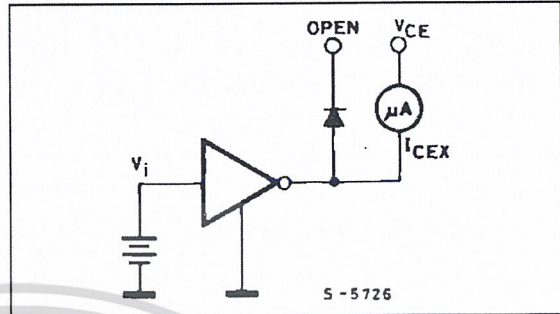


Figure 2.

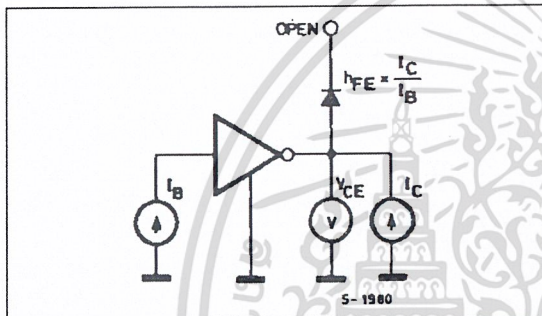


Figure 3.

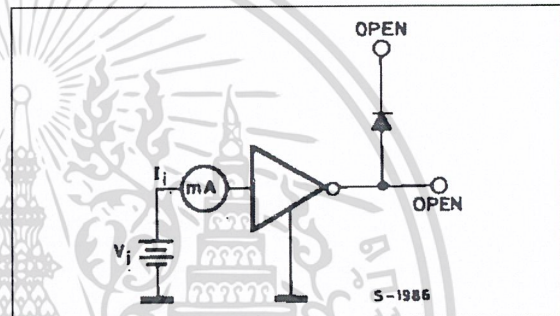


Figure 4.

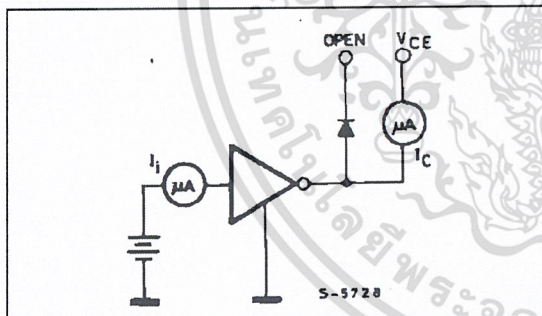


Figure 5.

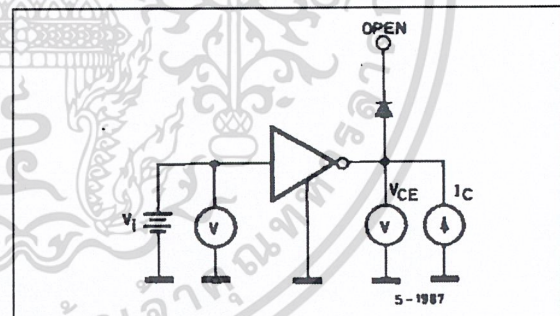


Figure 6.

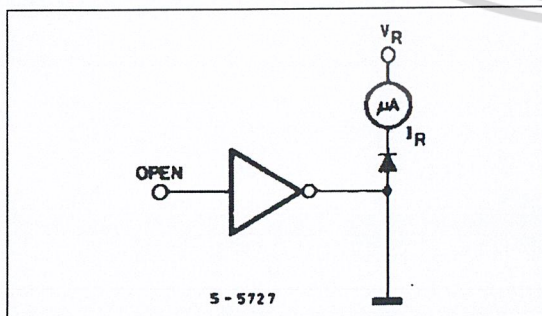


Figure 7.

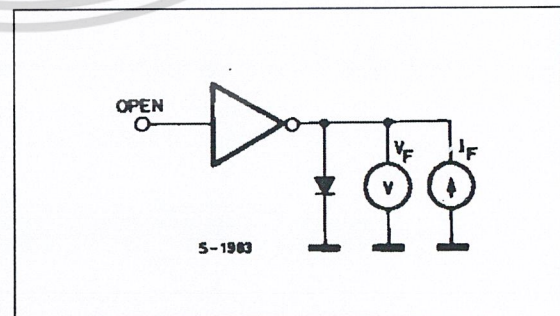


Figure 8: Collector Current versus Input Current

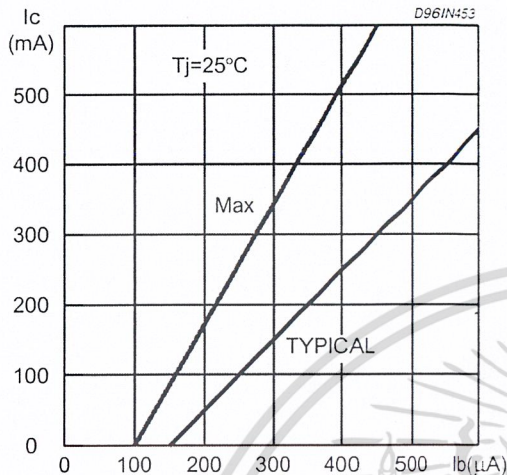


Figure 9: Collector Current versus Saturation Voltage

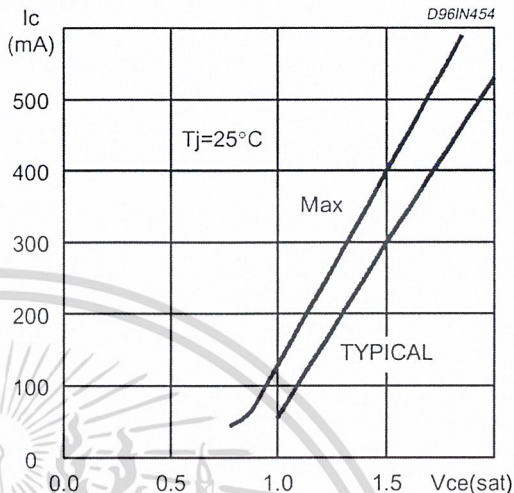


Figure 10: Peak Collector Current versus Duty Cycle

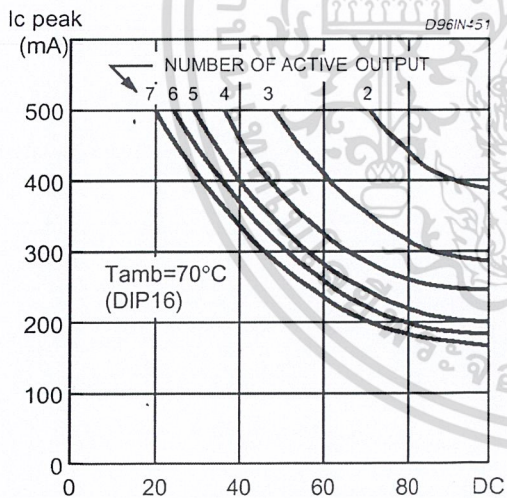
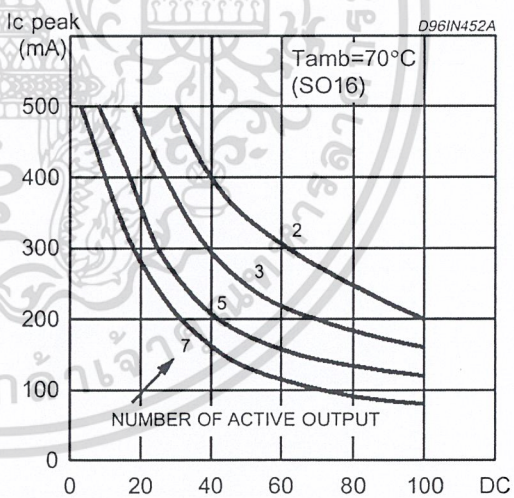


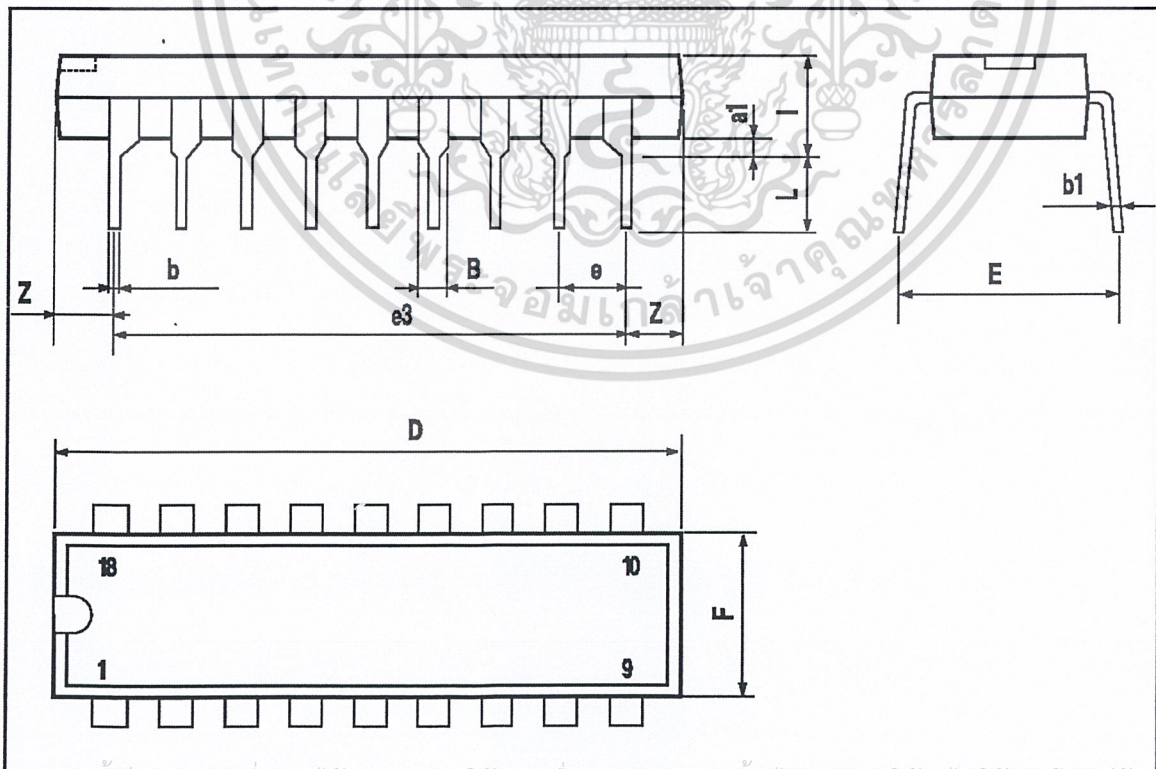
Figure 11: Peak Collector Current versus Duty Cycle



ULN2001A - ULN2002A - ULN2003A - ULN2004A

DIP16 PACKAGE MECHANICAL DATA

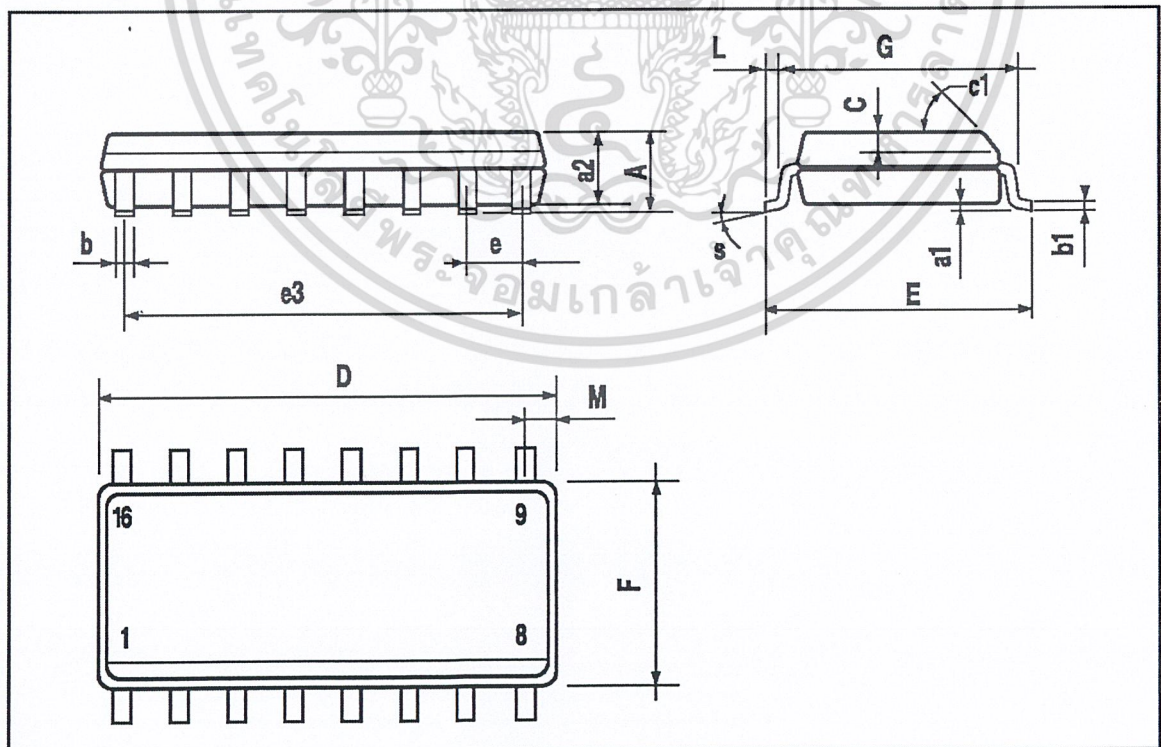
| DIM. | mm | | | inch | | |
|------|------|-------|------|-------|-------|-------|
| | MIN. | TYP. | MAX. | MIN. | TYP. | MAX. |
| a1 | 0.51 | | | 0.020 | | |
| B | 0.77 | | 1.65 | 0.030 | | 0.065 |
| b | | 0.5 | | | 0.020 | |
| b1 | | 0.25 | | | 0.010 | |
| D | | | 20 | | | 0.787 |
| E | | 8.5 | | | 0.335 | |
| e | | 2.54 | | | 0.100 | |
| e3 | | 17.78 | | | 0.700 | |
| F | | | 7.1 | | | 0.280 |
| I | | | 5.1 | | | 0.201 |
| L | | 3.3 | | | 0.130 | |
| Z | | | 1.27 | | | 0.050 |



ULN2001A - ULN2002A - ULN2003A - ULN2004A

SO16 PACKAGE MECHANICAL DATA

| DIM. | mm | | | inch | | |
|------|-----------|------|------|-------|-------|-------|
| | MIN. | TYP. | MAX. | MIN. | TYP. | MAX. |
| A | | | 1.75 | | | 0.069 |
| a1 | 0.1 | | 0.25 | 0.004 | | 0.009 |
| a2 | | | 1.6 | | | 0.063 |
| b | 0.35 | | 0.46 | 0.014 | | 0.018 |
| b1 | 0.19 | | 0.25 | 0.007 | | 0.010 |
| C | | 0.5 | | | 0.020 | |
| c1 | 45 (typ.) | | | | | |
| D | 9.8 | | 10 | 0.386 | | 0.394 |
| E | 5.8 | | 6.2 | 0.228 | | 0.244 |
| e | | 1.27 | | | 0.050 | |
| e3 | | 8.89 | | | 0.350 | |
| F | 3.8 | | 4.0 | 0.150 | | 0.157 |
| L | 0.4 | | 1.27 | 0.016 | | 0.050 |
| M | | | 0.62 | | | 0.024 |
| S | 8 (max.) | | | | | |



เอกสารนี้เป็นเอกสารที่สงวนไว้สำหรับการใช้งานเพื่อการศึกษาเท่านั้น ไม่อนุญาตให้นำไปใช้ประโยชน์ด้าน 7/8 ราคา
 ไม่ว่ากรณีใดๆ ทั้งสิ้น อีกทั้งห้ามมิให้ดัดแปลงเนื้อหาและต้องอ้างอิงถึงเจ้าของเอกสารทุกครั้งที่มีการนำไปใช้



Information furnished is believed to be accurate and reliable. However, STMicroelectronics assumes no responsibility for the consequences of use of such information nor for any infringement of patents or other rights of third parties which may result from its use. No license is granted by implication or otherwise under any patent or patent rights of STMicroelectronics. Specification mentioned in this publication are subject to change without notice. This publication supersedes and replaces all information previously supplied. STMicroelectronics products are not authorized for use as critical components in life support devices or systems without express written approval of STMicroelectronics.

The ST logo is a registered trademark of STMicroelectronics
© 1998 STMicroelectronics - Printed in Italy - All Rights Reserved
STMicroelectronics GROUP OF COMPANIES

Australia - Brazil - Canada - China - France - Germany - Italy - Japan - Korea - Malaysia - Malta - Mexico - Morocco - The Netherlands - Singapore - Spain - Sweden - Switzerland - Taiwan - Thailand - United Kingdom - U.S.A.


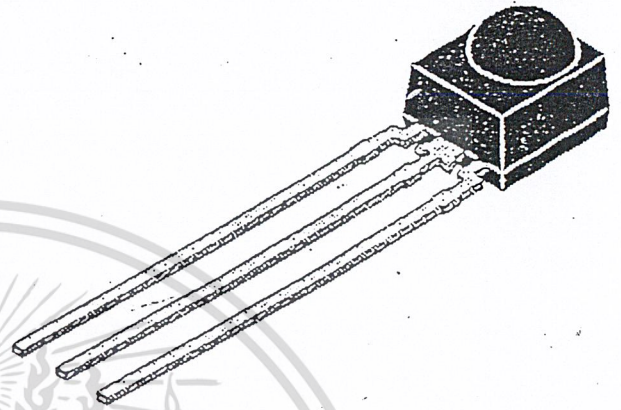
เอกสารนี้เป็นเอกสารที่สงวนไว้สำหรับการใช้งานเพื่อการศึกษาเท่านั้น ไม่อนุญาตให้นำไปใช้ประโยชน์  คำ
ไม่ว่ากรณีใดๆ ทั้งสิ้น อีกทั้งห้ามมิให้ดัดแปลงเนื้อหาและต้องอ้างอิงถึงเจ้าของเอกสารทุกครั้งที่มีการนำไปใช้

Photo Modules for PCM Remote Control Systems

Available types for different carrier frequencies

| Type | f _c | Type | f _c |
|----------|----------------|----------|----------------|
| TSOP1830 | 30 kHz | TSOP1833 | 33 kHz |
| TSOP1836 | 36 kHz | TSOP1837 | 36.7 kHz |
| TSOP1838 | 38 kHz | TSOP1840 | 40 kHz |
| TSOP1856 | 56 kHz | | |



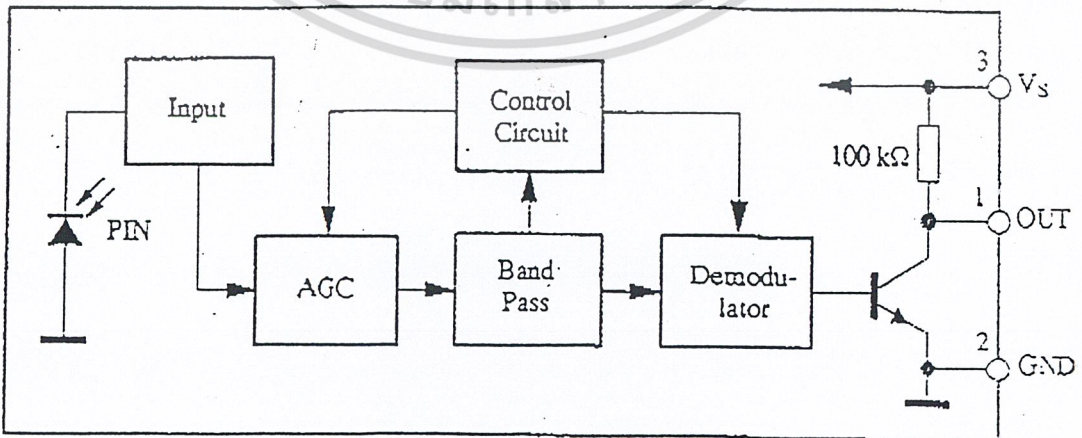
Description

The TSOP18.. - series are miniaturized receivers for infrared remote control systems. PIN diode and preamplifier are assembled on lead frame, the epoxy package is designed as IR filter. The demodulated output signal can directly be decoded by a microprocessor. The main benefit is the reliable function even in disturbed ambient and the protection against uncontrolled output pulses.

Features

- Photo detector and preamplifier in one package
- Output active low
- Internal filter for PCM frequency
- Advanced immunity against ambient light
- Improved shielding against electric field disturbance
- 3-6 Volt supply voltage, low power consumption
- TTL and CMOS compatibility
- Intelligent AGC

Block Diagram



เอกสารนี้เป็นเอกสารที่สงวนไว้สำหรับการใช้งานเพื่อการศึกษาเท่านั้น ไม่อนุญาตให้นำไปใช้ประโยชน์ด้านการค้า
ไม่ว่ากรณีใดๆ ทั้งสิ้น อีกหนึ่งท่านที่ให้อดบเลงเนื้อหาและต้องอ้างอิงถึงเจ้าของเอกสารทุกครั้งที่มีการนำไปใช้

TSOP18..

Absolute Maximum Ratings

$T_{amb} = 25^{\circ}\text{C}$

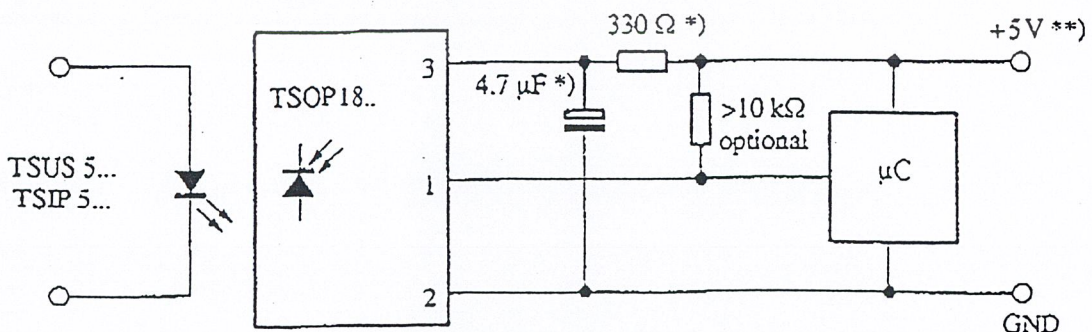
| Parameter | Test Conditions | Symbol | Value | Unit |
|-----------------------------|---------------------------------------|-----------|------------|--------------------|
| Supply Voltage | (Pin 3) | V_S | -0.3...6.0 | V |
| Supply Current | (Pin 3) | I_S | 5 | mA |
| Output Voltage | (Pin 1) | V_O | -0.3...6.0 | V |
| Output Current | (Pin 1) | I_O | 5 | mA |
| Junction Temperature | | T_j | 100 | $^{\circ}\text{C}$ |
| Storage Temperature Range | | T_{sta} | -25...+85 | $^{\circ}\text{C}$ |
| Operating Temperature Range | | T_{amb} | -25...+85 | $^{\circ}\text{C}$ |
| Power Consumption | ($T_{amb} \leq 85^{\circ}\text{C}$) | P_{tot} | 50 | mW |
| Soldering Temperature | $t \leq 10$ s, 1 mm from case | T_{sd} | 260 | $^{\circ}\text{C}$ |

Basic Characteristics

$T_{amb} = 25^{\circ}\text{C}$

| Parameter | Test Conditions | Symbol | Min | Typ | Max | Unit |
|----------------------------|--|-----------------|-----|----------|-----|-------------------|
| Supply Current (Pin 3) | $V_S = 5$ V, $E_v = 0$ | I_{SD} | 0.9 | 1.2 | 1.8 | mA |
| | $V_S = 5$ V, $E_v = 40$ klx, sunlight | I_{SH} | | 1.6 | | mA |
| Transmission Distance | $E_v = 0$, test signal see fig. 8. IR diode TSIP5201, $I_F = 300$ mA | d | | 30 | | m |
| Output Voltage Low (Pin 1) | $I_{OSL} = 0.5$ mA, $E_c = 0.7$ mW/m ² , $f = f_o$ | V_{OSL} | | | 250 | mV |
| Irradiance (30 - 40 kHz) | Pulse width tolerance: $t_{pi} - 5/f_o < t_{po} < t_{pi} + 5/f_o$, test signal (see fig. 8) | $E_{c\ min}$ | | 0.4 | 0.5 | mW/m ² |
| Irradiance (56 kHz) | Pulse width tolerance: $t_{pi} - 5/f_o < t_{po} < t_{pi} + 5/f_o$, test signal (see fig. 8) | $E_{c\ min}$ | | 0.5 | 0.7 | mW/m ² |
| Irradiance | | $E_{c\ max}$ | 30 | | | W/m ² |
| Directivity | Angle of half transmission distance | $\varphi_{1/2}$ | | ± 45 | | deg |

Application Circuit



9612212

*) only necessary to suppress power supply disturbances

**) tolerated supply voltage range : $3\text{V} < V_S < 6\text{V}$

เอกสารนี้เป็นเอกสารที่สงวนไว้สำหรับการใช้งานเท่านั้น การนำเอกสารนี้ไปใช้โดยไม่ได้รับอนุญาตจากผู้ผลิตจะถือว่าผิดกฎหมาย
ไม่ว่ากรณีใดๆ ทั้งสิ้น อีกทั้งห้ามมิให้ดัดแปลงเนื้อหาและต้องอ้างอิงถึงเจ้าของเอกสารทุกครั้งที่มีการนำไปใช้

Typical Characteristics ($T_{amb} = 25^{\circ}\text{C}$ unless otherwise specified)

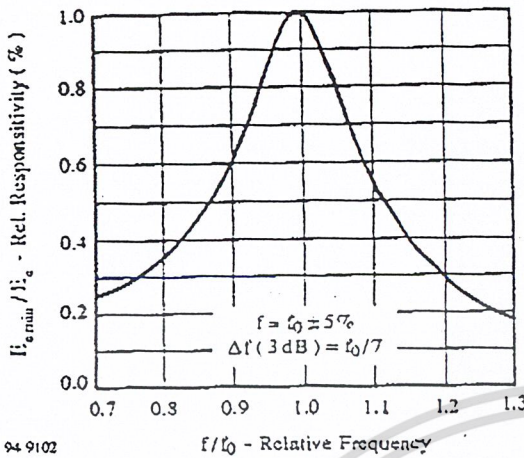


Figure 1. Frequency Dependence of Responsivity

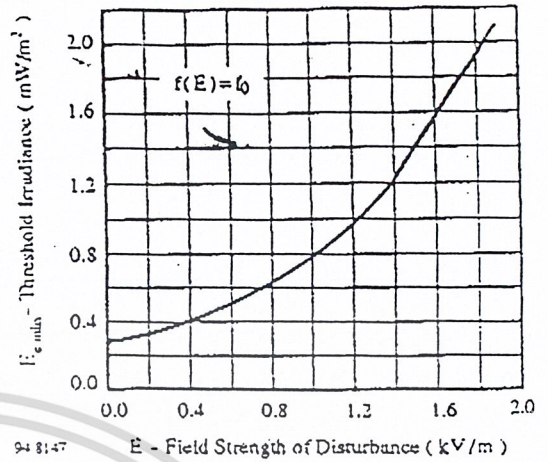


Figure 4. Sensitivity vs. Electric Field Disturbances

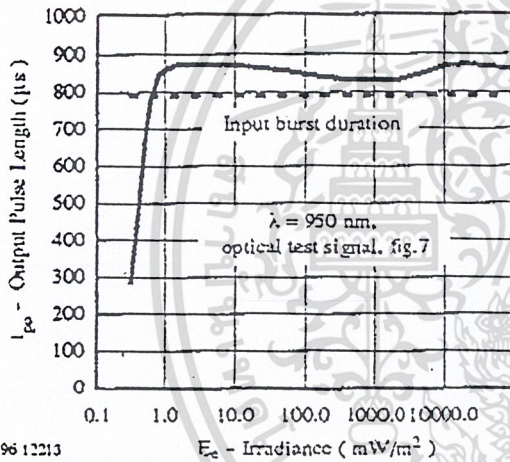


Figure 2. Sensitivity in Dark Ambient

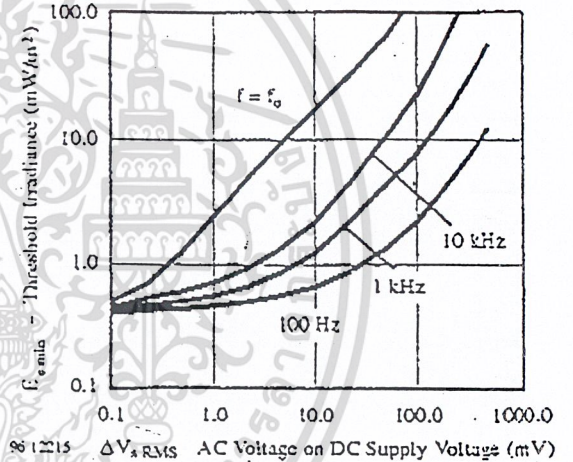


Figure 5. Sensitivity vs. Supply Voltage Disturbances

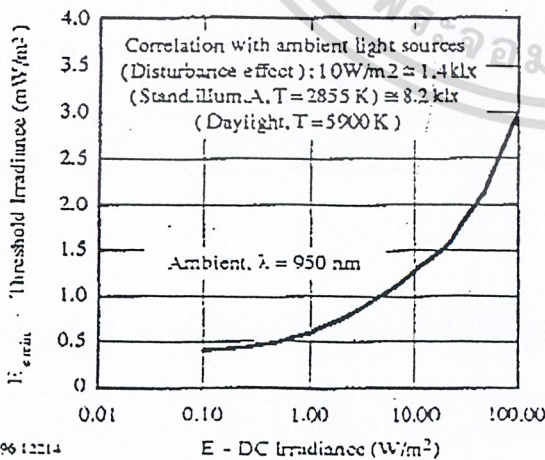


Figure 3. Sensitivity in Bright Ambient

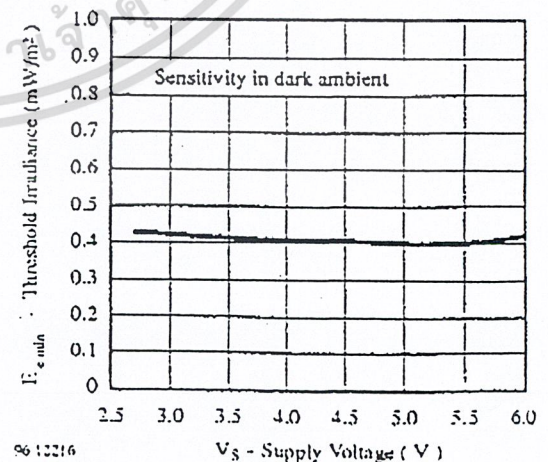


Figure 6. Sensitivity vs. Supply Voltage

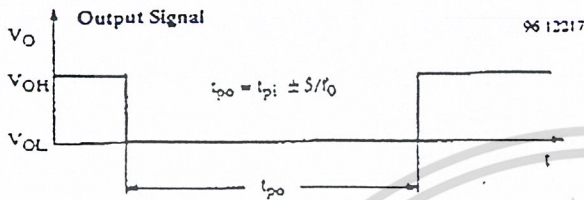
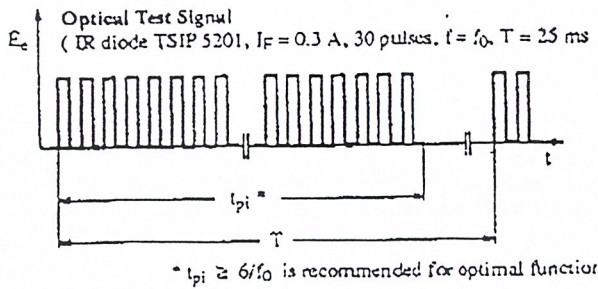


Figure 7. Output Function

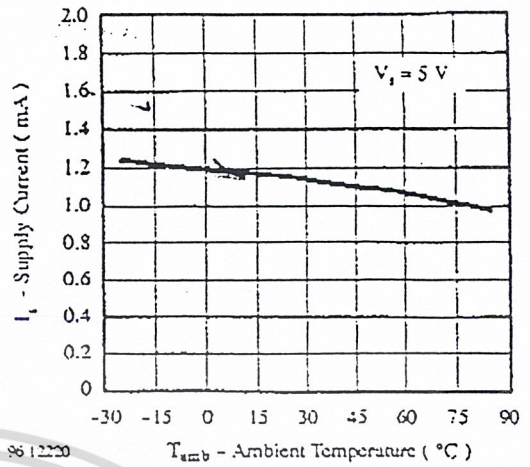


Figure 10. Supply Current vs. Ambient Temperature

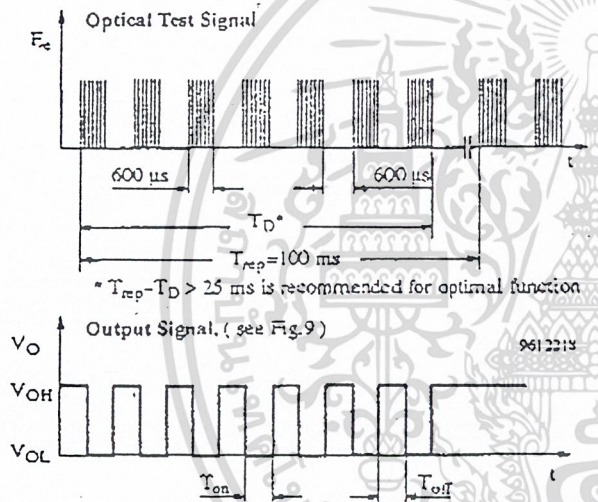


Figure 8. Output Function

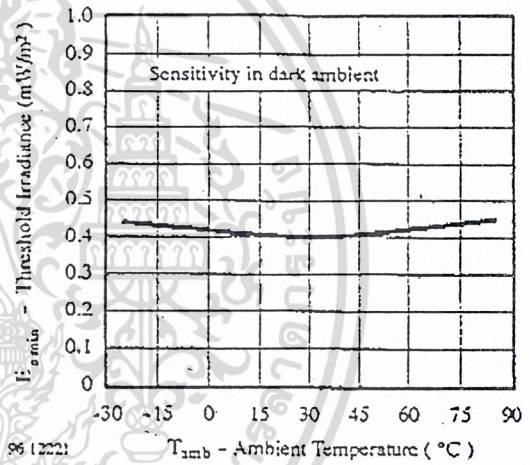


Figure 11. Sensitivity vs. Ambient Temperature

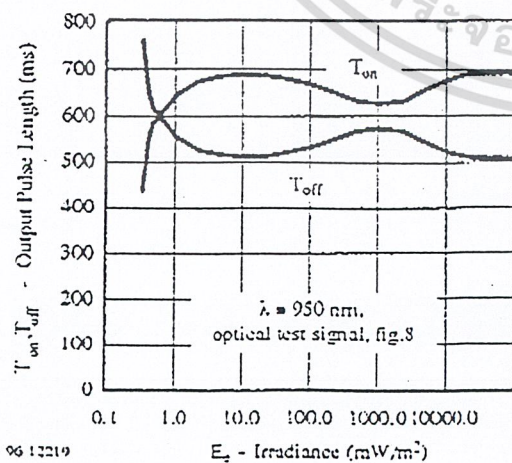


Figure 9. Output Pulse Diagram

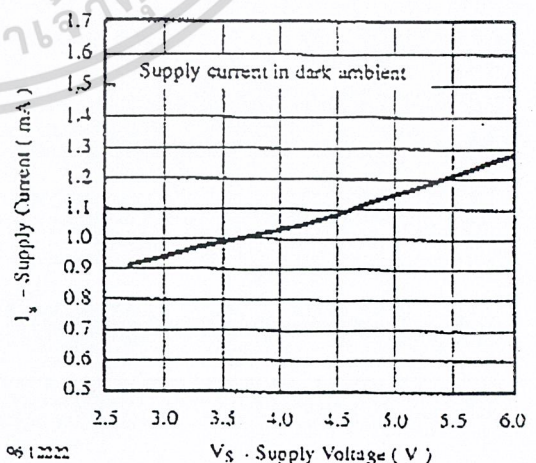
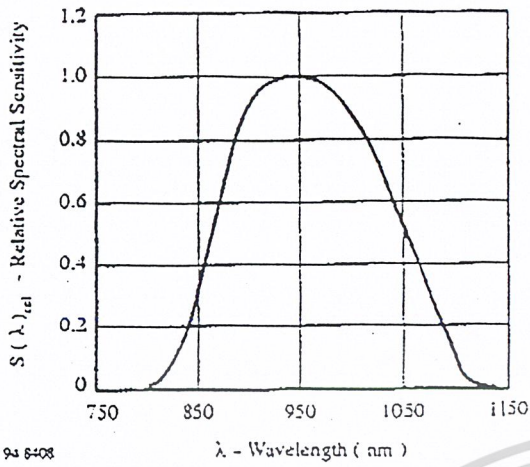
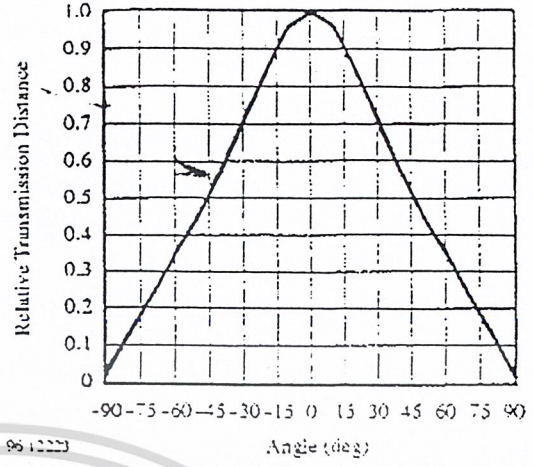


Figure 12. Supply Current vs. Supply Voltage



94 6408



96 12223

Figure 13. Relative Spectral Sensitivity vs. Wavelength

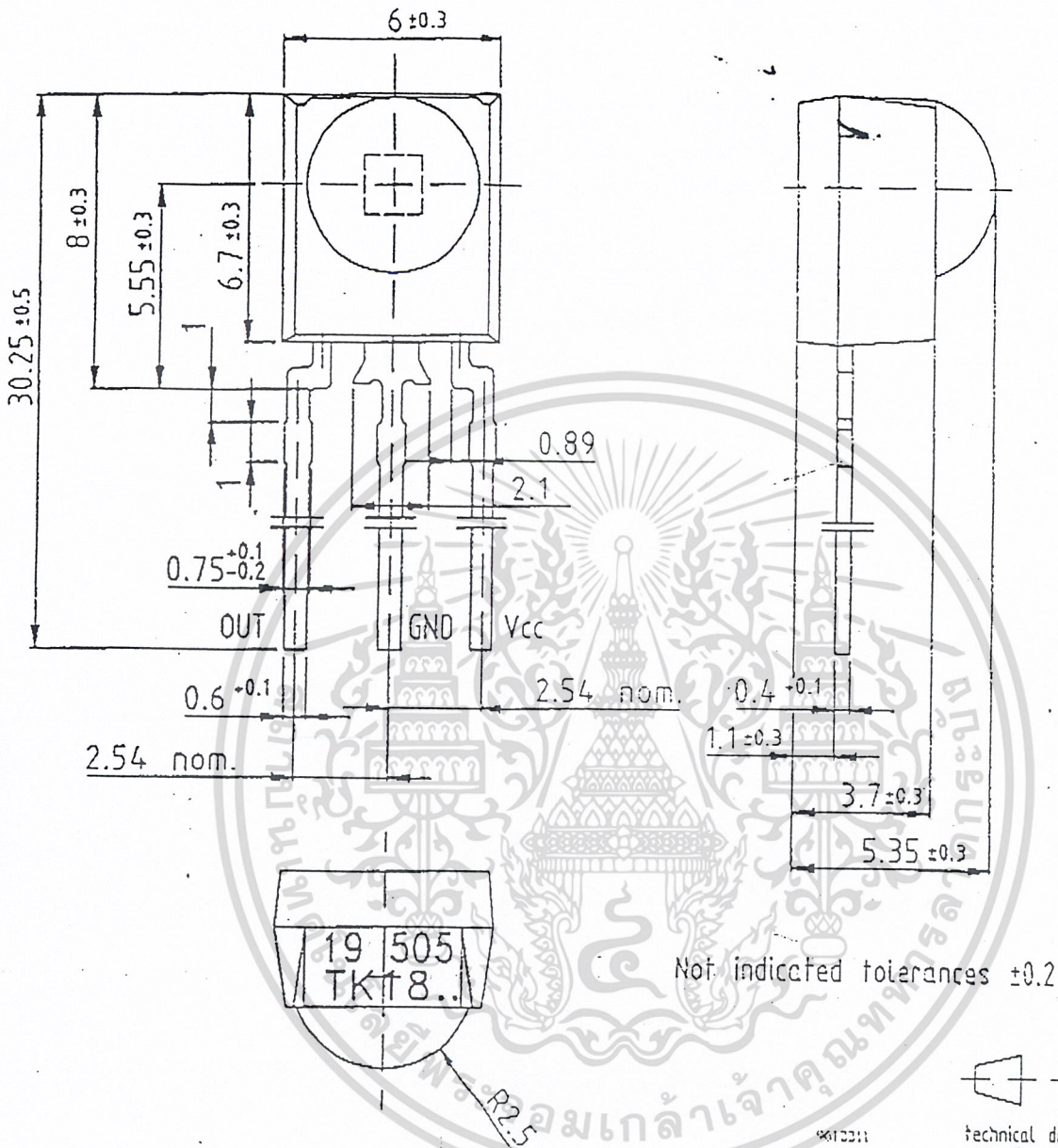
Figure 14. Directivity



เอกสารนี้เป็นเอกสารที่สงวนไว้สำหรับการใช้งานเพื่อการศึกษาเท่านั้น ไม่อนุญาตให้นำไปใช้ประโยชน์ด้านการค้า
ไม่ว่ากรณีใดๆ ทั้งสิ้น ดิฉันทั้งห้ามิให้ตัดแปลงเนื้อหามาและต้องอ้างอิงถึงเจ้าของเอกสารทุกครั้งที่มีการนำไปใช้

TSOP18..

Dimensions in mm



Technical drawings according to DIN specifications

เอกสารนี้เป็นเอกสารที่สงวนไว้สำหรับการใช้งานเพื่อการศึกษาเท่านั้น ไม่อนุญาตให้นำไปใช้ประโยชน์ด้านการค้า
ไม่ว่ากรณีใดๆ ทั้งสิ้น ผู้ใช้ต้องรับผิดชอบต่อความเสียหายและต้องอ้างอิงถึงเจ้าของเอกสารทุกครั้งที่มีการนำไปใช้



Photo Modules for PCM Remote Control Systems

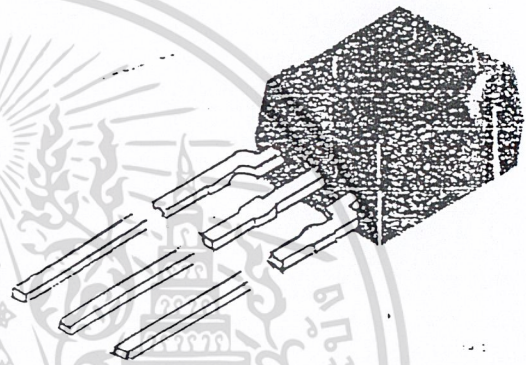
Available types for different carrier frequencies

| Type | fo | Type | fo |
|----------|--------|----------|----------|
| TSOP4830 | 30 kHz | TSOP4833 | 33 kHz |
| TSOP4836 | 36 kHz | TSOP4837 | 36.7 kHz |
| TSOP4838 | 38 kHz | TSOP4840 | 40 kHz |
| TSOP4956 | 56 kHz | | |

Description

The TSOP48... series are miniaturized receivers for infrared remote control systems. PIN diode and preamplifier are assembled on lead frame, the epoxy package is designed as IR filter.

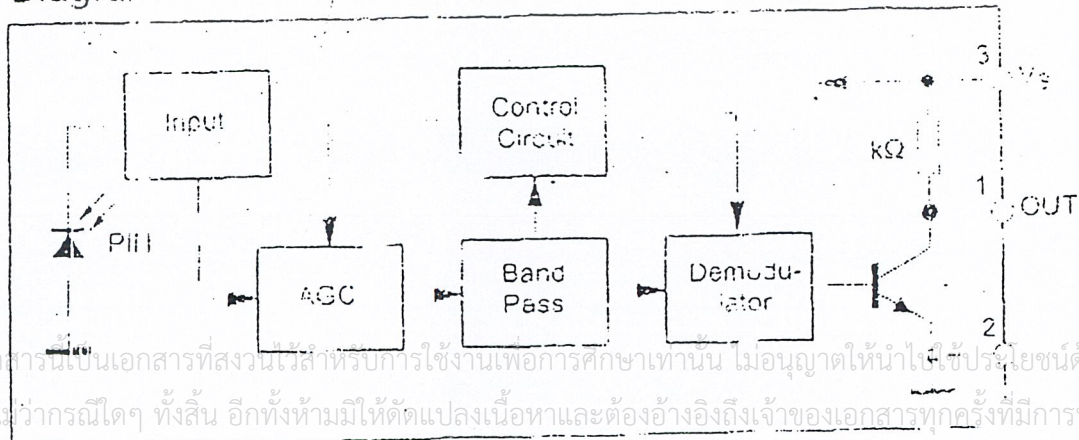
The demodulated output signal can directly be decoded by a microprocessor. TSOP48... is the standard IR remote control receiver series, supporting all major transmission codes.



Features

- PIN detector and preamplifier in one package
- Band pass filter for PCM frequency
- Improved shielding against electrical field disturbance
- TTL and CMOS compatibility
- Output suitable for
- Low power consumption
- High immunity against ambient light
- Continuous data transmission possible (800 bits)
- Suitable burst length: 10 cycles/burst

Block Diagram



เอกสารนี้เป็นเอกสารที่สงวนไว้สำหรับการใช้งานเพื่อการศึกษาเท่านั้น ไม่นิยมนำไปใช้ประโยชน์ด้านการค้า
 ใ้หากกรณีใดๆ ทั้งสิ้น อีกทั้งห้ามมิให้ดัดแปลงเนื้อหาและต้องอ้างอิงถึงเจ้าของเอกสารทุกครั้งที่มีการนำไปใช้



Absolute Maximum Ratings

T_{amb} = 25 °C

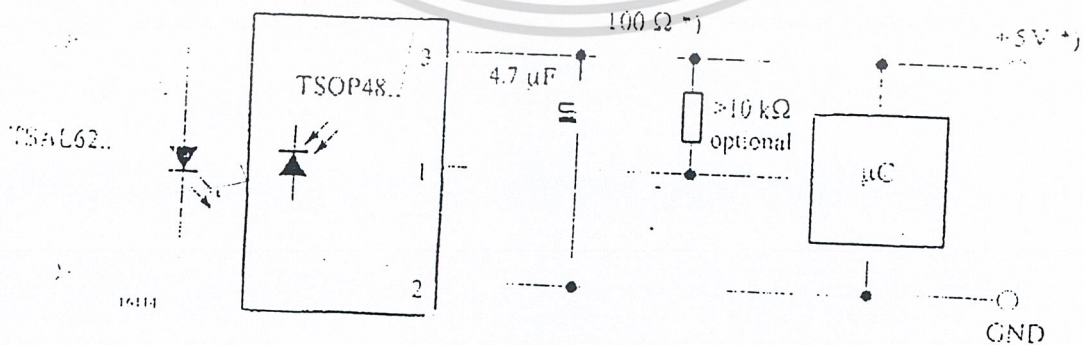
| Parameter | Test Conditions | Symbol | Value | Unit |
|-----------------------------|----------------------------|------------------|------------|------|
| Supply Voltage | (Pin 2) | V _S | -0.3...6.0 | V |
| Supply Current | (Pin 2) | I _S | 5 | mA |
| Output Voltage | (Pin 1) | V _O | -0.3...6.0 | V |
| Output Current | (Pin 3) | I _O | 5 | mA |
| Junction Temperature | | T _J | 100 | °C |
| Storage Temperature Range | | T _{stg} | -25...+85 | °C |
| Operating Temperature Range | | T _{amb} | -25...+85 | °C |
| Power Consumption | (T _{amb} ≤ 85 °C) | P _{tot} | 50 | mW |
| Soldering Temperature | t ≤ 10 s, 1 mm from case | T _{sd} | 260 | °C |

Basic Characteristics

T_{amb} = 25 °C

| Parameter | Test Conditions | Symbol | Min | Typ | Max | Unit |
|----------------------------|--|---------------------|-----|-----|-----|-------------------|
| Supply Current (Pin 3) | V _S = 5 V, E _a = 0 | I _{SD} | 0.8 | 1.1 | 1.5 | mA |
| Supply Current (Pin 3) | V _S = 5 V, E _a = 40 klx, sunlight | I _{SH} | | 1.4 | | mA |
| Transmission Distance | E _v = 0, test signal see fig.7, IR diode TSAL6200, I _F = 250 mA | V _S d | 4.5 | | 5.5 | V m |
| Output Voltage Low (Pin 1) | I _{OSL} = 0.5 mA, E _a = 0.7 mW/m ² | V _{OSL} | | | 250 | mV |
| Irradiance (30 - 40 kHz) | Pulse width tolerance: t _{pl} - 5/f _o < t _{po} < t _{pl} + 6/f _o , test signal see fig.7 | E _{e min} | | 0.2 | 0.4 | mW/m ² |
| Irradiance (50 kHz) | Pulse width tolerance: t _{pl} - 5/f _o < t _{po} < t _{pl} + 6/f _o , test signal see fig.7 | E _{e min} | | 0.3 | 0.6 | mW/m ² |
| Irradiance | t _{pl} - 5/f _o < t _{po} < t _{pl} + 6/f _o | E _{e max} | 30 | | | W/m ² |
| Directivity | Angle of half transmission distance | θ _{1/2} | | ±45 | | deg |

Application Circuit



) recommend suppress power supply disturbances

เอกสารนี้เป็นเอกสารที่สงวนไว้สำหรับการใช้งานเพื่อการศึกษาเท่านั้น ไม่อนุญาตให้นำไปใช้ประโยชน์ด้านการค้า
ไม่ว่ากรณีใดๆ ทั้งสิ้น อีกทั้งห้ามมิให้ดัดแปลงเนื้อหาและต้องอ้างอิงถึงเจ้าของเอกสารทุกครั้งที่มีการนำไปใช้



Suitable Data Format

The circuit of the TSOP48... is designed in that way that unexpected output pulses due to noise or disturbance signals are avoided. A bandpassfilter, an integrator stage and an automatic gain control are used to suppress such disturbances.

The distinguishing mark between data signal and disturbance signal are carrier frequency, burst length and duty cycle.

The data signal should fulfill the following conditions:

- Carrier frequency should be close to center frequency of the band pass (e.g. 38kHz).
- Burst length should be 10 cycles/burst or longer.
- After each burst which is between 10 cycles and 70 cycles a gap time of at least 14 cycles is necessary.
- For each burst which is longer than 1.8ms a corresponding gap time is necessary at some time in the data stream. This gap time should be at least 4 times longer than the burst.
- Up to 800 short bursts per second can be received continuously.

Some examples for suitable data format are:

NEC Code, Toshiba Micom Format, Sharp Code, RC5 Code, RC6 Code, R-2000 Code.

When a disturbance signal is applied to the TSOP48... it can still receive the data signal. However the sensitivity is reduced to that level that no unexpected pulses will occur.

Some examples for such disturbance signals which are suppressed by the TSOP48... are:

- DC light (e.g. from tungsten bulb or sunlight)
- Continuous signal at 38kHz or at any other frequency
- Signals from fluorescent lamps with electronic ballast with high or low modulation (see Figure A or Figure B).

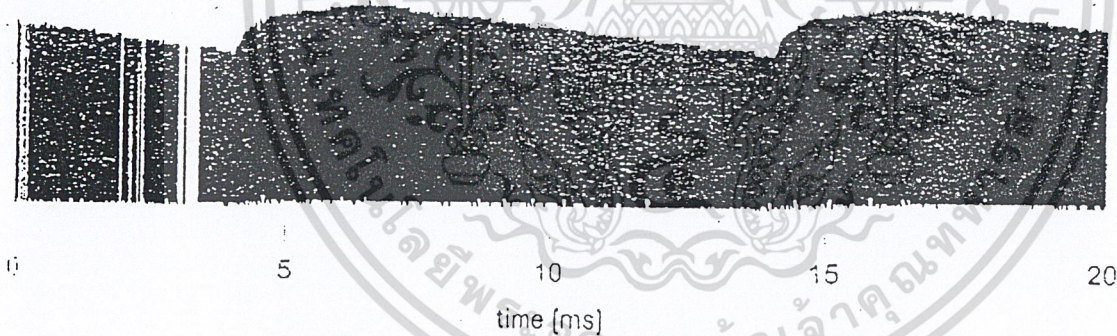


Figure A: IR Signal from Fluorescent Lamp with low Modulation

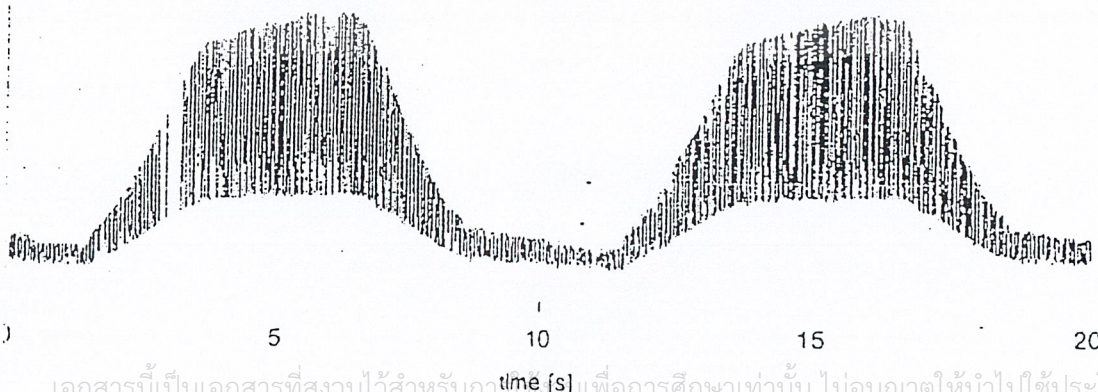


Figure B: IR Signal from Fluorescent Lamp with high Modulation

เอกสารนี้เป็นเอกสารที่สงวนไว้สำหรับการใช้เพื่อการศึกษาเท่านั้น ไม่อนุญาตให้นำไปใช้ประโยชน์ด้านการค้า
ไม่ทำการ Figure B: IR Signal from Fluorescent Lamp with high Modulation สารทุกครั้งที่มีการนำไปใช้



Typical Characteristics ($T_{amb} = 25^{\circ}C$ unless otherwise specified)

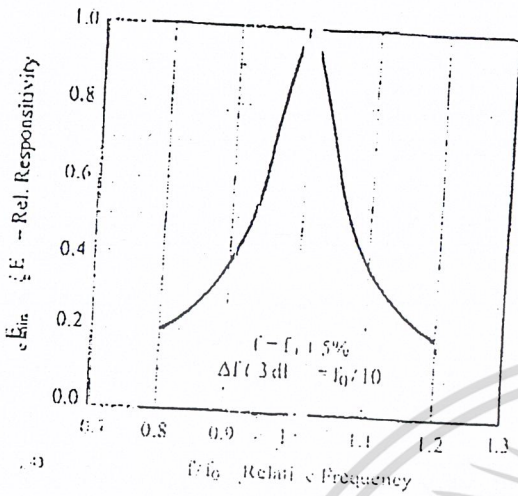


Figure 1. Frequency Dependence of Responsivity

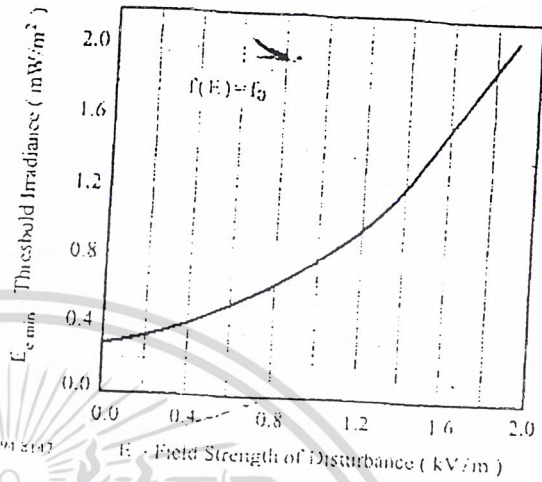


Figure 4. Sensitivity vs. Electric Field Disturbances

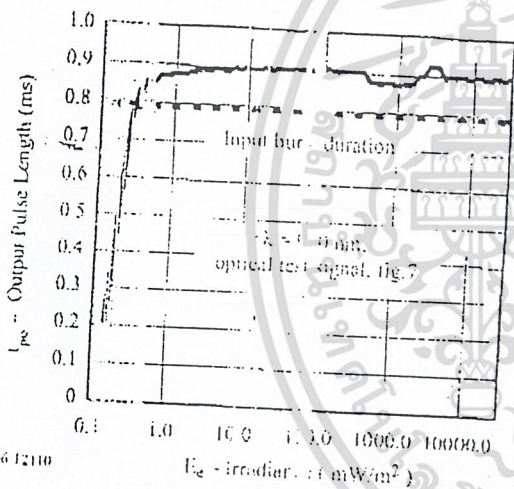


Figure 2. Sensitivity in Dark Ambient

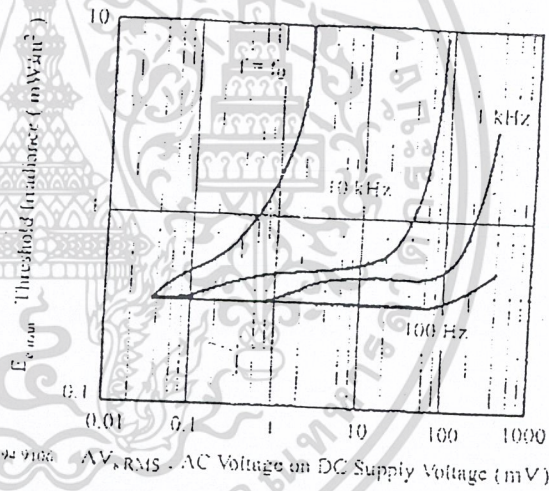


Figure 5. Sensitivity vs. Supply Voltage Disturbances

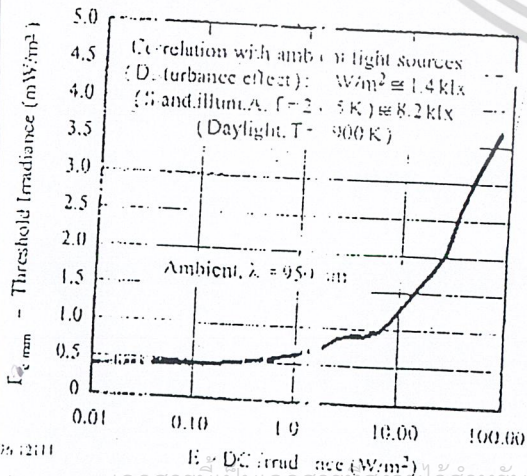


Figure 3. Sensitivity in Bright Ambient

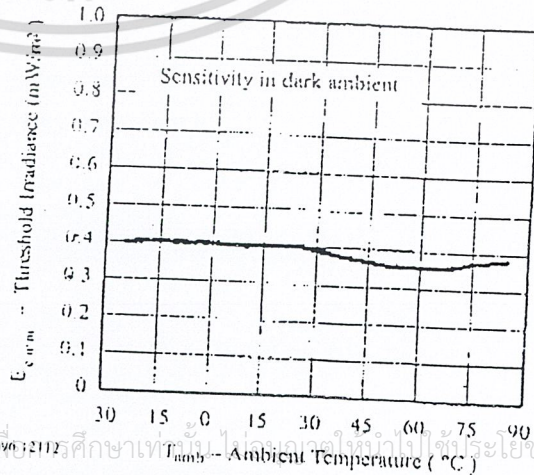
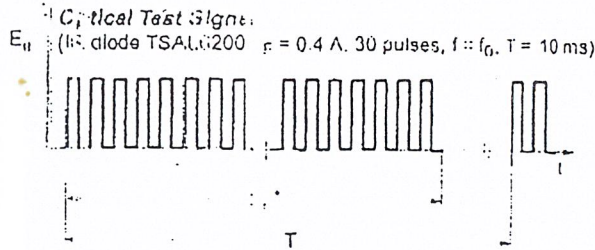


Figure 6. Sensitivity vs. Ambient Temperature

เอกสารนี้เป็นเอกสารที่สงวนไว้สำหรับการใช้งานเพื่อการศึกษาเท่านั้น ไม่สามารถนำไปใช้ประโยชน์ด้านการค้า
 ไม้ว่ากรณีใด ๆ ที่สงวนไว้ทั้งหมดนี้ให้ตัดแปลงเนื้อหา
 90012112



* $t_{pi} = 10$ ns recommended for optimal function

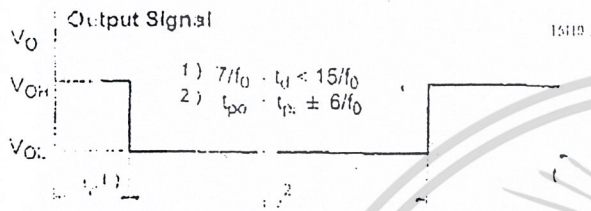


Figure 7.

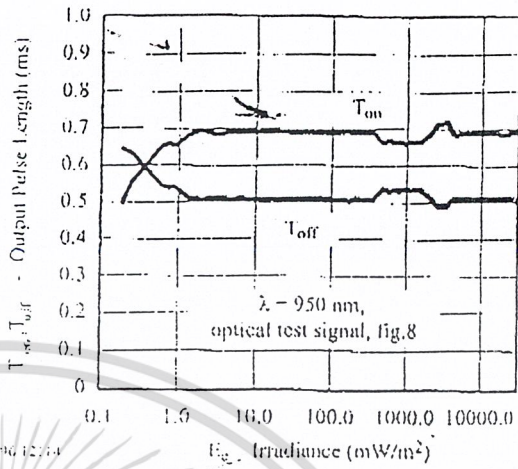


Figure 10. Output Pulse Diagram

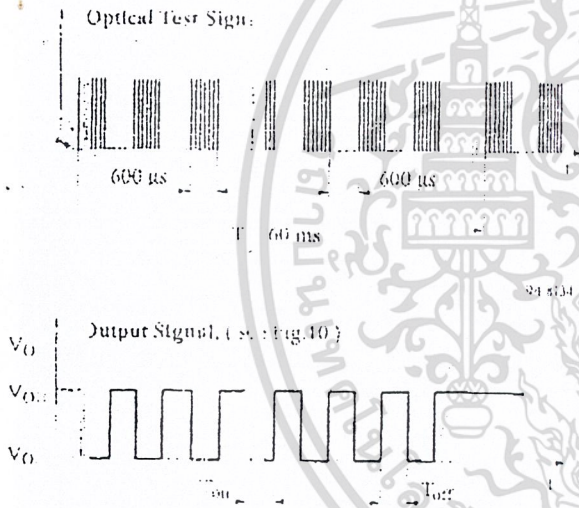


Figure 8. Output Function

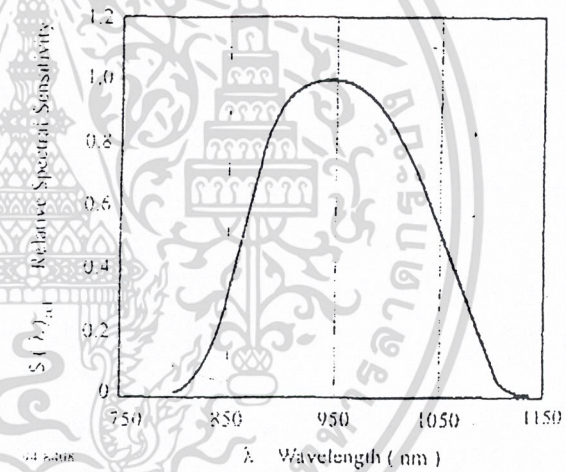


Figure 11. Relative Spectral Sensitivity vs. Wavelength

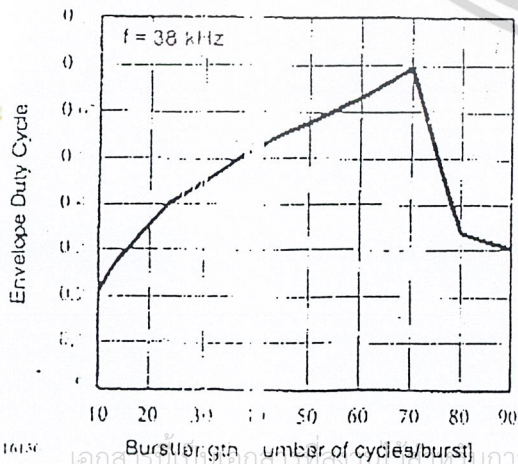


Figure 9. Max. Envelope Duty Cycle vs. Burstlength

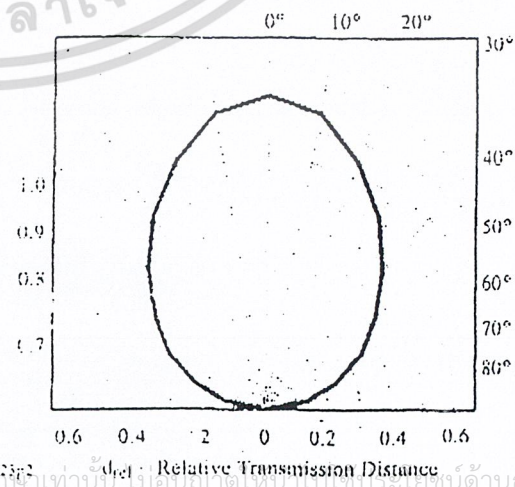


Figure 12. Directivity

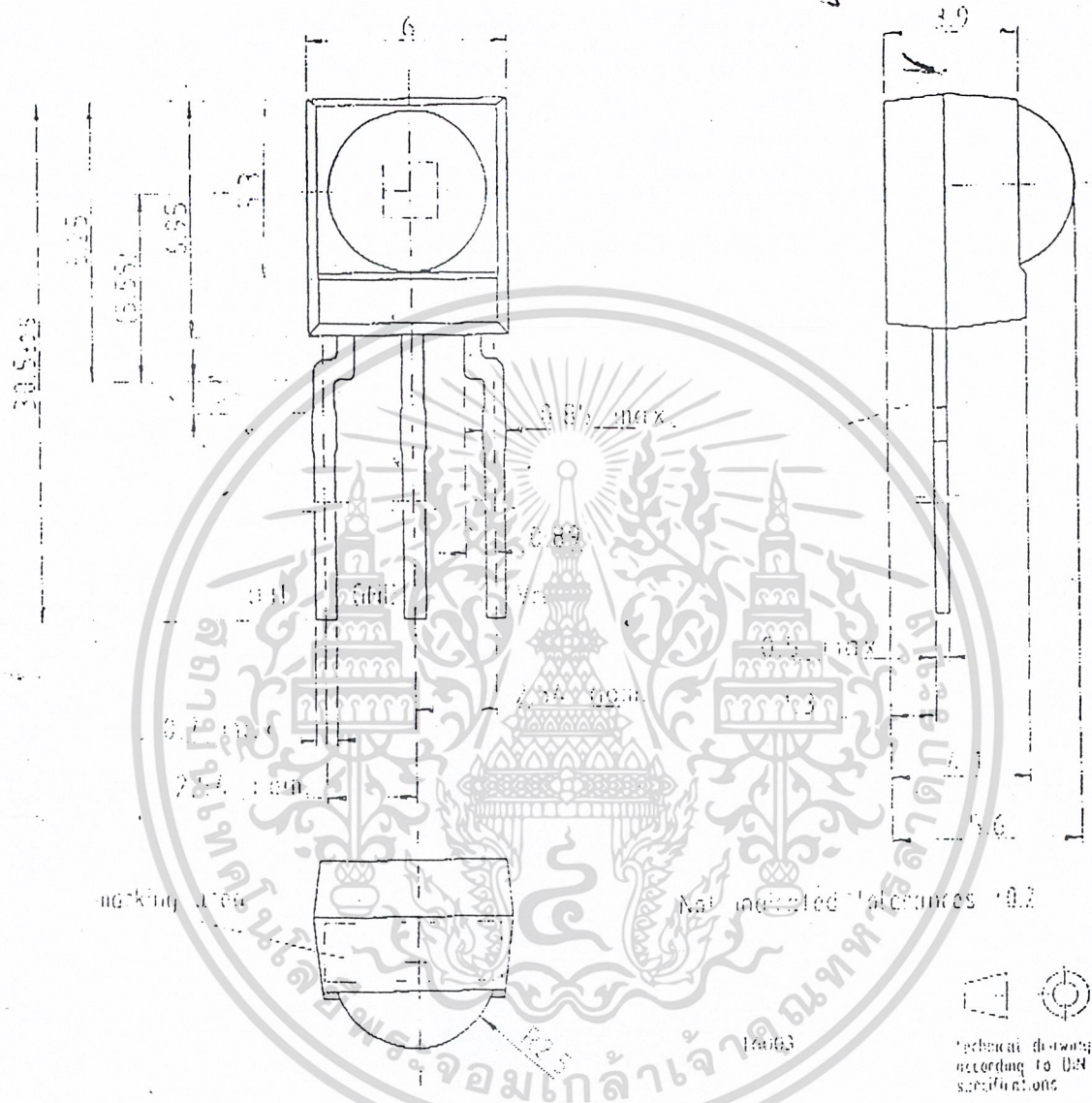
เอกสารนี้เป็นเอกสารที่สงวนลิขสิทธิ์สำหรับการใช้งานเพื่อการศึกษเท่านั้น เมื่อผู้ใดเห็นประโยชน์ด้านการค้า
 กรุณาติดต่อฝ่ายขายเพื่อขอข้อมูลเพิ่มเติมและต้องอ้างอิงถึงเอกสารนี้ทุกครั้ง

TSOF 43..



Vishay Telefunken

Dimensions in mm



เอกสารนี้เป็นเอกสารที่สงวนไว้สำหรับการใช้งานเพื่อการศึกษาเท่านั้น ไม่อนุญาตให้นำไปใช้ประโยชน์ด้านการค้า
ไม่ว่ากรณีใดๆ ทั้งสิ้น อีกทั้งห้ามมิให้ดัดแปลงเนื้อหาและต้องอ้างอิงถึงเจ้าของเอกสารทุกครั้งที่มีการนำไปใช้

Ozone Depleting Substances Policy Statement

It is the policy of Vishay Semiconductor GmbH to

1. Meet all present and future national and international statutory requirements.
2. Regularly and continuously improve the performance of our products, processes, distribution and operating systems with respect to their impact on the health and safety of our employees and the public, as well as their impact on the environment.

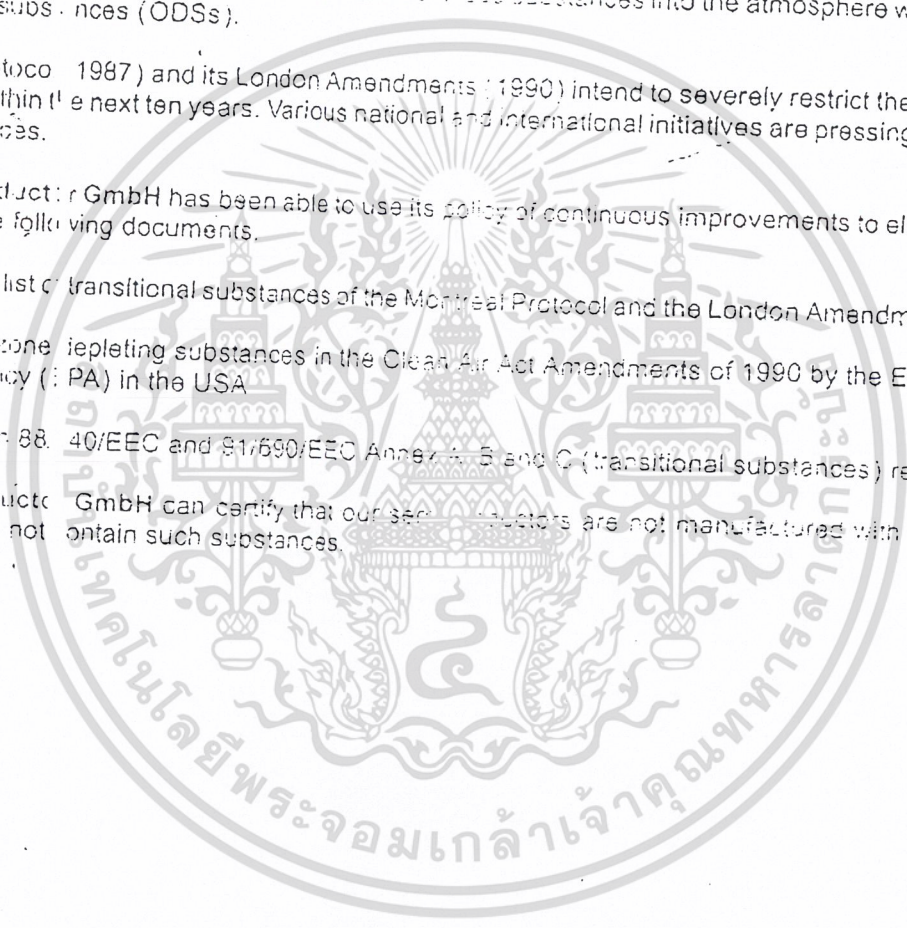
It is of particular concern to control or eliminate releases of those substances into the atmosphere which are known as ozone depleting substances (ODSs).

The Montreal Protocol (1987) and its London Amendments (1990) intend to severely restrict the use of ODSs and forbid their use within the next ten years. Various national and international initiatives are pressing for an earlier ban on these substances.

Vishay Semiconductor GmbH has been able to use its policy of continuous improvements to eliminate the use of ODSs listed in the following documents.

1. Annex A, B and list of transitional substances of the Montreal Protocol and the London Amendments respectively
2. Class I and II ozone depleting substances in the Clean Air Act Amendments of 1990 by the Environmental Protection Agency (EPA) in the USA
3. Council Decision 88/40/EEC and 91/690/EEC Annex A, B and C (transitional substances) respectively

Vishay Semiconductor GmbH can certify that our semiconductor products are not manufactured with ozone depleting substances and do not contain such substances.



We reserve the right to make changes to improve technical design and may do so without further notice. Parameters can vary in different applications. All operating parameters must be validated for each customer application by the customer. Should the buyer use Vishay-Telefunken products for any unintended or unauthorized application, the buyer shall indemnify Vishay-Telefunken against all claims, costs, damages, and expenses, arising out of, directly or indirectly, any claim of personal damage, injury or death associated with such unintended or unauthorized use.

Vishay Semiconductor GmbH, P.O.B. 3535, D-74025 Heilbronn, Germany
 Telephone: 49 (0) 7131 67 2831, Fax number: 49 (0) 7131 67 2423

เอกสารนี้เป็นเอกสารที่สงวนไว้สำหรับการใช้งานเพื่อการศึกษาเท่านั้น ไม่นิยมนำไปใช้ประโยชน์ด้านการค้า
 ไม่ว่ากรณีใดๆ ทั้งสิ้น อีกทั้งห้ามมิให้ดัดแปลงเนื้อหาและต้องอ้างอิงถึงเจ้าของเอกสารทุกครั้งที่มีการนำไปใช้